



دانشکده مهندسی معدن، نفت و ژئوفیزیک

پایان‌نامه کارشناسی ارشد

ژئوفیزیک-گرانی سنجی

کاربرد روش گرانی سنجی برای آشکارسازی گسل در رسوبات آبرفتی -  
مطالعه موردنی گسل کلاته خیج در شمال شرقی شهرود

دانشجو: کامران ولدی

استاد راهنما:

دکتر حمید آفاجانی

بهمن‌ماه ۱۳۹۱

بِسْمِ اللّٰهِ الرَّحْمٰنِ الرَّحِيْمِ

## دانشگاه صنعتی شاهرود

### دانشکده: مهندسی معدن، نفت و ژئوفیزیک

پایان نامه کارشناسی ارشد آقای کامران ولدی

تحت عنوان: کاربرد روش گرانی سنجی برای آشکارسازی گسل در رسوبات آبرفتی - مطالعه موردی گسل کلاته

خیج در شمال شرقی شاهرود

در تاریخ ..... توسط کمیته تخصصی زیر جهت اخذ مدرک کارشناسی ارشد مورد ارزیابی و با درجه ..... مورد پذیرش قرار گرفت.

امضاء	اساتید مشاور	امضاء	اساتید راهنما
	نام و نام خانوادگی:		نام و نام خانوادگی: دکتر حمید آقاجانی

امضاء	نماينده تحصيلات تكميلي	امضاء	اساتيد داور
	نام و نام خانوادگي :		نام و نام خانوادگي: دکتر ابرج پیروز
			نام و نام خانوادگي: دکتر رضا قوامي ريانی

**تقدیم ب**

**پرمر، سار زندگیم**

**مادرم، شمع وجود**

**خستہ ام**

## تقدیر و تشکر

اینک که به توفیق پروردگار، این پایان نامه را به پایان رسانده ام وظیفه خود می دانم تا از زحمات گرانقدر عزیزانی که در مراحل مختلف این تحقیق کمک های شایانی نموده اند، تشکر و قدردانی کنم. در ابتدا لازم می دانم که از زحمات جناب آقای دکتر حمید آفاجانی که زحمت راهنمایی این پایان نامه را بر عهده داشتند و با رهنما دهایشان مرا تا پایان مسیر کمک کردند، کمال تشکر و سپاسگزاری را داشته باشم. همچنین از جناب آقای دکتر فرامرز دولتی و مهندس کمال علمدار جهت مساعدت و همکاری های لازم تشکر و قدردانی می نمایم. در انتها نیز جا دارد که از زحمات بی دریغ آقای مهندس زارعی و دوستانم آقایان **کیانوش سلیمانی**، **فرج‌ا. مومنی**، **حمدید باغزندانی**، **علیرضا امامی**، **شاھو ملکی**، **سعید پرنو**، **یزدان گرگانی**، **واکیب نورافکن** که در عملیات صحرا ای برداشت داده های گرانی سنجی، مرا یاری کرده اند، صمیمانه کمال تشکر و قدردانی را داشته باشم.

# تعهدنامه

اینجانب کامران ولدی دانشجوی دوره کارشناسی ارشد رشته ژئوفیزیک دانشکده مهندسی معدن، نفت و ژئوفیزیک دانشگاه صنعتی شاهرود نویسنده پایان نامه کاربرد روش گرانی سنجی برای آشکارسازی گسل در رسوبات آبرفتی - مطالعه موردي گسل کلاته خیج در شمال شرقی شاهرود تحت راهنمائی دکتر حمید آفاجانی متعهد می شوم .

تحقیقات در این پایان نامه توسط اینجانب انجام شده است و از صحت و اصالت برخوردار است . در استفاده از نتایج پژوهش‌های محققان دیگر به مرجع مورد استفاده استناد شده است .

مطلوب مندرج در پایان نامه تاکنون توسط خود یا فرد دیگری برای دریافت هیچ نوع مدرک یا امتیازی در هیچ جا ارائه نشده است .

دانشگاه « کلیه حقوق معنوی این اثر متعلق به دانشگاه صنعتی شاهرود می باشد و مقالات مستخرج با نام به چاپ خواهد رسید . » Shahrood University of Technology و یا « صنعتی شاهرود حقوق معنوی تمام افرادی که در به دست آمدن نتایج اصلی پایان نامه تأثیرگذار بوده اند در مقالات مستخرج از پایان نامه رعایت می گردد .

در کلیه مراحل انجام این پایان نامه ، در مواردی که از موجود زنده ( یا بافت‌های آنها ) استفاده شده است ضوابط و اصول اخلاقی رعایت شده است .

در کلیه مراحل انجام این پایان نامه ، در مواردی که به حوزه اطلاعات شخصی افراد دسترسی یافته یا استفاده شده است اصل رازداری ، ضوابط و اصول اخلاق انسانی رعایت شده است .

تاریخ

امضای دانشجو

## مالکیت نتایج و حق نشر

- کلیه حقوق معنوی این اثر و محصولات آن مقالات مستخرج ، کتاب ، برنامه های رایانه ای ، نرم افزار ها و تجهیزات ساخته شده است متعلق به دانشگاه صنعتی شاهرود می باشد . این مطلب باید به نحو مقتضی در تولیدات علمی مربوطه ذکر شود .
- استفاده از اطلاعات و نتایج موجود در پایان نامه بدون ذکر مرجع مجاز نمی باشد .

## چکیده

استفاده از روش‌های ژئوفیزیکی و اندازه‌گیری خصوصیات فیزیکی سنگ‌های زیرسطحی راه حل مناسبی برای بررسی ساختارهای زیرسطحی و اکتشاف ذخایر مدفون در زیر زمین (از قبیل نفت، گاز، آب، کانی‌ها و...) هستند. کاوش‌های گرانی‌سنجدی و مغناطیسی به دلیل سادگی و کم هزینه بودن از جمله روش‌های پرکاربرد ژئوفیزیکی هستند که برای اکتشافات مقدماتی به کار می‌روند. برای تفسیر خودکار داده‌های برداشت شده به وسیله این دو روش تاکنون روش‌های متعددی ارائه شده است. در این تحقیق با استفاده از فیلترهای مشتقات، سیگنال تحلیلی و فاز محلی به شناسایی مرز چشم‌های بی‌هنجر گسل کلاته خیج پرداخته می‌شود و سپس با استفاده از روش اویلر عمق آن نیز تخمین زده می‌شود. برای این منظور ابتدا این فیلترها بر روی مدل‌های مصنوعی اعمال می‌شوند تا قابلیت هر کدام از این فیلترها در شناسایی مرز چشم‌های بی‌هنجر مشخص گردد. با اعمال این فیلترها بر روی داده‌های گرانی حاصل از مدل‌های مصنوعی مشاهده می‌شود که فیلترهای مشتق افقی کل زاویه تمایل و تتا بهترین نتیجه را ارائه می‌دهد. در انتها این فیلترها بر روی داده‌های گرانی‌سنجدی گسل کلاته خیج اعمال می‌شوند.

داده‌های گرانی‌سنجدی گسل کلاته خیج واقع در شمال شرقی شهرود با استفاده از دستگاه گرانی‌سنجد CG5 اندازه‌گیری شد. در انتها فیلترهای معرفی شده برای شناسایی مرز و عمق مدل‌های مصنوعی، پس از

تصحیحات لازم بر روی داده‌های منطقه مورد مطالعه، بر روی داده‌های واقعی اعمال می‌شوند تا کارایی آن‌ها در شناسایی مرز، عمق و شیب داده‌های واقعی گسل کلاته خیج، واقع در شمال شرقی شهرود نیز مورد بررسی قرار گیرند. با استفاده از این فیلترها امتداد گسل به صورت شمال شرقی-جنوب غربی تعیین شد و شیب گسل را  $54/3$  درجه در راستای جنوب-شرقی (دارای مؤلفه امتدادلغز به صورت چپ-بر) و با استفاده از روش اویلر حداقل عمق آن ۳۸ متر تخمین زده شد.

کلمات کلیدی: روش گرانی‌سنگی، فیلترهای فاز محلی، مشتق افقی کل، سیگنال تحلیلی، اویلر، مدل‌سازی، گسل کلاته خیج.

ولدی، کامران، حمید آقاجانی ، آذر ماه ۱۳۹۱، تخمین همزمان مرز و عمق گسل با استفاده از داده‌های گرانی سنجی، سی و یکمین گردهمایی علوم زمین، سازمان زمین‌شناسی و اکتشافات معدنی کشور، تهران (چاپ شده).

ولدی، کامران و حمید آقاجانی ، ۲۶-۲۸ اردیبهشت ۱۳۹۱، تخمین عمق آنومالی‌های مغناطیسی با استفاده از روش اویلر دیکانولوشن، پانزدهمین کنفرانس ژئوفیزیک ایران، دانشگاه تهران، (چاپ شده)

ولدی، کامران و حمید آقاجانی ، ۱۸ و ۱۹ مهرماه، ۱۳۹۱، تخمین عمق آنومالی‌های مغناطیسی با استفاده از روش‌های اویلر دیکانولوشن و تصویرسازی پارامترهای توده – مطالعه موردی منطقه اجت آباد سمنان، چهارمین کنفرانس مهندسی معدن ایران، دانشگاه تهران، (چاپ شده)

ولدی، کامران و حمید آقاجانی ، ۱۳۹۱، تجزیه و تحلیل داده‌های گرانی‌سنجی برای تعیین پارامترهای هندسی گسل کلاته خیج-شاہرود، مجله‌ی فیزیک، زمین و فضا ، (در دست داوری)

<u>صفحه</u>	<u>عنوان</u>
۱	فصل اول: کلیات و اهداف پایان نامه
۲	۱-۱ مقدمه
۳	۲-۱ تعریف گسل
۴	۱-۲-۱ عناصر و ویژگی های گسل
۶	۲-۲-۱ تقسیم بندی هندسی گسل ها
۷	۳-۲-۱ تقسیم بندی بر اساس زاویه شیب گسل
۷	۴-۲-۱ تقسیم بندی گسل ها بر اساس حرکت ظاهری گسل
۹	۳-۱ سوابق مطالعات روی گسل با استفاده از روش های ژئوفیزیکی
۱۰	۴-۱ ضرورت و اهداف انجام پایان نامه
۱۱	۵-۱ ساختار پایان نامه
۱۳	فصل دوم: اصول و مبانی روش گرانی سنجی
۱۴	۱-۲ مقدمه
۱۵	۲-۲-۱ روش گرانی سنجی
۱۵	۱-۲-۲ شتاب جاذبه
۱۶	۲-۲-۲ پتانسیل گرانشی
۱۷	۳-۲ تغییرات جاذبه در سطح زمین
۱۷	۳-۲-۱ عرض جغرافیایی نقاط
۱۷	۲-۳-۲ اختلاف ارتفاع بین ایستگاه های اندازه گیری و سطح مبناء
۱۷	۳-۳-۲ اثر جزر و مد
۱۷	۴-۳-۲ عوامل توپوگرافی
۱۸	۵-۳-۲ تغییرات زمین شناسی
۱۸	۴-۲ مراحل به کار گیری روش گرانی سنجی در اکتشافات ژئوفیزیکی
۱۸	۱-۴-۲ جمع آوری داده ها و تصحیح آنها
۱۹	۲-۴-۲ تفکیک و آشکار سازی آنومالی ها
۱۹	۳-۴-۲ تعیین مشخصات زیر سطحی منابع مولد آنومالی ها
۱۹	۴-۴-۲ تفسیر مدل فیزیکی به مفهوم زمین شناسی
۲۰	فصل سوم: روش های تخمین مرز و عمق آنومالی های میدان پتانسیل
۲۱	۱-۳ مقدمه
۲۲	۲-۳ تفکیک آنومالی های ناحیه ای و باقی مانده
۲۴	۱-۲-۳ نقشه های روند سطحی
۲۵	۲-۲-۳ روش گسترش به سمت بالا (ادامه فراسو)
۲۵	۳-۲-۳ روش گسترش به سمت پایین (ادامه فروسو)
۲۷	۳-۳ تخمین مرز
۲۷	۱-۳-۳ فیلتر های مشتق
۲۸	۲-۳-۳ مشتق قائم
۲۹	۳-۳-۳ مشتق های افقی کل
۳۱	۴-۳-۳ سیگنال تحلیلی

۳۱	۱-۴-۳-۳ تبدیل هیلبرت
۳۳	۵-۳-۳ فیلترهای فاز محلی
۳۳	۱-۵-۳-۳ فیلتر مشتق افقی کل زاویه تیلت
۳۵	۲-۵-۳-۳ نقشه تنا
۳۵	۳-۵-۳-۳ گرادیان افقی کل نرمالیزه شده
۳۶	۴-۳ تخمین عمق
۳۶	۱-۴-۳ روش اویلر دیکاتولوشن
۴۰	۱-۱-۴-۳ انتخاب ابعاد پنجره
۴۱	۲-۱-۴-۳ انتخاب شاخص ساختاری
۴۲	۳-۱-۴-۳ ناهنجاری گرانی یک پلهی متنهای (محدود)
۴۴	۵-۳ مدل سازی
۴۴	۱-۵-۳ مدل سازی پیشرو
۴۵	۲-۵-۳ مدل سازی معکوس
۴۶	<b>فصل چهارم: مدل سازی و تعیین پارامترهای گسل</b>
۴۷	۱-۴ مقدمه
۴۷	۲-۴ امتداد گسل
۶۰	۳-۴ بررسی شبیه گسل
۶۵	۴-۴ تخمین عمق مدل مصنوعی - گسل شبیدار
۷۱	<b>فصل پنجم: برداشت، پردازش و تفسیر داده‌های گرانی محدوده‌ی کلاته خیج</b>
۷۲	۱-۵ موقعیت جغرافیایی و وضعیت زمین شناسی محدوده‌ی مورد بررسی
۷۶	۲-۵ برداشت داده‌های گرانی منطقه مورد مطالعه
۷۹	۳-۵ پردازش اطلاعات گرانی سنجی
۷۹	۱-۳-۵ پردازش در حین عملیات
۸۰	۲-۳-۵ پردازش بعد از عملیات
۸۰	۱-۲-۳-۵ تصحیح دریفت دستگاه
۸۲	۲-۲-۳-۵ تصحیح عرض جغرافیایی
۸۴	۳-۲-۳-۵ تصحیح ارتفاعی (هوای آزاد + بوگر)
۸۷	۴-۲-۳-۵ تصحیح توپوگرافی
۹۱	۳-۳-۵ نقشه آنومالی بوگه
۷۳	۴-۵ تفسیر داده‌های گرانی منطقه کلاته خیج
۷۶	۱-۴-۵ شناسایی مرز چشممه‌های بی‌هنجر
۷۹	۱-۱-۴-۵ نقشه‌ی آنومالی بوگه
۹۳	۴-۵ پردازش و تفسیر داده‌های گرانی منطقه کلاته خیج
۹۳	۱-۴-۵ مقدمه
۹۴	۲-۴-۵ روند سطحی
۹۵	۳-۴-۵ روش گسترش میدان گرانی به سمت بالا
۹۸	۴-۴-۵ فیلترهای مشتق

۱۰۰	۵-۴-۵ فیلترهای فاز محلی
۱۰۲	۶-۴-۵ تخمین عمق با استفاده از روش اویلدیکانولوشن
۱۰۳	۷-۴-۵ بررسی پارامترهای شیب
۱۰۹	فصل ششم: نتایج و پیشنهادات
۱۱۰	۱-۶ جمع‌بندی و نتایج
۱۱۱	۲-۶ پیشنهادات
۱۲۱	منابع فارسی
۱۲۳	منابع انگلیسی
۱۱۳	پیوست الف:
۱۱۷	پیوست ب :
۱۲۶	چکیده انگلیسی

صفحه	عنوان
۳	شکل(۱-۱): تصویر طبیعی از یک گسل
۵	شکل(۲-۱): نمایش خط راستا و شیب و نیز جهت شیب
۵	شکل(۱-۳): نمایش خط راستا و شیب و نیز جهت شیب
۶	شکل(۴-۱): گسل امتداد لغز
۷	شکل(۱-۵): الف- گسل نرمال ب- گسل معکوس
۸	شکل(۱-۶): انواع گسل‌ها
۱۵	شکل ۱-۲ کره عمیق‌ترین توده‌ای است که می‌توان به طور تقریبی آنومالی گرانی.....
۳۱	شکل(۱-۳): آنومالی مغناطیسی، آنومالی شبه گرانی و گرادیان افقی یک توده آنومال دو بعدی
۴۱	شکل(۲-۳): نحوه حرکت پنجه روی داده‌های شبک.
۴۳	شکل(۳-۳): یک پله‌ی متناهی شیب دار
۴۸	شکل (۱-۴): نتایج فیلترهای مشتق بر روی مدل (۱)
۴۹	شکل(۲-۴): نتایج فیلترهای مختلف بر روی مدل (۱)
۵۰	شکل(۳-۴): نتایج فیلترهای فاز محلی بر روی مدل (۱)
۵۱	شکل (۴-۴): نتایج فیلترهای مشتق بر روی مدل (۲)
۵۲	شکل(۵-۴): نتایج فیلترهای مختلف بر روی مدل (۲)
۵۳	شکل(۶-۴): نتایج فیلترهای فاز محلی بر روی مدل (۲)
۵۵	شکل (۷-۴): نتایج فیلترهای مشتق بر روی مدل (۳)
۵۶	شکل(۸-۴): نتایج فیلترهای مختلف بر روی مدل (۳)
۵۷	شکل(۹-۴): نتایج فیلترهای فاز محلی بر روی مدل (۳)
۵۸	شکل (۱۰-۴): نتایج فیلترهای مشتق بر روی مدل (۴)
۵۹	شکل(۱۱-۴): نتایج فیلترهای مختلف بر روی مدل (۴)
۶۰	شکل(۱۲-۴): مشتق افقی کل زاویه تمایل
۶۱	شکل(۱۳-۴): پاسخ گرانی مدل گسل قائم
۶۲	شکل(۱۵-۴): پاسخ گرانی مدل گسل شیبدار
۶۲	شکل(۱۶-۴): مدل گسل شیبدار
۶۳	شکل(۱۷-۴): پاسخ گرانی مدل گسل شیبدار
۶۳	شکل(۱۸-۴): مدل گسل شیبدار
۶۴	شکل(۱۹-۴): پاسخ گرانی مدل گسل شیبدار
۶۴	شکل(۲۰-۴): مدل گسل شیبدار
۶۷	شکل (۲۱-۴): تخمین عمق گسل شیبدار با استفاده از روش اویلر
۶۸	شکل(۲۲-۴): تخمین عمق گسل شیبدار با استفاده از روش اویلر
۶۹	شکل(۲۳-۴): تخمین عمق گسل شیبدار با استفاده از روش اویلر
۷۳	شکل(۱-۵): موقعیت جغرافیایی شهر کلاته خیج و راههای دسترسی به منطقه
۷۴	شکل(۲-۵) نقشه‌ی زمین شناسی منطقه مورد بررسی
۷۵	شکل (۳-۵) الف- تصویر Google Earth رنگ‌آمیزی شده از گسل که ....
۷۶	شکل(۴-۵): الف و ب- خردشدنگی کنگلومرای پلئیستوسن و قرارگیری آن در کنار مارن‌های میوسن بر اثر

	عملکرد گسل ...
۷۸	شکل(۵-۵) موقعیت قرار گیری منطقه برداشت بر روی نقشه‌ی Google Earth
۷۸	شکل(۶-۵) ایستگاه‌های برداشت گرانی از منطقه
۷۹	شکل(۷-۵) برداشت داده‌های گرانی منطقه مورد بررسی با دستگاه CG5
۸۲	شکل(۸-۵): تغییرات دریفت پروفیل اول با زمان
۸۷	شکل(۹-۵): اثر میدان جاذبه توپوگرافی اطراف یک ایستگاه روى مقدار گرانی اندازه‌گیری شده
۸۹	شکل(۱۰-۵): برداشت داده‌های گرانی در نزدیکی تپه
۹۰	شکل(۱۱-۵): الف- شکل هندسی برای به زون نزدیک ب- برای زون دور(دید از بالا)
۹۰	شکل(۱۲-۵): تصحیح توپوگرافی برای ارتفاعات مختلف
۹۱	شکل(۱۳-۵): نقشه‌ی توپوگرافی دور محدوده‌ی برداشت
۹۲	شکل(۱۴-۵): نقشه‌ی توپوگرافی نزدیک محدوده‌ی برداشت
۹۵	شکل(۱۵-۵): آنومالی بوگه کامل داده‌های گرانی محدوده‌ی برداشت
۹۵	شکل(۱۶-۵): نقشه‌ی باقی مانده از روند سطحی درجه ۳
۹۵	شکل(۱۷-۵): نقشه‌ی باقی مانده از روند سطحی درجه ۲
۹۵	شکل(۱۸-۵): نقشه‌ی آنومالی ناحیه‌ای از روند سطحی درجه ۳
۹۵	شکل(۱۹-۵): نقشه‌ی آنومالی ناحیه‌ای از روند سطحی درجه ۲
۹۷	شکل(۲۰-۵): نقشه‌ی گسترش به سمت بالای ۶۰ متری
۹۷	شکل(۲۱-۵): نقشه‌ی گسترش به سمت بالای ۳۰ متری
۹۷	شکل(۲۲-۵): نقشه‌ی گسترش به سمت بالای ۱۵۰ متری
۹۹	شکل(۲۴-۵): نقشه‌ی مشتق افقی داده‌های منطقه در جهت X
۹۹	شکل(۲۵-۵): نقشه‌ی مشتق افقی داده‌های منطقه در جهت X
۹۹	شکل(۲۶-۵): نقشه‌ی مشتق قائم داده‌های منطقه
۱۰۱	شکل(۲۷-۵): پاسخ فیلتر تتا از داده‌های گرانی منطقه
۱۰۱	شکل(۲۸-۵): پاسخ فیلتر TDX از داده‌های گرانی منطقه
۱۰۱	شکل(۲۹-۵): پاسخ فیلتر تیلت از داده‌های گرانی منطقه
۱۰۱	شکل(۳۰-۵): پاسخ فیلتر مشتق افقی کل زاویه‌ی تیلت از داده‌های گرانی منطقه
۱۰۲	شکل(۳۱-۵): تخمین عمق با استفاده از روش اویلر
۱۰۵	شکل(۳۲-۵): رسم ۳ پروفیل p1,p2,p3 بر روی آنومالی بوگه منطقه
۱۰۵	شکل(۳۲-۵): پاسخ گرانی پروفیل p1
۱۰۶	شکل(۳۳-۵): پاسخ گرانی پروفیل p1
۱۰۶	شکل(۳۴-۵): پاسخ گرانی پروفیل p1
۱۰۷	شکل(۳۵-۵): فلوچارت مراحل کار با نرم‌افزار
۱۰۸	شکل(۳۶-۵): مدل‌سازی دو بعدی با استفاده از نرم‌افزار مدل‌ویژن با خطای RMS= ۱/۶۸

<u>صفحه</u>	<u>عنوان</u>
۴۱	جدول (۱-۳): تعیین شاخص ساختاری معادله اویلر برای مدل های ساده [Reid et al, 1990]
۴۷	جدول (۱-۴): پارامترهای مدل گسل شبیدار
۵۴	جدول (۲-۴): پارامترهای مدل گسل شبیدار
۶۱	جدول (۳-۴): پارامترهای مدل گسل قائم
۶۲	جدول (۴-۴): پارامترهای مدل گسل شبیدار
۶۳	جدول (۴-۵): پارامترهای مدل گسل شبیدار
۶۴	جدول (۴-۶): پارامترهای مدل گسل شبیدار
۷۰	جدول (۴-۷): نتایج تخمین عمق با استفاده از روش اویلر با پنجره‌ی ۷×۷
۷۰	جدول (۴-۸): نتایج تخمین عمق با استفاده از روش اویلر با پنجره‌ی ۱۱×۱۱
۷۰	جدول (۴-۹): نتایج تخمین عمق با استفاده از روش اویلر با پنجره‌ی ۱۵×۱۵
۸۴	جدول (۵-۱): تصحیح عرض جغرافیایی برای قسمتی از پروفیل ۸
۱۰۸	جدول (۵-۲): نتایج حاصل از مدل‌سازی دو بعدی

$g_{\text{obs}}$	مقدار گرانی مشاهدهای یا اندازه‌گیری شده
$g_{\varphi}$	مقدار گرانی نرمال (تئوری)
$\Phi$	عرض جغرافیایی
$\rho$	چگالی
$M_e$	جرم زمین
$U$	پتانسیل گرانشی
$g_{res}$	آنومالی گرانی باقیمانده
$g_{reg}$	آنومالی گرانی ناحیه‌ای
$\lambda$	طول موج
$k$	عدد موج
THDR	مشتق افقی کل
$H$	تبديل هیلبرت
$sgn$	تابع علامت
TA	فیلتر زاویه تیلت
THDR-TA	فیلتر مشتق افقی کل زاویه تیلت
A	سیگنال تحلیلی
TDX	گرادیان افقی کل نرمالیزه شده
N	شاخص ساختاری
D	دریفت
$\Delta\rho$	اختلاف چگالی جسم آنومال و سنگهای اطراف آن
$G$	ثابت جهانی شتاب جاذبه $6.672 \times 10^{-11} N.m^2/kg^2$
$\Delta g$	میدان گرانی
$\Delta g_E$	تصحیح ارتفاعی
$\Delta g_b$	آنومالی بوگه کامل
$dg_{\varphi}$	تصحیح عرض جغرافیایی
$dg_{FA}$	تصحیح هوای آزاد
$dg_{sb}$	تصحیح بوگه ساده
$dg_t$	تصحیح توپوگرافی

لازم به ذکر است که برای نوشتن کدهای مورد نیاز از محیط نرم‌افزار Matlab استفاده گردید. همچنین برای محاسبات لازم، مدل‌سازی و ترسیم نقشه‌ها بسته به نیازمندی از نرم‌افزارهای Surfer، Potent، Geosoft، Grav2DC، ModelVision و Excel استفاده شده است.

# فصل اول

## کلیات و اهداف پایان نامه

## ۱-۱ مقدمه

پدیده زمین لرزه همه ساله خسارات جانی و مالی فراوانی را در سراسر جهان برجای می‌گذارد، به منظور جلوگیری از خسارات و خطرات ناشی از لغش می‌بایست علل رویداد آن را شناخت و این شناخت با بررسی کامل وضعیت زمین‌شناسی منطقه امکان‌پذیر است. قرارگیری ایران زمین بر روی کمربند لرزه‌خیز دنیا، سبب پدید آمدن زمین لرزه‌های ویرانگر در آن بوده و هر از چندگاهی بخشی از این سرزمین توسط زمین لرزه‌ای ویران شده و یا گزند اساسی می‌بیند. توجه به این موارد، اهمیت مطالعات لرزه‌خیزی در ایران زمین را آشکار ساخته و آن را به عنوان یک مسئله مهم ملی مطرح نموده است. بررسی پیوند میان زمین لرزه‌های روی داده در گذشته و گسل‌های مهم پیرامون محل مورد نظر از موارد بسیار با اهمیتی است که نقش در خور توجهی در مطالعات لرزه‌خیزی دارد [پورکرمانی، ۱۳۷۷].

لرزش ناگهانی پوسته‌های جامد زمین، زلزله یا زمین لرزه نامیده می‌شود. دلیل اصلی وقوع زلزله را می‌توان افزایش فشار بیش از حد داخل سنگ‌ها و طبقات درونی زمین بیان نمود. این فشار به حدی است که در سنگ گسترشی به وجود می‌آید و دو قطعه سنگ در امتداد سطح شکستگی نسبت به یکدیگر حرکت می‌کند. به سطح شکستگی که همراه با جابجایی است، گسل گفته می‌شود. زلزله نیز به نوعی خود سبب ایجاد گسل جدیدی شده و در نتیجه تعداد شکستگی‌ها زیادتر شده و به این ترتیب قابلیت لزره خیزی منطقه افزایش می‌یابد [پورکرمانی، ۱۳۷۷].



شکل(۱-۱): تصویر طبیعی از یک گسل

## ۲-۱ تعریف گسل

گسل‌ها، شکستگی‌هایی همراه با تغییر مکان نسبی هستند که به موازات سطح گسل انجام گرفته‌اند. بعضی از گسل‌ها فقط چند سانتی متر طول دارند و جابجایی آنها در حدود سانتی متر است، در صورتی که گسل‌هایی هم با صدها کیلومتر جابجایی در حدود چند کیلومتر و حتی ده‌ها کیلومتر دیده می‌شوند. در بعضی موارد، یک گسله به صورت مجزا دیده می‌شود ولی در پاره‌ای حالات، چندین گسله موازی و نزدیک به هم دیده می‌شوند. گاهی نیز بدون این که یک شکستگی مشخص در سنگ‌ها دیده شود، سنگ‌ها نسبت به هم تغییر مکان می‌یابند که منطقه بین آنها، به نام منطقه برش موسوم است.

## ۱-۲-۱ عناصر و ویژگی های گسل

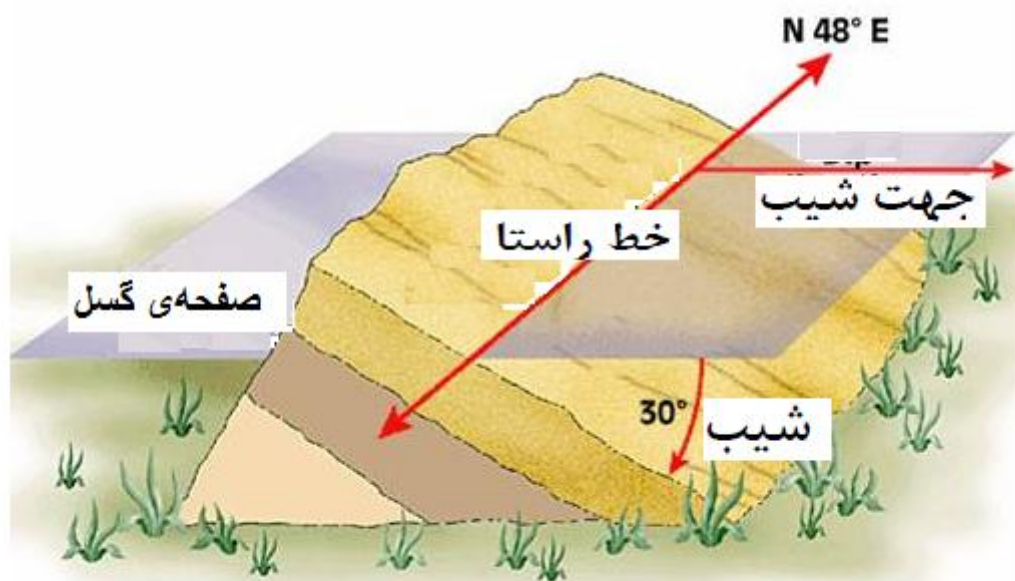
**الف ) شیب و امتداد گسل:** در حالت کلی سطح گسل را می توان به صورت یک سطح در نظر گرفت، لذا شیب و امتداد آن را همانند شیب و امتداد طبقات اندازه گیری می نمایند. در حالت کلی، امتداد گسل، امتداد یک خط افقی در سطح گسل است، که مقدار آن نسبت به شمال بیان می شود. زاویه بین سطح افق و سطح گسل را شیب گسل می نامند (شکل ۱-۲ و ۳-۱).

**ب ) کمر بالا و پائین :** قطعه ای واقع در بالای سطح گسل کمر بالا و قطعه پائین آن کمر پائین نامیده می شود. بدیهی است این تعاریف در مواردی صادق است که گسل قائم نباشد زیرا در این حالت بالا و پائین صفحه گسل مفهومی نخواهد داشت.

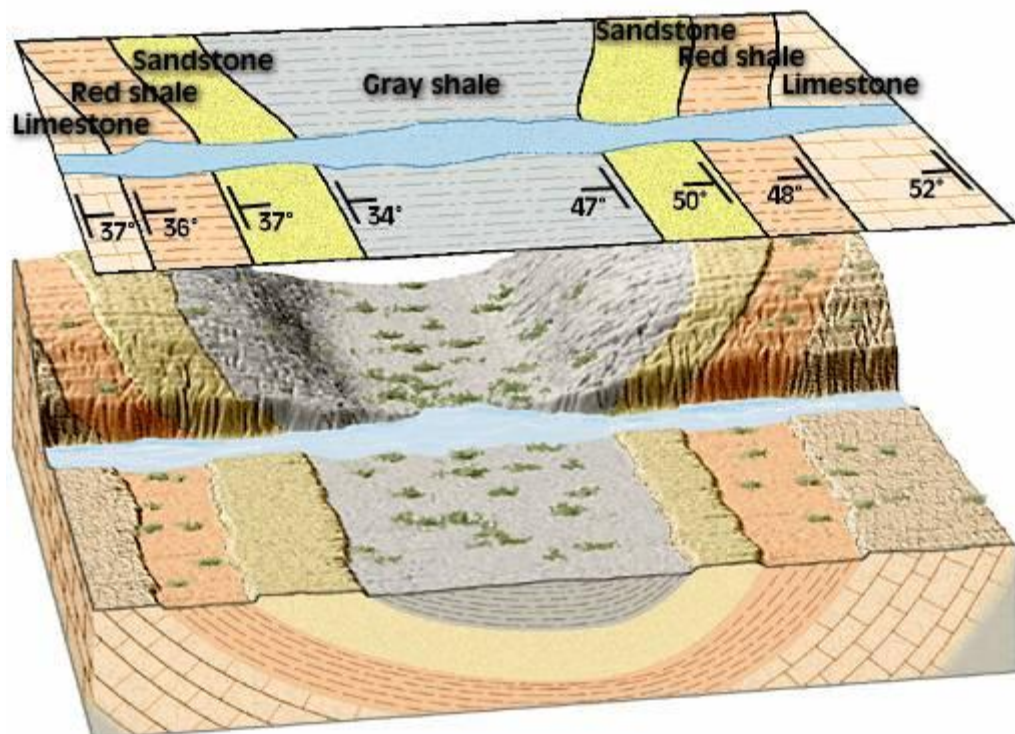
**ج ) اثر گسل :** محل تقاطع صفحه گسل با سطح زمین اثر گسل یا خط گسل نامیده می شود. خط گسل در بسیاری حالات یک خط مستقیم است اما در مواردی که شیب صفحه کم بوده و پستی و بلندی سطح زمین زیاد باشد، ممکن است به حالت نامنظم دیده شود.

**د ) زاویه ریک یا پیچ :** این زاویه عبارت است از زاویه بین خطی که اثر حرکت گسل را در روی صفحه ای آن نشان می دهد با خط افقی که در صفحه گسل قرار دارد.

**ه ) زاویه میل :** زاویه های بین خط بزرگترین شیب موجود در صفحه گسل، با صفحه افقی را زاویه میل نامند.



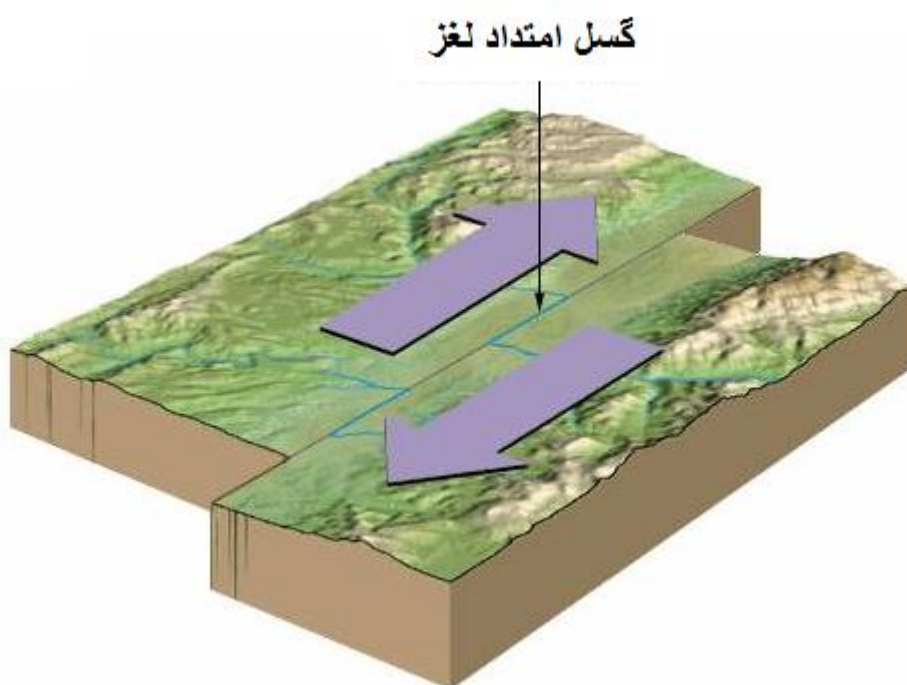
شکل(۱-۲): نمایش خط راستا و شیب و نیز جهت شیب [پورکرمانی، ۱۳۷۷]



شکل(۱-۳): نمایش خط راستا و شیب و نیز جهت شیب [پورکرمانی، ۱۳۷۷]

## ۲-۲-۱ تقسیم بندی هندسی گسل‌ها

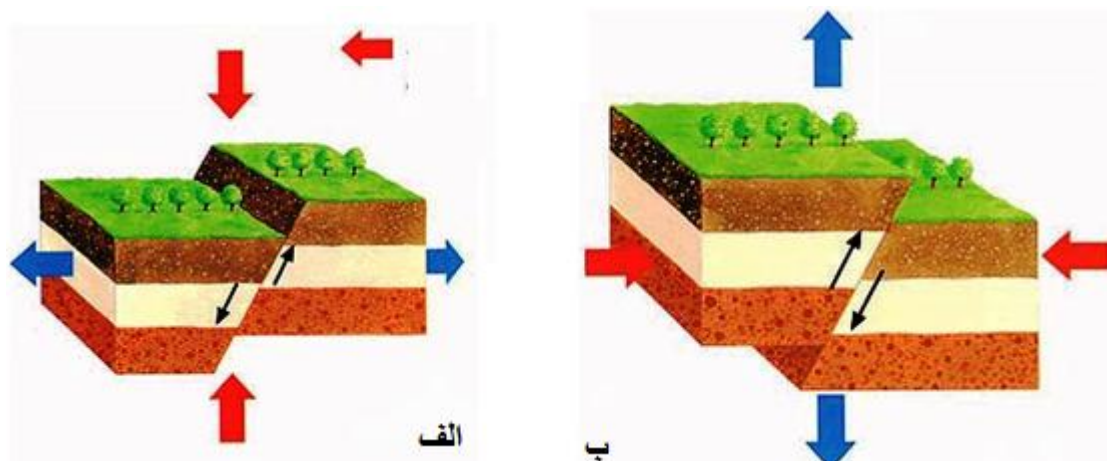
**الف) گسل امتداد لغز:** گسلی است که در آن لغزش کلی به موازات امتداد گسل می‌باشد. در این حالت لغزش کلی گسل معادل لغزش امتدادی بوده و در جهت شیب، مولفه لغزش وجود نخواهد داشت. همچنین زاویه ریک لغزش کلی در این حالت معادل صفر است (شکل ۴-۱).



شکل (۴-۱): گسل امتداد لغز [پور کرمانی، ۱۳۷۷]

**ب) گسل شیب لغز:** گسلی است که در آن لغزش کلی در جهت شیب سطح گسل می‌باشد. به عبارت دیگر در مورد این گسل‌ها لغزش کلی و شبیه با یکدیگر مساوی بوده و مولفه لغزش امتدادی معادل صفر خواهد بود. زاویه ریک لغزش کلی در مورد این دسته از گسل‌ها معادل ۹۰ درجه است (شکل ۵-۱).

**ج) گسل مورب لغز:** در این دسته از گسل‌ها، لغزش کلی نسبت به امتداد یا شیب گسل، مورب است. بدیهی است در این گسل‌ها لغزش کلی دارای هر دو مولفه امتدادی و شبیه است. زاویه ریک لغزش کلی در این حالت از صفر بیشتر و از ۹۰ درجه کمتر است.



شکل(۱-۵): الف- گسل نرمال ب- گسل معکوس [پور کرمانی، ۱۳۷۷]

### ۱-۲-۳ تقسیم بندی بر اساس زاویه شیب گسل

الف ) گسل های پر شیب : گسل هایی پر شیب آنها یی هستند که زاویه شیب آنها از ۴۵ درجه بیشتر است .

ب ) گسل های کم شیب : هرگاه زاویه شیب کل کمتر از ۴۵ درجه باشد، بدین نام خوانده می شود .

ج) گسل عمودی : اگر شیب صفحه گسل بیشتر از ۸۰ درجه باشد، گسل را عمودی می نامند.

### ۱-۲-۴ تقسیم بندی گسل ها بر اساس حرکت ظاهری گسل

الف ) گسل رانده : گسلی که در آن کمر بالا نسبت به کمر پائین به سمت بالا حرکت کرده است. تشکیل گسل های رانده با کوتاه شدن لایه ها و طبقات همراه است. معمولاً گسل های رانده را بر حسب زاویه شیب به سه دسته تقسیم می کنند :

۱- اگر زاویه شیب بیش از ۴۵ درجه باشد گسل، گسل معکوس نام دارد.

۲- اگر کمتر از ۴۵ درجه باشد، رانده نامیده می شود.

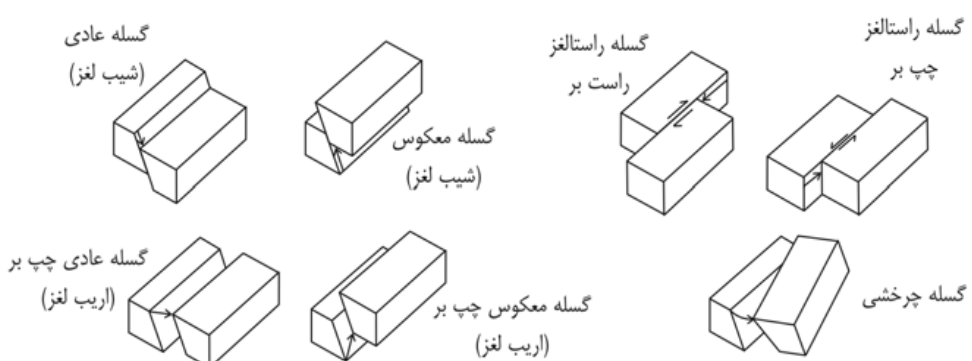
۳- اگر زاویه شیب این گسل ها کمتر از ۱۰ درجه و لغزش کلی آنها زیاد باشد، گسل رورانده نام دارد.

**ب ) گسل عادی :** هرگاه کمر بالا نسبت به کمر پائین به طرف پائین حرکت کرده باشد، گسل حاصل گسل عادی یا مستقیم نام دارد.

**ج ) گسل مورب :** گسلی است که امتداد آن نسبت به امتداد لایه بندی سنگ‌های اطراف به حالت مورب است.

**د ) گسل طولی :** هرگاه امتداد گسل تقریباً موازی امتداد عمومی ساختمان‌های زمین‌شناسی منطقه باشد، گسل طولی نامیده می‌شود.

**ر ) گسل عرضی :** هرگاه امتداد گسل، عمود یا تقریباً عمود بر امتداد عمومی ساختمان‌های زمین‌شناسی منطقه باشد، گسل عرضی نامیده می‌شود.



شکل (۱-۶): انواع گسل‌ها [پورکرمانی، ۱۳۷۷]

یکی از نکات اصلی و مهم در شهرسازی رعایت مسائل ایمنی به لحاظ لرزه‌خیز بودن منطقه است. در این راستا شناسایی پارامترهای مهم از طریق روش‌های غیرمستقیم و بدون تأثیر مخرب زیست محیطی مانند روش‌های ژئوفیزیکی در اولویت می‌باشند. یکی از کاربردهای نه‌چندان جدید روش گرانی، استفاده از آن در مطالعات ژئوتکنیکی و مهندسی عمران است. این روش به دلیل تاثیرپذیری کمتر نویفه‌های صنعتی و شهری و در دسترس بودن گرانی‌سنجهای با دقت بالا، امروزه نقش قابل توجهی در این حیطه دارد.

نظر به اینکه آنومالی‌های گرانی‌سنجدی ناشی از اختلاف چگالی طبقات و غیرهمگون بودن آنها می‌باشند، لذا اگر طبقات تباین چگالی داشته باشند، داده‌های گرانی از اهمیت بالایی برخوردار است. گسل‌ها و شکستگی‌ها در یک منطقه از عوامل موثر و کنترل کننده منابع زیرزمینی مثل نفت و گاز و مواد معدنی است. تعیین موقعیت و وضعیت و تهیه نقشه گسل‌های عمیق و کم عمق در اکتشاف نفت، مواد معدنی، آب‌های زیرزمینی و کارهای مهندسی ضروری می‌باشد.

### ۱-۳ سوابق مطالعات روی گسل با استفاده از روش‌های ژئوفیزیکی

اکتشاف دامنه وسیعی از مواد معدنی وابستگی شدیدی به دانش ما از موقعیت و سن شکستگی‌ها و گسل‌ها دارد. منطقه‌های نفتی و گازی در بسیاری از پی‌سنگ‌های رسوبی در طول گسل‌هایی که روند خطی دارند، توزیع شده‌اند [Cordell, 1973]. بیشتر ذخایر معدنی با ساختارهای زمین‌شناسی به ویژه با روند گسل‌ها مرتبط می‌باشد. همچنین مشخص کردن گسل برای بررسی تکتونیک و ساختارهای زیرسطحی و خطر لرزه‌خیزی منطقه ارزشمند می‌باشد [آزادی و همکاران، ۱۳۸۶]. عموماً ویژگی‌های اصلی ساختار گسل را می‌توان با روش‌های گرانی و مغناطیس مشخص کرد. استفاده از روش‌های پتانسیل در تعیین ساختارهای زیرسطحی و شناسایی گسل‌ها، سابقه‌ای طولانی دارد. پل (Paul) و همکاران در سال ۱۹۶۶ با به دست آوردن ضرایبی برای ادامه فراسو میدان گرانی، توانستند پارامترهای ساختار گسل دو بعدی را با دقت بالایی مشخص کنند. مدل‌سازی پیشرو گرانی برای محاسبه پاسخ شکل هندسی ژئوفیزیکی، یک امر معمول در اکتشافات ژئوفیزیکی است که برای Paul et al. [بررسی آنومالی گرانی ناشی از ساختارهای تکتونیکی مورد توجه افراد زیادی بوده است] 1966; Geldart et al. 1966; Sundararajan et al. 1983; Murthy and Rao, 1980; Murthy, 1998]. برای محاسبه آنومالی گرانی ساختارها با چگالی ثابت روش‌ها و فرمول‌های زیادی ارائه شده است، هر چندکه چگالی سنگ‌های رسوبی با عمق تغییر می‌کند. بدین ترتیب در ادامه پژوهشگران دیگری در مدل‌سازی گسل‌ها برای محاسبه اثر آنومالی گرانی ناشی از وجود گسل، از تغییرات چگالی

با عمق استفاده کرده‌اند [Cordell, 1973; Hinze, 2003; Chappel and Kusznir, 2008; Garcia-Abdeslem) در سال ۱۹۷۳ و گارسیا-عبدالسلام (Garcia-Abdeslem) در سال ۱۹۹۲ نشان دادند که تابع چگالی نمایی می‌تواند نتایج قابل قبول‌تری از لحاظ زمین‌شناسی داشته باشد. هرچند افرادی هم شکل تغییرات خطی را برای محاسبه چگالی در ساختارها در نظر گرفته‌اند [Sundararajan & Brahmam, 1998]. به منظور نتیجه‌گیری بهتر در مدل‌سازی پیشرو جهت تغییرات چگالی رسوبات از تابع سهمی برای محاسبه اثر گرانی استفاده کرده‌اند (Chakravarthi and Sundararajan, 2004). در ایران نیز افرادی در این زمینه به مطالعه پرداخته‌اند. وضعیت ساختارها و چین‌خوردگی دشت چناران در شمال‌غرب مشهد با استفاده از تلفیق روش‌های گرانی و مغناطیسی مورد بررسی قرار گرفته و نقشه آنومالی بوگر این منطقه به صورت دو مقدار بیشینه در اطراف و یک کمینه در قسمت مرکزی ارائه گردیده است [محمد السوقي، ۱۳۸۸]. اویسی و همکاران (۱۳۸۷) برای مشخص کردن گسل مدفون در منطقه کرکسار از روش‌های پتانسیل برای مطالعه ساختارهای شکستگی استفاده کرده‌اند و در تفاسیر پارامتری از روی پروفیل‌های مغناطیسی و با استفاده از روش نقطه میانی و سیگنال تحلیلی، عمق، لبه و شیب گسل را تخمین زندند. اما در برخی موارد با توجه به شرایط زمین‌شناسی و ژئوفیزیکی منطقه، ساختارخطی گسل به خوبی مشخص نمی‌باشد و به تجربیات مفسر نیاز دارد که گاهی ماهیت متفاوتی از آنومالی نتیجه می‌شود. توسلمانی در سال ۲۰۱۰ از روش گرانی برای تعیین امتداد گسل استفاده کرده است. آزادی و همکاران (۱۳۸۶) برای بررسی گسل توپ واقع در شهر مشهد از روش‌های ژئوفیزیکی و ژئوتکنیکی استفاده کرده‌اند.

## ۱-۴ ضرورت و اهداف انجام پایان نامه

شهر جدید کلاته خیج در شمال شرق شهرود در دشت جنوبی چهل دختر در مسیر جاده شهرود- آزادشهر واقع شده است. بر اساس مطالعات تصاویر ماهواره‌ای و عکس هوایی اثر گسلی بر روی رسوبات جدید و کواترنر منطقه دیده می‌شود که از شهر کلاته خیج نیز می‌گذرد. مشاهده اثر این گسل روی رسوبات جدید نشان می‌دهد که این گسل جوان بوده و مشابه گسل بروات در جنوب شرق شهر به می‌باشد که منجر به زلزله وحشتناک بهم گردید. بدین ترتیب این موضوع اهمیت فوق العاده دارد که بدانیم وضعیت این گسل چگونه است. در این پایان نامه سعی بر این است که با استفاده از روش گرانی‌سنجدی برای آشکارسازی گسل کلاته خیج در رسوبات آبرفتی پرداخته شود. هم‌چنین از روش‌هایی مانند فیلترهای فاز محلی و... که کاربردهای زیادی در آشکارسازی گسل‌ها دارند، مورد استفاده قرار گیرد. بنابراین بررسی وضعیت این گسل به لحاظ امتداد، شیب، عمق و جهت شیب آن ضروری به نظر می‌رسد. در راستای بررسی گرانی‌سنجدی روی این منطقه فرضیات و سوالات زیر قابل

طرح است:

- ۱- روش گرانی قادر به تفکیک و تشخیص ساختار گسل است.
  - ۲- جابجایی لایه‌ها توسط گسل سبب اختلاف چگالی مناسبی می‌شود که به روش گرانی قابل اندازه‌گیری است.
  - ۳- با روش گرانی می‌توان شیب و جهت گسل را شناسایی کرد.
- آیا می‌توان با روش گرانی‌سنجدی تشخیص داد که گسل کلاته خیج از چه نوعی است؟
- آیا عمق این گسل قابل تخمین است؟ چه عمق دارد؟
- جهت شیب و مقدار شیب این گسل چقدر است؟

## ۱-۵ ساختار پایان نامه

برای نیل به اهدافی که در پایان نامه مدنظر بوده این ساختار در شش فصل تنظیم شده است به طوری که در فصل اول کلیات مربوطه بیان شده است. در این فصل پس از مقدمه، ضرورت و هدف از تحقیق و روش انجام آن نیز اشاره شده است. در ادامه در فصل دوم مبانی و اصول روش گرانی سنجی بیان می‌گردد. در فصل سوم، روش‌های شناسایی مرز و عمق چشممه‌های آنومال و معادلات ریاضی آن‌ها بیان شده و سپس از این موارد در فصل چهارم برای مدل‌سازی و تولید داده‌های مصنوعی و تفسیر آن‌ها استفاده خواهد شد. در ادامه در فصل پنجم روش‌های تفکیک و تفسیر آنومالی گرانی ناشی از داده‌های واقعی برداشتی از منطقه کلاته خیج بررسی خواهد شد و در نهایت نتایج تحقیق و پیشنهادات در فصل ششم ارائه می‌شود.

## فصل دوم

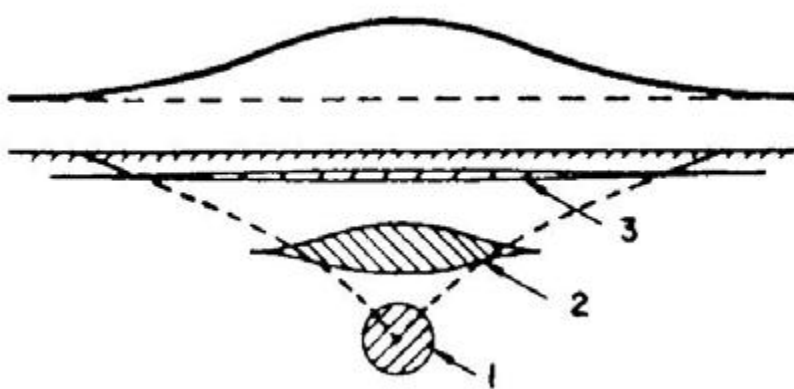
# اصول و مبانی روش گرانی

## ۱-۲ مقدمه

کشف گیلبرت<sup>۱</sup> درباره مغناطیس زمین و تئوری نیوتون درباره نیروی گرانی زمین را می‌توان آغاز علم ژئوفیزیک دانست. هدف اکتشافات ژئوفیزیکی کشف پدیده‌های زمین‌شناسی (تله نفتی، توده معدنی و ...) با روش‌های غیرمستقیم است. امواج لرزه‌ای، گرانی، مغناطیس و میدان‌های الکتریکی درون زمین اساس اکتشافات ژئوفیزیکی مدرن می‌باشند. از میان روش‌های ژئوفیزیکی گرانی و مغناطیس به عنوان ابزاری برای اکتشافات مقدماتی ذخایر نفتی مورد استفاده قرار می‌گیرند. در این دو روش کوشش بر این است که تغییرات اندک ناشی از نامنظمی‌های چگالی و یا خودپذیری<sup>۲</sup> مغناطیسی سنگ‌های زیرزمینی، در یک میدان نیروی نسبتاً بزرگ اندازه‌گیری شوند.

روش‌های گرانی‌سنجدی و مغناطیس‌سنجدی در حکم روش‌های میدان پتانسیل، از پرکاربردترین روش‌های ژئوفیزیکی هستند که در شناسایی حوزه‌های نفتی، مطالعات باستان‌شناسی و بررسی ساختارهای زیرسطحی نتایج مطلوب و موثقی را ارائه می‌دهند. ویژگی مشترکی که این دو روش را از سایر روش‌های ژئوفیزیکی متمایز می‌سازد، پایستار بودن میدان‌های اندازه‌گیری شده است. با استفاده از این روش‌ها در مرحله اکتشاف مقدماتی که هیچ گونه اطلاعات قبلی موجود نیست با صرف وقت و هزینه کم، می‌توان مشخصات ساختاری منطقه را بررسی کرد. [Dobrin and Savit, 1988]. در کنار مزیت‌های گفته شده، این دو روش دارای معایبی نیز می‌باشند. از جمله این که آنومالی حاصله از یک منبع زیرسطحی منحصر به فرد نیست، یعنی تعداد بی‌شماری اشکال زیرسطحی مختلف می‌توانند آنومالی‌های یکسانی در سطح زمین حاصل نمایند. برای کاستن از دامنه ابهامات باید از اطلاعات زمین‌شناسی بهره گرفت. هر چه میزان این اطلاعات بیشتر باشد از ابهامات کاسته شده و تعبیر و تفسیر مطمئن‌تری انجام می‌شود [کلاغری، ۱۳۷۱].

<sup>۱</sup> William Gilbert  
<sup>۲</sup> Susceptibility



شکل ۱-۲ کره عمیق‌ترین توده‌ای است که می‌توان به طور تقریبی آنمالی گرانی نشان داده شده را به آن نسبت داد. توده‌های پهن‌تر و کم عمق‌تری از قبیل (۲) و (۳) نیز می‌توانند به عنوان مولد آنمالی گرانی در نظر گرفته شوند. جرم کل تمام آن‌ها یکسان می‌باشد [Reynolds, 1997].

## ۱-۲ روش گرانی سنجی

گرانی سنجی در ابتدا برای تعیین محل گنبدهای نمکی در مکزیک و آمریکا و بعدها برای یافتن ساختارهای زمین‌شناسی زیرسطحی مانند طاقدیس‌ها در جنوب غرب آمریکا به کار برده شد. امروزه این روش بیشتر برای اکتشافات مقدماتی به کار برده می‌شود، به طوری که با شناسایی مرز بین سنگ‌های رسوبی و سنگ بستر که بسیار چگال‌تر از سنگ‌های رسوبی است، حوضه رسوبی را از نظر بزرگی و ضخامت رسوبات مشخص می‌کند. این روش قدیمی‌ترین و اولین روش برای اکتشاف نفت بوده و با وجود مخارج زیاد باز هم به میزان قابل ملاحظه‌ای از روش لرزه‌نگاری ارزان‌تر است [دولتی ارده‌جانی، ۱۳۷۲].

## ۱-۲-۱ شتاب چاذبه<sup>۱</sup>

نیروی گرانش با قانون نیوتون بیان می‌شود که مبنای کارهای گرانی سنجی است. طبق این قانون نیروی موجود بین دو ذره به جرم‌های  $m_1$  و  $m_2$  با حاصل ضرب جرم آن‌ها نسبت مستقیم و با مجدد فاصله آن‌ها رابطه عکس دارد [Telford, 1990]:

$$F = G \frac{m_1 m_2}{r^2} \quad (1-2)$$

<sup>۱</sup>Gravitational acceleration

که در آن  $G$  ثابت عمومی جاذبه نامیده می‌شود و مقدار آن برابر است با :

$$G = 6.67 \times 10^{-11} m^3 / kg \cdot s^2 \quad (2-2)$$

طبق قانون دوم حرکت نیوتون شتاب جرم  $m_2$  ناشی از حضور جرم  $m_1$  از تقسیم  $F$  بر  $m_2$  به

دست می‌آید. در حالت خاص اگر  $m_1$  را برابر با  $M_e$  یعنی جرم زمین در نظر گرفته شود، با توجه به

معادله (1-2) شتاب جاذبه در سطح زمین برابر است با [Telford, 1990]

$$g = \frac{F}{m_2} = G \frac{M_e}{R_e^2} \quad (2-2)$$

واحد اندازه‌گیری شتاب جاذبه گال ( $1 \text{ gal} = 1 \text{ cm/sec}^2$ ) است اما در عمل معمولاً از واحد کوچکتری

به نام میلی گال ( $1 \text{ gal} = 1000 \text{ mgal}$ ) استفاده می‌شود. جهت برداشت داده‌های گرانی از گرانی‌سنجد

استفاده می‌شود که می‌توان آن‌ها را به دو گروه پایدار و ناپایدار تقسیم‌بندی کرد. امروزه در برداشت‌های

گرانی‌سنجد از گرانی‌سنجد های حساس‌تر نوع ناپایدار مانند لاکوست‌رمبرگ مدل G440

استفاده می‌شود. اما شتاب جاذبه دقیقاً در همه جای سطح زمین یکسان نیست، بلکه

تحت تأثیر چندین فاکتور از قبیل عرض جغرافیایی، ارتفاع، جرم، توپوگرافی و نهایتاً زمین‌شناسی منطقه

کنترل می‌شود. بنابراین برای به دست آوردن اطلاعات زمین‌شناسی باید تصحیحاتی از قبیل تصحیح

هوای آزاد<sup>۲</sup>، تصحیح بوگه<sup>۳</sup>، تصحیح عرض جغرافیایی<sup>۴</sup> و تصحیح توپوگرافی<sup>۵</sup> بر روی مقادیر اولیه اندازه-

گیری شده اعمال شود.

## ۲-۲ پتانسیل گرانشی<sup>۶</sup>

شتاب جاذبه یک میدان پایسته است که می‌توان آن را به صورت گرادیان یک پتانسیل اسکالار نمایش

داد:

<sup>۱</sup>Gravimeter

<sup>۲</sup>Bouguer correction

<sup>۳</sup>latitude correction

<sup>۴</sup>Terrain correction

<sup>۵</sup>Gravitational potential or Newtonian potential

$$\mathbf{g} = \nabla u \quad (4-2)$$

که در این رابطه  $U$  کار انجام داده شده توسط میدان بر روی یک ذره است و پتانسیل گرانشی نامیده می‌شود. بنابراین پتانسیل گرانشی ناشی از جرم  $m$  برابر است با [Telford, 1990]:

$$U = G \frac{m}{r} \quad (5-2)$$

### ۳-۲ تغییرات جاذبه در سطح زمین

شدت جاذبه یا به عبارت دیگر شتاب جاذبه در نقاط مختلف سطح زمین یکسان نبوده و در اثر عواملی که مهم‌ترین آن‌ها پنج دسته زیر است، از نقطه‌ای به نقطه دیگر متغیر می‌باشد.

#### ۳-۲-۱ عرض جغرافیایی نقاط

موقعیت جغرافیایی نقاط سطح زمین عامل مؤثری در تغییرات شتاب جاذبه می‌باشد. زیرا اجسام در سطح زمین تحت تاثیر نیروی گریز از مرکز ناشی از حرکت وضعی زمین قرار داشته و این نیرو که در جهت مخالف جاذبه اثر می‌نماید در استوا حداکثر و در قطب مساوی صفر می‌باشد.

#### ۳-۲-۲ اختلاف ارتفاع بین ایستگاه‌های اندازه‌گیری و سطح مبناء

با توجه به فرمول  $\mathbf{g} = G \frac{m}{r^2}$  واضح است که هر چه ارتفاع نقطه‌ای از سطح دریا بیشتر باشد شدت جاذبه در آن نقطه کمتر خواهد بود.

#### ۳-۲-۳ اثر جذر و مد

اجسام سطح زمین تحت تأثیر جاذبه ماه و خورشید نیز می‌باشند و موقعیت نسبی این دو کره در فضا در زمان اندازه‌گیری باعث مشاهده تغییراتی در شتاب جاذبه می‌شود.

#### ۴-۳-۲ عوامل توپوگرافی

وجود عوارض توپوگرافی مانند کوههای مرتفع و دره‌های عمیق در نزدیکی محل اندازه‌گیری در شتاب اندازه‌گیری شده مؤثر می‌باشد. هر دو این آثار توپوگرافی در یک جهت روی مقدار گرانی اثر می‌گذارند. زیرا کشش به سمت بالا (در مورد تپه‌ها) و عدم کشش به سمت پایین (در مورد دره‌ها) هر دو باعث

کاهش مقدار گرانی در نقطه اندازه‌گیری می‌شود. بنابراین هر دو حالت سبب می‌شوند تا مقدار شتاب جاذبه در ایستگاه‌های گرانی، کمتر از مقدار واقعی اندازه‌گیری شود [توكلی، ۱۳۷۵].

### ۲-۵-۵ تغییرات زمین‌شناسی

تغییرات در وزن مخصوص سنگ‌های نسبتاً سطحی زمین در محل اندازه‌گیری و یا وجود پدیده‌های زمین‌شناسی نظیر گنبدهای نمکی، طاقدیس‌ها، ناویدیس‌ها و گسل‌ها که باعث اختلافاتی بین مقادیر گرانی قرائت شده در ایستگاه‌های مختلف می‌شوند.

هدف اصلی در مطالعات گرانی‌سنجدی اندازه‌گیری تغییرات عامل اخیر یعنی تغییرات زمین‌شناسی است. در عمل شتاب جاذبه در نقاط فراوانی از منطقه مورد مطالعه به فاصله چند صد متر یا چند کیلومتر از یکدیگر اندازه‌گیری شده و سپس نتایج حاصله برای تغییرات سایر عوامل مزاحم مانند تصحیح عرض جغرافیایی، تصحیح هوای آزاد، تصحیح بوگ، تصحیح توپوگرافی، تصحیح جزر و مد تصحیح می‌شوند. در صورتی که هنوز اختلافی بین مقادیر تصحیح شده باقی مانده باشد، مربوط به دسته پنجم خواهد بود. مطالعه و تعبیر و تفسیر این مقادیر که معمولاً آنومالی (بی‌هنجری) نامیده می‌شوند که برای مکان‌یابی توده‌های زیرسطحی منطقه به کار می‌رود. شدت این آنومالی‌ها بستگی به میزان اختلاف وزن مخصوص سنگ‌ها در زیر زمین و عمق آن‌ها دارد.

### ۲-۶ مراحل به کارگیری روش گرانی‌سنجدی در اکتشافات ژئوفیزیکی

به کارگیری روش‌های گرانی‌سنجدی را برای اکتشافات ژئوفیزیکی را می‌توان در ۴ مرحله زیر خلاصه نمود:

#### ۲-۶-۱ جمع‌آوری داده‌ها و تصحیح آن‌ها

این مرحله شامل طراحی شبکه برداشت، جمع‌آوری داده‌ها و اعمال تصحیحات لازمه بر روی آن‌ها می‌شود. در مرحله طراحی شبکه برداشت ابتدا بایستی مشخص شود که برداشت داده‌ها به کدام صورت زمینی، هوایی و یا دریابی انجام می‌شود. سپس بر اساس نوع برداشت و مشخصات منطقه، پارامترهایی از قبیل فواصل ایستگاه‌های برداشت، امتداد پروفیل‌های برداشت، فواصل پروفیل‌ها، ارتفاع پرواز و نوع وسیله

اندازه‌گیری و ... تعیین و طراحی می‌شوند. پس از طراحی شبکه برداشت، داده‌ها بر اساس دقت مورد نظر اندازه‌گیری و ثبت می‌شوند. از آنجا که داده‌های حاصل از اندازه‌گیری تحت تاثیر عوامل مختلفی از جمله توپوگرافی منطقه، عرض جغرافیایی و ... هستند، لذا بایستی اثرات این عوامل را با اعمال تصحیحات مختلف بر روی داده‌ها حذف نمود یا به حداقل ممکن کاهش داد. وقتی تمامی نویزهای قابل پیش‌بینی از داده‌های میدان‌های پتانسیل حذف شدن، داده‌های آنومالی شامل طیفی از اثرات منابع زمین‌شناسی منطقه باقی می‌مانند.

#### **۲-۴-۲ تفکیک و آشکارسازی آنومالی‌ها**

داده‌های حاصل از مرحله قبل شامل اثرات تمامی توده‌ها و منابع زمین‌شناسی موجود در منطقه مورد مطالعه با اعمق و خواص فیزیکی مختلف می‌باشد. به عبارت دیگر داده‌های برداشت شده در یک منطقه، طیفی از آنومالی‌های سطحی یا باقی‌مانده تا آنومالی‌های عمیق یا ناحیه‌ای را شامل می‌گردد. آنومالی‌های ناحیه‌ای دارای طول موج بلند می‌باشند در حالی که آنومالی‌های باقی‌مانده دارای طول موج کوتاه هستند[Reynolds, 1997]. بنابراین لازم است این دو دسته آنومالی‌ها از یکدیگر تفکیک شوند تا بدین ترتیب آنومالی‌های مورد نظر آشکارسازی شوند.

#### **۲-۴-۳ تعیین مشخصات زیرسطحی منابع مولد آنومالی‌ها**

وقتی خصوصیات و مشخصات آنومالی‌ها شامل شکل، اندازه، دامنه، و... با اطلاعات زمین‌شناسی منطقه مورد مطالعه ترکیب می‌شود یک مدل مفهومی برای منبع مولد آنومالی و اختلاف خواص فیزیکی آن با مواد زیرزمینی در برگیرنده آن صورت می‌پذیرد.

#### **۲-۴-۴ تفسیر مدل فیزیکی به مفهوم زمین‌شناسی**

در مرحله نهایی، مدل فیزیکی با استفاده از اصول و اطلاعات زمین‌شناسی منطقه مورد مطالعه به علاوه اطلاعات مربوط به خصوصیات فیزیکی لیتوژئی‌های مختلف به صورت مفهوم زمین‌شناسی تفسیر می‌گردد. مدل مفهومی زمین‌شناسی که از آنومالی‌های ژئوفیزیکی تعیین و تفسیر می‌گردد، الزاماً ساده شده و برحسب کیفیت‌های فیزیکی بیان می‌گردد تا روش‌های محاسباتی را ساده‌تر نمایند.

### فصل سوم

روش‌های تخمین مرز و عمق آنومالی‌های

میدان پتانسیل

### ۱-۳ مقدمه

استفاده از روش های ژئوفیزیکی و اندازه گیری خصوصیات فیزیکی سنگ های زیر سطحی راه حل مناسبی برای اکتشاف ذخایر مدفون در زیر زمین (از قبیل نفت، گاز، آب، و...) می باشند. برای تفسیر خود کار داده های برداشت شده توسط این دو روش تاکنون روش های متعددی ارائه شده است. تخمین مرز و تخمین عمق آنومالی، از مهم ترین پارامتر هایی می باشند که در تفسیر داده های میدان پتانسیل می توان به آن ها اشاره کرد که در این فصل به آن پرداخته می شود.

یکی از مهم ترین مراحل در تفسیر داده های میدان پتانسیل تفکیک عمودی آنومالی های ناشی از منابع محلی و منطقه ای و شناسایی مرزهای افقی آن ها است. روش هایی چون فیلتر های گسترش به سمت بالا<sup>۱</sup> و گسترش به سمت پایین<sup>۲</sup> بر اساس طول موج های متفاوت آنومالی ها (توده های عمیق طول موج بلند تری نسبت به توده های سطحی دارند)، تفکیک عمودی توده های آنومال را انجام می دهند اما کمکی به تفکیک جانبی آن ها نمی کنند.

در بررسی ناهمگنی جانبی توده های زمین شناسی، به ویژه موقعیت لبهی آن ها، داده های میدان پتانسیل مزایای منحصر به فردی دارند. زمانی که صحبت از لبه ها یا مرزهای زمین شناسی می شود، به طور عمده منظور مرز گسل ها، شکستگی ها و یا واحدهای زمین شناسی و یا واحدهای سنگی با چگالی متفاوت می باشد [حدادیان، ۱۳۹۰].

<sup>۱</sup> Upward continuation

<sup>۲</sup> Downward continuation

فیلترهای متعددی برای شناسایی مرزهای افقی تودههای آنومال وجود دارد. این فیلترها می‌توانند مرز بین واحدهای زمین‌شناسی را با وضوح بیشتری مشخص کنند و ساختمانهای سطحی و عمیق را برجسته نمایند و یا عوارض را از زوایای مختلف نمایش دهند. روش‌ها بر اساس مکان نقاط ماقزیم و یا صفر حاصل از به‌کارگیری مشتقات افقی یا عمودی و یا ترکیبات متفاوت آن‌ها می‌باشند. اما به هر حال تفاوتی بین لبه‌های بدست آمده و لبه‌های واقعی وجود دارد که این تفاوت با شکل مرز، عمق، اندازه و دیگر فاکتورهای توده‌ی زمین‌شناسی تغییر می‌کند.

بعد از برداشت داده‌های میدان پتانسیل، نتیجه کار یک سری داده گستته با ماهیت عددی است که در نقاط پروفیل یا شبکه برداشت (حوزه مکان) حاصل شده است. فیلترها بعد از اینکه داده‌ها گردآوری و به برخی فرمتهای استاندارد (برای مثال آنومالی بوگه) جمع‌آوری شدند به داده‌های میدان پتانسیل اعمال می‌شوند. عمل فیلتر کردن اغلب شامل قرار دادن یک یا چند پنجره متحرک بر روی داده‌ها و آنالیز داده‌های محاط در هر پنجره است. این آنالیز شامل عملیات ریاضی پیچیده مانند تبدیل فوریه و یا متوسط‌گیری ریاضی ساده می‌باشد. بعد از اعمال فیلتر، داده‌ها به صورت یک فایل جدید ذخیره می‌شوند. امروزه به کارگیری روش‌های جدید با استفاده از کامپیوتر به علت صرفه‌جویی در زمان و سهولت در به کارگیری این روش‌ها برای حجم وسیعی از داده‌ها، رواج یافته است که می‌توان از جمله به روش‌های خودکار مانند روش اوبلر دی‌کانولوشن اشاره کرد.

## ۲-۳ تفکیک آنومالی‌های ناحیه‌ای و باقی‌مانده

نقشه‌های میدان‌های پتانسیل تهیه شده از برداشت‌های گرانی، مجموع اثرات توده‌هایی با دانسیته متفاوت در اعماق مختلف می‌باشند. به عبارت دیگر نتیجه برداشت به کلیه آنومالی‌های موجود در منطقه مربوط می‌شود. در نقشه میدان‌های پتانسیل، تاثیرات سنگ بستر با تغییرات خطی و ملایم مشخص می‌شوند [دولتی ارده‌جانی، ۱۳۷۲]، که به آن‌ها آنومالی ناحیه‌ای گفته می‌شود. آنومالی ناحیه‌ای دارای یک

فرکانس پایین و طول موج بلند است، در حالی که آنومالی های باقیمانده که مربوط به اجسام زیرسطحی کم عمق می شوند دارای فرکانس بالا و طول موج کوتاه می باشند [Reynolds, 1997]. در مطالعات ناحیه‌ای گرانی به منظور واضح‌تر شدن آنومالی های حاصله از اشکال بزرگ مقیاس (آنومالی های ناحیه‌ای)، باید آنومالی های باقیمانده (حاصله از منابع زیرسطحی با گسترش جانبی محدود) را از روی آنومالی های مشاهده حذف نمود [کلاگری، ۱۳۷۱]. بر عکس، در کارهای اکتشافی گرانی و بزرگ- مقیاس معمولاً آنومالی های ناحیه‌ای را به منظور خوب نمایان شدن آنومالی های باقیمانده از روی آنومالی های مشاهده حذف می نمایند.

در نقشه‌های میدان‌های پتانسیل تأثیرات توده‌های عمیق محدوده وسیعی را در نقشه آنومالی در برگرفته و بر عکس تأثیرات سطحی مناطق کوچکی را شامل می شوند. بنابراین مقادیر آنومالی باقیمانده طبق رابطه زیر بیان خواهد شد.

$$g_{res} = g - g_{reg} \quad (1-3)$$

که در آن رابطه  $g_{res}$  آنومالی باقیمانده،  $g$  آنومالی میدان گرانی و  $g_{reg}$  آنومالی ناحیه‌ای می باشد. تخمین درست و حذف میدان ناحیه‌ای از داده‌های مشاهده‌ای، میدان باقی مانده تولید شده که به منابع هدف مربوط می شود، را نتیجه می دهد. در اغلب کارهای اکتشافی تفسیر و مدل‌سازی عددی برای داده‌های میدان باقیمانده انجام می شود و اعتبار تفسیر به درجه تفکیک آنومالی های باقیمانده و ناحیه‌ای بستگی دارد.

در این پایان‌نامه برای تفکیک آنومالی های گرانی سنجی منطقه کلاته خیج شاهروود، فیلترهای روند سطحی، گسترش به سمت بالا و گسترش به سمت پایین با استفاده از نرم‌افزار ژئوسافت روی داده‌ها اعمال شد. اگر چه تفکیک آنومالی ها با استفاده از نرم‌افزار صورت پذیرفته است اما برای درک چگونگی و عملکرد آن‌ها، تئوری هر یک از آن‌ها لازم و مفسر باید کاملاً آگاهی داشته باشد.

### ۳-۲-۱ نقشه‌ی روند سطحی

یکی از انعطاف‌پذیرترین تکنیک‌های تحلیلی برای تعیین اثرات ناحیه‌ای، روش روند سطحی می‌باشد.

در این روش میدان ناحیه‌ای از مقادیر مشاهده شده بوسیله روش حداقل مربعات تقریب زده می‌شود

[Hinze, 1990]. این روش بر اساس محاسبه سطحی (به روش ریاضی) استوار است که بهترین تطابق را

نسبت به مقادیر مشاهده شده داشته باشد. در حالت کلی معادله سطح مذکور برای حالت دو بعدی به

شرح زیر است [آگاه و همکاران، ۱۳۸۳]:

$$T(x, y) = A_{00} + A_{01}x + A_{01}y + A_{11}xy + A_{20}x^2 + A_{21}x^2y + \dots + A_{pq}x^py^q$$

که در آن:  $T(x, y)$  مقدار آنومالی ناحیه‌ای،  $A_{ij}$  ضرایب سطح مذکور،  $x$  و  $y$  مختصات نقاط برداشت

شده می‌باشد. بعد از عبور سطح فوق الذکر بر داده‌های مشاهده شده، آنومالی باقی‌مانده به صورت زیر

محاسبه می‌شود [آگاه و همکاران، ۱۳۸۳]:

$$R_i = G_i - T_i \quad (1-3)$$

که در آن  $G_i$  اطلاعات مشاهده شده،  $T_i$  پاسخ سطح مذبور به عنوان اثر ناحیه‌ای و  $R_i$  آنومالی باقی‌مانده

می‌باشند. برای انجام این روش مربع تفاضل اطلاعات مشاهده شده و اطلاعات سطح انتخابی با استفاده از

روش حداقل مربعات کمینه می‌گردد تا سطح مناسب جهت محاسبه اثرات ناحیه‌ای به دست آید.

درجه روند سطحی به پیچیدگی زمین‌شناسی ناحیه‌ای بستگی دارد [Dobrin, 1988]. از درجه‌های

بیشتر روند سطحی برای حالت‌های پیچیده‌تر استفاده می‌شود. هرچه درجه روند بیشتر باشد آنومالی‌های

باقی‌مانده کوچک‌تر و برجسته‌تر می‌شوند و هم‌پوشانی بین مقادیر سطح مذبور و مشاهده شده بیشتر

خواهد شد. بنابراین مقادیر باقی‌مانده به سمت صفر میل خواهند نمود. در این حالت تفکیک اطلاعات به

دو مؤلفه باقی‌مانده و ناحیه‌ای مفهومی نخواهد داشت و به این ترتیب هدف اصلی ما نادیده گرفته می‌شود

[دولتی اردوجانی، ۱۳۷۵].

### ۲-۲-۳ روش گسترش به سمت بالا (ادامه فراسو)

روش گسترش به سمت بالای داده های میدان پتانسیل در سطح وسیعی در ژئوفیزیک استفاده می شود. این روش به عنوان مثال برای افزایش و آشکارسازی پاسخ های منابع عمیق تر در جایی که منابع کم عمق تر نیز موجودند، به کار برد <sup>5</sup> [Reynolds, 1997]. در این روش داده های میدان پتانسیل از یک سطح مبنا به طریق ریاضی بر روی سطوح ترازی در بالای سطح مبنای اصلی تصویر می شوند. بدین ترتیب تأثیرات سطحی حذف شده و تأثیرات عمیق به وضوح مشخص می شوند. در واقع این روش آنومالی های با طول موج کوتاه تر را حذف کرده و دامنه آنومالی ها را تضعیف و نویز را کاهش می دهد. بنابراین، این روش مانند یک فیلتر پایین گذر عمل می کند [Reynolds, 1997]. گسترش داده های گرانی به سطوح بالاتر در مقایسه با روش گسترش به سمت پایین، افزایش نویز ندارد.

### ۳-۲-۳ روش گسترش به سمت پایین (ادامه فروسو)

با استفاده از این روش داده های میدان پتانسیل از یک سطح مبنا به طریق ریاضی بر روی سطوح ترازی در زیر سطح مبنای اصلی تصویر می شوند. این روش برعکس روش گسترش به سمت بالا اثر مؤلفه های با عدد موج بالا و آنومالی منابع سطحی را افزایش می دهد. این روش یک ابزار قدرتمند برای مطالعه منابع نزدیک سطح است ولی سودمندی آن به چگونگی رفع نویزهایی که باعث بی ثباتی جوابها می شوند، بستگی دارد [Blakely, 1996].

برای این تبدیلات از رابطه زیر که به انتگرال فراسو (فروسو) معروف است، استفاده می شود [Blakely, 1996]

$$u(x, y, z_0 - \Delta z) = \frac{\Delta z}{2\pi} \int_{-\infty}^{\infty} \int_{-\infty}^{\infty} \frac{u(x', y', z_0) dx dy}{[(x - x')^2 + (y - y')^2 + \Delta z^2]^{3/2}} \quad (2-3)$$

با در نظر گرفتن رابطه کانولوشن،

$$f * g = \int_{-\infty}^{\infty} f(x) g(x - x') dx' \quad (3-3)$$

رابطه (۲-۳) را می‌توان به صورت زیر بازنویسی نمود.

$$u(x, y, z_0 - \Delta z) = \frac{\Delta z}{2\pi} \int_{-\infty}^{\infty} \int_{-\infty}^{\infty} u(x', y', z_0) \psi_n(x - x', y - y', \Delta z) dx' dy' \quad (4-3)$$

که در آن  $\psi_n$  و  $r$  به ترتیب از رابطه‌های زیر قابل محاسبه است.

$$\psi_n = \frac{\Delta z}{2\pi} \frac{1}{(x^2 + y^2 + \Delta z^2)^{3/2}} = \frac{-1}{2\pi} \frac{\partial}{\partial \Delta z} \left( \frac{1}{r} \right) \quad (5-3)$$

$$r = (x^2 + y^2 + z^2)^{1/2} \quad (6-3)$$

با انتقال رابطه (۴-۳) به حوزه فرکانس می‌توان نوشت:

$$F[u_n] = F[u]F[\psi_n] \quad (7-3)$$

$$F[\psi_n] = \frac{-1}{2\pi} \frac{\partial}{\partial \Delta z} F\left(\frac{1}{r}\right) = -\frac{\partial}{\partial \Delta z} \frac{e^{-|k|\Delta z}}{|k|} = e^{-|k|\Delta z} \quad (8-3)$$

که در آن جمله‌ی  $e^{-|k|\Delta z}$  را فیلتر ادامه فراسو و  $e^{+|k|\Delta z}$  را فیلتر ادامه فروسو می‌گویند. حال با گرفتن فوریه معکوس، می‌توانیم  $u_n$  را به دست آورد.

$$u_n = F^{-1}(F[u_n]) \quad (9-3)$$

به این ترتیب می‌توان مراحل انجام تبدیل میدان گرانی با استفاده از دو فیلتر گسترش به سمت بالا و یا گسترش به سمت پایین طی به شرح زیر خلاصه نمود:

۱- تبدیل فوریه داده‌ها و انتقال آنها به حوزه فرکانس.

۲- ضرب نتیجه مرحله ۱ در عبارت  $e^{\mp |k|\Delta z}$  که در آن  $\Delta z$  ارتفاع گسترش به متر و  $k$  عدد موج است.

۳- برگرداندن نتایج مرحله ۲ به حوزه مکان توسط عکس تبدیل فوریه.

در صورتی که مقدار  $\Delta z$  در این رابطه مثبت باشد گسترش به سمت بالا و در صورتی که مقدار  $\Delta z$  منفی باشد گسترش به سمت پایین نامیده می شود. از بین تبدیل های گسترش میدان، ادامه فروسو به دلیل ایجاد نویز زیاد کاربرد کمتری دارد.

### ۳-۲ تخمین مرز

مهمنترین فیلترهایی که برای تخمین مرز مورد استفاده قرار می گیرند، مشتقات، سیگنال تحلیلی و فیلترهای فاز محلی می باشند.

### ۳-۳-۱ فیلترهای مشتق

یکی از پر کاربردترین فیلترهای مورد استفاده در تفسیر داده های میدان پتانسیل فیلترهای مشتق است و نقش آن ها در جداسازی آنومالی های ناحیه ای و باقی مانده و تخمین مرز است [ Verduzco et al, 2004]. این فیلترها شامل مشتق قائم، مشتق جهتی و مشتق افقی کل هستند. معمولاً در هر مرحله تفسیر بنا به نیاز از هر سه نوع فیلتر استفاده می شود. زیرا هر سه فیلتر اطلاعات مختلف و ویژه ای را در اختیار می گذارد. ترکیب این فیلترها به طرق مختلف منجر به تولید فیلترهای جدید با کارایی بیشتر خواهد شد. علاوه بر کاربرد آنها در تخمین مرز، اساساً اکثر روش های تفسیر آنومالی های میدان پتانسیل به ویژه روش های تخمین عمق نیز کمیت مشتق است. اندازه مشتق قائم در محل لبه های توده های زیر سطحی صفر است و از این خاصیت برای تخمین مرز استفاده می شود. اندازه مشتق افقی در بالای لبه های توده زیر سطحی ماقریزم است. لذا این فیلتر نیز می تواند به عنوان وسیله ای جهت تخمین مرز به کاربرده شود. فیلتر مشتق قائم با افزایش مرتبه مشتق مرزها و آنومالی ها را برجسته تر نشان می دهد ولی چون در گروه فیلترهای بالاگذر جای می گیرد، همراه با آنومالی ها نویزهای موجود در نقشه ها نیز برجسته می شود. به همین دلیل معمولاً از مشتقات مرتبه اول و دوم بیشتر استفاده می شود.

مشتق های جهتی بیشتر برای بر جسته کردن آنومالی ها از جهت و زاویه ای خاص به کار برد می شوند. مثلاً محاسبه مشتق جهتی در امتداد شمال-جنوب، باعث بر جسته شدن آنومالی های با امتداد شرق-غرب می شود. در این فیلترها آنومالی ها و عوارض خطی با امتداد عمود بر جهت محاسبه مشتق جهتی بر جسته می شوند. همان طور که گفته شد اندازه مشتق افقی در بالای لبه های توده های زیر سطحی حداکثر است که بیشتر بر روی داده های گرانی کاربرد دارد و در داده های مغناطیسی به خاطر ماهیت دو قطبی کمتر استفاده می شود.

### ۲-۳-۳ مشتق قائم

اگر تابع  $\varphi(x, y)$  بیانگر داده های میدان پتانسیل باشد، آنگاه با استفاده از خواص تابع لاپلاس می توان مشتق قائم داده های میدان پتانسیل را محاسبه کرد. بر طبق این تئوری اگر  $\varphi(x, y)$  یک میدان پتانسیل باشد آنگاه  $\nabla^2 \varphi = 0$  بنابراین می توان نوشت [Verduzco et al, 2004]

$$\frac{\partial^2 \varphi}{\partial x^2} + \frac{\partial^2 \varphi}{\partial y^2} + \frac{\partial^2 \varphi}{\partial z^2} = 0 \rightarrow \frac{\partial^2 \varphi}{\partial z^2} = - \left( \frac{\partial^2 \varphi}{\partial x^2} + \frac{\partial^2 \varphi}{\partial y^2} \right) \quad (10-3)$$

به علاوه هنگامی که داده ها در یک سطح افقی برداشت شده باشند، می توان تابع لاپلاس را به حوزه فوریه منتقل و سپس مشتق قائم مرتبه  $n$  ام داده های میدان پتانسیل را نیز محاسبه کرد که می تواند هر مقدار حقیقی را اختیار کند.

$$F \left[ \left( \frac{\partial^n \varphi}{\partial x^n} \right) \right] = |k|^n F[\varphi] \quad (11-3)$$

در این رابطه  $k = 2\pi/\lambda$  که  $\lambda$  طول موج و  $F$  بیانگر تبدیل فوریه می باشد.

به طور معمول استفاده از این فیلتر فقط به مرتبه های اول و دوم محدود می شود.

### ۳-۳-۲ مشتقات افقی کل<sup>۱</sup>

ماکریم مقادیر گرادیان افقی آنومالی گرانی ناشی از یک توده آنومال با لبه های عمودی و با فاصله زیاد از منابع دیگر، بر روی لبه های آن قرار می گیرد (شکل ۳-۱). از این ویژگی برای اولین بار توسط کردل در سال ۱۹۷۹ برای تعیین محل تغییرات ناگهانی چگالی در راستای جانبی استفاده شد. سپس از این فیلتر روی داده های مغناطیسی (تعیین محل تغییرات ناگهانی جانسی مغناطیدگی) نیز به کار برده شد. اندازه گرادیان افقی توسط رابطه زیر محاسبه می شود [Verduzco et al, 2004]

$$THDR(x, y) = \sqrt{\left(\frac{\partial f(x, y)}{\partial x}\right)^2 + \left(\frac{\partial f(x, y)}{\partial y}\right)^2} \quad (12-3)$$

که در آن،  $f(x, y)$  داده های میدان پتانسیل می باشد [Verduzco et al, 2004]. اگر  $\phi(x, y)$  معرف برداشت های گستته میدان پتانسیل در یک صفحه افقی باشد، به عنوان مثال ماتریس  $j, i$  که  $i=1, 2, \dots$  و  $j=1, 2, \dots$  که در راستای شرق - غرب و محور شمال - جنوب و فواصل برداشت با محور افقی (X) در راستای شرق - غرب و محور شمال (Y) در راستای شمال - جنوب و فواصل برداشت به ترتیب مساوی  $\Delta x$  و  $\Delta y$  باشد؛ مشتق افقی  $\phi(x, y)$  نسبت به محورهای  $x$  و  $y$  در نقطه  $(j, i)$  با استفاده از روش اختلاف محدود طبق روابط زیر قابل محاسبه است [Blakely, 1996].

$$\frac{d\phi(x, y)}{dx} \approx \frac{\phi_{i+1,j} - \phi_{i-1,j}}{2\Delta x} \quad (13-3)$$

$$\frac{d\phi(x, y)}{dy} \approx \frac{\phi_{i,j+1} - \phi_{i,j-1}}{2\Delta y}$$

علاوه بر روش اختلاف محدود می توان مشتقات افقی را در حوزه فوریه نیز محاسبه کرد. بر این اساس می توان از رابطه های زیر استفاده کرد.

<sup>۱</sup> Total horizontal derivatives (THDR)

$$F\left[\frac{\partial \varphi}{\partial x}\right] = ikF[f] \quad (14-3)$$

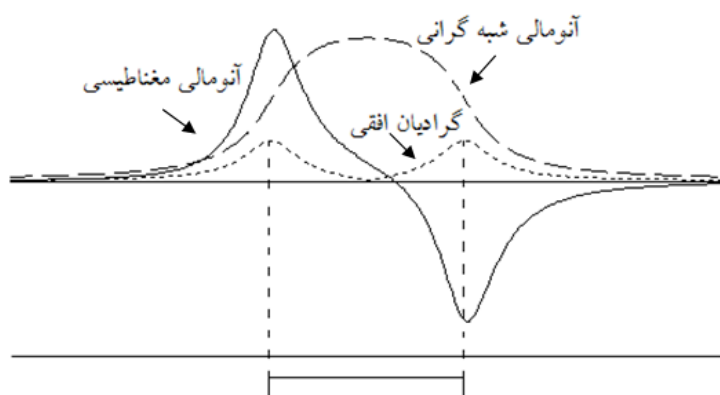
$$F\left[\frac{\partial \varphi}{\partial z}\right] = |k|F[f] \quad (15-3)$$

$$F\left(\frac{d^n \varphi}{dx^n}\right) = (ik_x)^n F(\varphi) \quad (16-3)$$

$$F\left(\frac{d^n \varphi}{dy^n}\right) = (ik_y)^n F(\varphi) \quad (16-3)$$

در روابط بالا  $k = 2\pi/\lambda$  بیانگر عدد موج،  $k_x$  و  $k_y$  به ترتیب بیانگر عدد موج در جهات  $x$  و  $y$  و  $n$  مرتبه مشتق است. در این روابط کمیت  $n$  می‌تواند هر مقداری اعم از صحیح یا اعشاری را بپذیرد.

به دلیل ماهیت دو قطبی میدان‌های مغناطیسی در عمل کمتر از این میدان‌ها برای محاسبه گرادیان افقی استفاده می‌شود. در مقابل داده‌های گرانی‌سنگی نتیجه خوبی را ایجاد می‌کند. می‌توان آنومالی مغناطیسی را به آنومالی شبه گرانی تبدیل و سپس با محاسبه گرادیان افقی به تخمین مرز پرداخت.



شکل (۱-۳): آنومالی مغناطیسی، آنومالی شبه گرانی و گرادیان افقی یک توده آنومال دو بعدی [Blakely, 1996]

### ۳-۳-۴ سیگنال تحلیلی

سیگنال تحلیلی یا گرادیان کامل به صورت ترکیب مشتقات افقی و قائم داده های میدان پتانسیل تعریف می شود. ماکریم مقدار سیگنال تحلیلی بر روی لبه های توده قرار می گیرد. یکی از نکات این روش این است که مشتقات افقی و عمودی یک تابع پتانسیل، تبدیل هیلبرت یکدیگر هستند. تبدیل هیلبرت دامنه تابع ورودی را بدون تغییر ولی فاز آن را به اندازه  $90^\circ$  درجه تغییر می دهد. در نتیجه تبدیل هیلبرت مشتق افقی داده های میدان پتانسیل، مشتق قائم داده ها را ارائه می دهد [Nabighian, 1972].

سیگنال تحلیلی تابع  $f(x)$  کمیتی مختلط است و در حالت دو بعدی به صورت زیر تعریف می شود [Li

: 2006]

$$A(x) = f(x) - iH[f(x)] \quad (17-3)$$

که در آن  $A(x)$  سیگنال تحلیلی و  $H[f(x)]$  تبدیل هیلبرت تابع  $f(x)$  است.

### ۱-۴-۳-۳ تبدیل هیلبرت

تبدیل هیلبرت در محاسبات مربوط به سیگنال تحلیلی نقش اساسی دارد، بنابراین در ادامه خلاصه ای از روابط مهم در این زمینه ارائه می شود. تبدیل هیلبرت تابع  $f(x)$  و معکوس آن به صورت زیر تعریف می شوند [Blakely, 1996] :

$$F_I(x) = -\frac{1}{\pi} \int_{-\infty}^{\infty} \frac{f(x')}{x-x'} dx' \quad (18-3)$$

$$f(x') = \frac{1}{\pi} \int_{-\infty}^{\infty} \frac{F_I(x)}{x'-x} dx$$

تبدیل هیلبرت  $f(x)$  مشابه کانولوشن  $f(x) * \frac{1}{\pi x}$  است. بنابراین تبدیل هیلبرت دارای تبدیل فوریه ای یک بعدی است که از ضرب تبدیل فوریه  $f(x)$  در تبدیل فوریه  $\frac{1}{\pi x}$  محاسبه می شود [Blakely, 1996] :

$$F[F_I] = i \operatorname{sgn}(k) F[f]$$

-الف-

$$\operatorname{sgn}(k) = \begin{cases} 1 & \text{for } k > 0 \\ 0 & \text{for } k = 0 \\ -1 & \text{for } k < 0 \end{cases}$$

-ب-

$$F(a) = F(f)[1 + \operatorname{sgn}(k)]$$

-ج-

در این رابطه  $F(a)$  تبدیل فوریه سیگنال تحلیلی و  $F(f)$  تبدیل فوریه تابع  $f(x)$  می‌باشد.

از رابطه (۱۹-۳) نتیجه‌گیری می‌شود که تبدیل هیلبرت تأثیری بر روی دامنه  $(x)$  ندارد، اما فاز

این تابع را اگر  $k > 0$  باشد، به اندازه  $\pi/2$  و در صورتی که  $k < 0$  باشد، به اندازه  $-\pi/2$  تغییر می‌دهد.

با توجه به مطالب بالا سیگنال تحلیلی تابع به دو روش قابل محاسبه است:

الف) محاسبه تبدیل هیلبرت تابع و ترکیب با تابع مطابق با رابطه (۱۷-۳).

ب) محاسبه تبدیل فوریه تابع و سپس به ازاء  $k > 0$  تبدیل فوریه تابع دو برابر، به ازاء  $k < 0$  تبدیل

فوریه مساوی با صفر و به ازاء  $k = 0$  بدون تغییر گذاشته می‌شود و در نهایت عکس تبدیل فوریه نتایج

محاسبه می‌شود [Blakely, 1996].

مقداری بیشینه سیگنال تحلیلی نسبت به عمق بسیار حساس می‌باشد و تنها زمانی بر روی مرزهای چشممه بی‌هنجر قرار می‌گیرد که عمق آن کم باشد و هرچه عمق جسم آنومال بیشتر می‌شود از قدرت تفکیک سیگنال تحلیلی کاسته می‌شود.

### ۵-۳-۲ فیلترهای فاز محلی

محاسبه فاز محلی<sup>۱</sup> میدان‌های پتانسیل نقش موثری در تفسیر داده‌های میدان پتانسیل دارد.

فیلترهای فاز محلی شامل توابعی بر حسب گرادیان قائم و افقی میدان پتانسیل هستند که دارای انعطاف-

پذیری خوبی هستند. بدین معنی که با تغییری جزئی در فرمول مربوط به یک فیلتر و در واقع نرمالیزه

<sup>1</sup>local phase

کردن آنها می توان فیلترهای جدیدی حتی با کارایی بیشتری تولید کرد. از جمله فیلترهای فاز محلی می توان به زاویه تمایل<sup>۱</sup>، مشتق افقی کل زاویه تمایل<sup>۲</sup> و نقشه تا<sup>۳</sup> اشاره کرد و در این تحقیق از این فیلترها نیز استفاده شده است.

### ۱-۵-۳-۲ فیلتر مشتق افقی کل زاویه تیلت

یکی از فیلترهای فاز پایه متداول جهت بر جسته سازی ساختارهای موجود در نقشه های میدان پتانسیل فیلتر زاویه تیلت است. زاویه تمایل برای تعیین لبه بی هنجاری داده های میدان پتانسیل در سال ۱۹۹۴ توسط میلر و سینگ مشابه با فاز محلی تعریف شد، اما در مخرج به جای مشتقات افقی از مقدار قدر مطلق آنها استفاده می شود [Miller and Singh, 1994]

$$TA = \tan^{-1} \left[ \frac{\frac{\partial g}{\partial z}}{\sqrt{\left( \frac{\partial g}{\partial x} \right)^2 + \left( \frac{\partial g}{\partial y} \right)^2}} \right] \quad (20-3)$$

که در آن  $TA$ ، مقدار زاویه تیلت و  $g$  میدان گرانی برداشت شده است. زاویه تمایل ویژگی های جالب توجهی دارد و به دلیل ماهیت تابع مثلثاتی تانژانت معکوس، مقادیر آن صرف نظر از مقادیر مشتقات افقی و عمودی در بازه  $\left[ -\frac{\pi}{2}, +\frac{\pi}{2} \right]$  قرار می گیرند. با کمی دقت در رابطه بالا مشخص است که زاویه تمایل، نرمال شده گرادیان قائم داده های میدان پتانسیل است. اگرچه مشتق عمودی و گرادیان افقی هر دو برای منابع عمیق تر کوچکتر می باشند اما زاویه تمایل با استفاده از نسبت مشتق عمودی به گرادیان افقی بر این مشکل غلبه کرده است. بنابراین این فیلتر نسبت به عمق منبع

<sup>۱</sup>Tilt angle (TA)

<sup>۲</sup>Total horizontal derivative of tilt angle (THDR-TA)

<sup>۳</sup>Theta map

غیرحساس می باشد و منابع عمیق و کم عمق را به طور یکسان تفکیک می کند | Miller and Singh |, 1994.

برای بالا بردن قدرت تفکیک بی هنجاری ها، وردوزکو و همکاران در سال ۲۰۰۴ مشتق افقی زاویه تمایل را پیشنهاد نمودند در این رابطه  $TA$  زاویه تیلت محاسبه شده از رابطه (۲۰-۳) می باشد .[Verduzco et al ,2004]

$$THDR-TA = \sqrt{\left(\frac{\partial T}{\partial x}\right)^2 + \left(\frac{\partial T}{\partial y}\right)^2} \quad (21-3)$$

از کاربردهای مهم این فیلتر تعیین مرز توده ها است اما از آنجایی که برای محاسبه این فیلتر باید مشتق دوم زاویه تیلت محاسبه شود با توجه به شدت تغییرات داده های برداشت شده، ممکن است تصویر فیلتر شده با نویز زیادی همراه باشد.

### ۲-۵-۳-۳ نقشه تنا

این فیلتر به صورت نسبت بین اندازه گراديان افقی و اندازه سیگنال تحلیلی داده های میدان پتانسیل تعریف می شود. بر همین اساس وینز و همکاران او در سال ۲۰۰۵ فیلتر تنا را طبق رابطه زیر معرفی کردند [Wijns et al,2005]

$$\cos(\theta) = \frac{\sqrt{(\partial g / \partial x)^2 + (\partial g / \partial y)^2}}{|\mathbf{A}|} \quad (22-3)$$

که در آن  $g$  تابع گرانی اندازه گیری شده بوده و پارامتر  $A$  بردار سیگنال تحلیلی می باشد که به صورت  $A = \frac{\partial f}{\partial x} \hat{x} + \frac{\partial f}{\partial y} \hat{y} + \frac{\partial f}{\partial z} \hat{z}$  تعریف می شود.

بنابراین نقشه تنا می توان نرمال شده گرادیان افقی نیز در نظر گرفت. این فیلتر منجر به تخمین مرز توده های مولد آنومالی میدان پتانسیل می شود. محدودیت استفاده از این فیلتر در مورد داده های مغناطیسی این است که ابتدا داده ها باید به قطب یا استوا منتقل شوند تا ماهیت دو قطبی داده ها حذف شود.

### ۳-۵-۳ گرادیان افقی کل نرمالیزه شده

استفاده از فیلترهای مشتق افقی در مواردی که توزیع آنومالی ها در سرتاسر نقشه یکسان نیست، به عبارت دیگر هنگامی که دامنه تغییرات شدت آنومالی های موجود در نقشه زیاد است، باعث حذف ناخواسته آنومالی های با شدت متوسط و یا پایین خواهد شد در این صورت می توان از گرادیان افقی کل نرمالیزه شده که با استفاده از رابطه (۲۳-۳) به دست می آید استفاده کرد. این فیلتر با  $TDX$  نمایش داده می شود [Cooper, 2006].

$$TDX = \tan^{-1} \left( \frac{\sqrt{\left(\frac{\partial g}{\partial x}\right)^2 + \left(\frac{\partial g}{\partial y}\right)^2}}{\left|\frac{\partial g}{\partial z}\right|} \right) \quad (23-3)$$

فیلتر  $TDX$ ، شکل نرمال شده مشتق افقی کل نسبت به مشتق قائم می باشد که در مقایسه با فیلتر زاویه تمایل جای صورت و مخرج کسر عوض شده است. حداقل اندازه گرادیان افقی مرزهای بی هنجاری را تمام جهات برجسته می کند.

### ۴-۳ تخمین عمق

مهم‌ترین خصوصیتی که در بسیاری از کارهای مهندسی و اکتشافی نقشی اساسی دارد، عمق ناهنجاری‌ها است، تا جایی که در بعضی از کاوش‌ها، عمق آنومالی تنها پارامتری است که در تفسیر مورد توجه قرار می‌گیرد. به همین دلیل، روش‌های بسیاری برای برآورد عمق آنومالی‌های میدان پتانسیل ارائه شده است. بیشتر این روش‌ها هم برای آنومالی‌های مغناطیسی و هم برای آنومالی‌های گرانی، قابل قبول هستند.

یکی از این روش‌ها که در تخمین عمق اجسام آنومال مورد استفاده زیادی قرار می‌گیرد، روش اویلر دیکانولوشن است که یک روش تفسیر خودکار و سریع برای بررسی داده‌های میدان پتانسیل است.

### ۴-۱ روش اویلر دیکانولوشن

اندازه‌گیری میادین گرانی و مغناطیسی زمین در اکتشاف ساختار زمین مفید است. چون بعضی سنگ‌ها در بر گیرنده‌ی کانی‌های مغناطیسی هستند و سنگ‌های چگال‌تر هم میدان قوی تری تولید می‌کنند. از اندازه‌گیری میادین نام برده در جستجوی طلا، نفت، الماس و بررسی ساختارهای زیر سطحی و شناسایی گسل‌ها استفاده‌ی فراوان می‌شود.

روش اویلر دیکانولوشن به اطلاعات اولیه درباره‌ی بردار مغناطیس شدگی و چگالی چشممه‌های گرانی، نیاز ندارد و مخصوص مدل‌های ویژه‌ی هم نیست؛ بنابراین در تفسیر داده‌های مغناطیسی و گرانی به کار می‌رود. استفاده از معادله‌ی اویلر برای تخمین عمق، ابتدا توسط هود<sup>۱</sup> (۱۹۶۳) معرفی شد و سپس به وسیله‌ی تامپسون<sup>۲</sup> (۱۹۸۲)، رید<sup>۳</sup> (۱۹۹۰) و دیگران توسعه یافت و اویلر دیکانولوشن نام گرفت [Hood, 1963; Thompson, 1982; Reid, 1990; Durrheim and Cooper, 1998 and 1998]. این روش یعنی به طبیعت و

<sup>1</sup> Hood

<sup>2</sup> Thompson

<sup>3</sup> Reid

هندسه‌ی چشممه‌ی سبب شونده، یعنی توده وابسته است. اساس این روش بر مبنای معادلات دیفرانسیل جزئی اویلر بنا شده و تنها برای معادلات همگن، معتبر است [FitzGerald et al, 2004]. تابع  $f(v)$  با متغیرهای  $(v_1, v_2, v_3, \dots)$  زمانی همگن از درجه‌ی  $n$  است، که در آن شرط زیر صادق باشد:

$$f(tV) = t^n f(V) \quad (24-3)$$

که در آن  $n$ ، یک عدد حقیقی است. اگر تابع  $f$  نسبت به  $V$  مشتق پذیر باشد، آنگاه می‌توان نوشت:

$$V \nabla_V f(V) = n f(V) \quad (25-3)$$

رابطه‌ی بالا معادله اویلر نامیده می‌شود و تابع  $f$  به صورت  $f(x, y, z)$  در نظر گرفته شود، می‌توان روابط (24-3) و (25-3) را بصورت زیر نوشت:

$$f(tx, ty, tz) = t^n f(x, y, z) \quad (26-3)$$

$$x \frac{\partial f}{\partial x} + y \frac{\partial f}{\partial y} + z \frac{\partial f}{\partial z} = n f \quad (27-3)$$

اثر گرانی یا مغناطیسی اشکال مختلف هندسی به صورت کلی زیر قابل بیان است:

$$f = \frac{a}{r^N} \quad (28-3)$$

از این رابطه، نتیجه گرفته می‌شود که میدین گرانی و مغناطیسی تابع همگنی از درجه‌ی  $(-N)$  هستند. با توجه به شرایط هندسی چشممه‌ی پتانسیل، می‌توان  $N$  را تغییر داد.

تامپسون نشان داد که می‌توان معادله‌ی اویلر را به صورت رابطه‌ی زیر نوشت [Thompson, 1982]

$$(x - x_0) \frac{\partial f}{\partial x} + (y - y_0) \frac{\partial f}{\partial y} + (z - z_0) \frac{\partial f}{\partial z} = N (B - f) \quad (29-3)$$

که در آن  $(x_0, y_0, z_0)$  موقعیت چشم‌های پتانسیل و  $(x, y, z)$ ، مختصات نقطه‌ای است که چشم‌های پتانسیل در آن باعث ایجاد ناهنجاری میدان کل  $f$  شده است. میدان کل را می‌توان به صورت مجموع یک میدان ناحیه‌ای (زمینه، سطح پایه‌ی ناهنجاری) و میدان مربوط به چشم‌های پتانسیل نشان داد [Durrheim, 1998]. میدان ناحیه‌ای در رابطه‌ی (۲۹-۳) با  $B$  نشان داده شده و به جمله‌ی متعادل کننده معروف است.

$$x_0 \frac{\partial f}{\partial x} + y_0 \frac{\partial f}{\partial y} + z_0 \frac{\partial f}{\partial z} + NB = x \frac{\partial f}{\partial x} + y \frac{\partial f}{\partial y} + z \frac{\partial f}{\partial z} + Nf \quad (30-3)$$

$$f(x) = A(x) + B(x) \quad (31-3)$$

مطابق روابط (۲۹-۳) و (۳۰-۳) می‌توان نوشت که هرگاه در معادلات، جمله‌ی میدان ناحیه‌ای وجود داشته باشد،  $f$  مربوط به میدان کل است. در حالی که وقتی میدان ناحیه‌ای، صفر باشد؛  $f$  مربوط به میدان تولید شده توسط چشم‌ه است.

پارامتر  $N$  که به طبیعت و هندسه‌ی چشم‌های پتانسیل وابسته است، شاخص ساختاری (SI) نامیده می‌شود. شاخص ساختاری، هندسه‌ی چشم، شکل، اندازه و موقعیت آن را در بر می‌گیرد. رید (۱۹۹۰) شاخص ساختاری را نرخ کاهش میدان پتانسیل نسبت به افزایش فاصله از چشم‌های سبب شونده، تعریف کرده است. تامپسون (۱۹۸۲)، نرخ کاهش را متناسب با  $\frac{1}{r^N}$  می‌داند که در آن  $r$ ، فاصله‌ی بین نقطه‌ی مرزی چشم‌ه و نقطه‌ی مشاهده است.

در معادله‌ی (۲۹-۲) موقعیت چشم‌ه  $(x_0, y_0, z_0)$  و مقدار میدان ناحیه‌ای  $(B)$  مجھول است. از آنجا که گرادیان‌های میدان کل (به خصوص در درجات بالا) اندازه‌گیری نمی‌شوند، آنها را به روش‌های مختلف عددی محاسبه می‌شوند. از این روش‌ها می‌توان به فرمول پنج نقطه‌ای مشتق لاغرانژ برای محاسبه‌ی گرادیان افقی و تبدیل هیلبرت برای محاسبه‌ی گرادیان قائم اشاره کرد [Cooper, 2006].

برای تعیین چهار مجھول  $B$  و  $x_0, y_0, z_0$  ابتدا یک پنجره با پهنه‌ای مناسب انتخاب می‌شود. پنجره-  
ی مذکور روی داده‌ای دو بعدی یا سه بعدی به حرکت در می‌آید و در هر پنجره، معادله‌ی اویلر با استفاده  
از داده‌های درون پنجره حل می‌شود. اگر فرض شود در هر پنجره،  $n$  داده وجود دارد، می‌توان رابطه‌ی (۳-۳۰)  
را در هر پنجره به صورت زیر نوشت:

$$\begin{bmatrix} \frac{\partial f}{\partial x_1} & \frac{\partial f}{\partial y_1} & \frac{\partial f}{\partial z_1} & N \\ \vdots & \vdots & \vdots & \vdots \\ \frac{\partial f}{\partial x_n} & \frac{\partial f}{\partial y_n} & \frac{\partial f}{\partial z_n} & N \end{bmatrix} \begin{bmatrix} x_0 \\ y_0 \\ z_0 \\ B \end{bmatrix} = \begin{bmatrix} x_1 \frac{\partial f}{\partial x_1} + y_1 \frac{\partial f}{\partial y_1} + z_1 \frac{\partial f}{\partial z_1} + Nf_1 \\ \vdots \\ x_n \frac{\partial f}{\partial x_n} + y_n \frac{\partial f}{\partial y_n} + z_n \frac{\partial f}{\partial z_n} + Nf_1 \end{bmatrix} \quad (32-3)$$

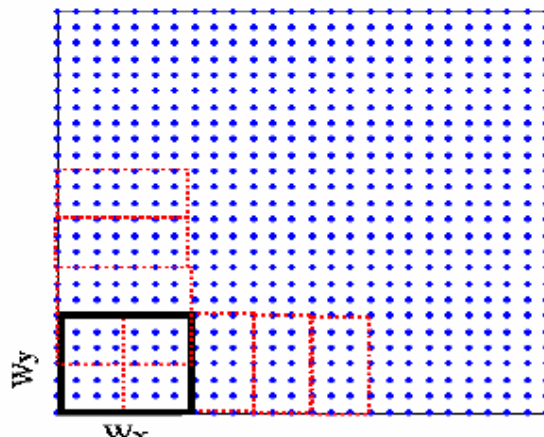
معادله‌ی ماتریسی بالا در هر پنجره به روش کمترین مربعات حل می‌شود و مقادیر مجھول به دست می-  
آیند. در واقع بدین ترتیب اویلر دیکانولوشن به صورت یک وارون‌سازی خطی، اجرا می‌شود.

#### ۱-۱-۴-۳ انتخاب ابعاد پنجره:

معادله‌ی اویلر با داشتن داده‌ها و گرادیان‌های میدان کل در سه نقطه، قابل حل است. اما به دلیل  
وجود نویز در داده‌های واقعی و امکان به وجود آمدن خطای زیاد در نتایج، این معادله را با استفاده از  
تعداد نقاط بیشتر حل می‌کنند [Durrheim, 1998].

ابعاد پنجره‌ی مورد استفاده، تاثیر مهمی روی نتایج حاصل از اویلر دیکانولوشن دارد. ابعاد پنجره، تابع  
عمق چشم‌ه است. ابعاد پنجره بزرگ‌تر از نصف گسترش ناهنجاری در نظر گرفته می‌شود [FitzGerald et al, 2004]. در حالتی که از شبکه استفاده می‌گردد، حداقل عمق، به وسیله‌ی ابعاد پنجره‌ای معادل با  
فاصله‌ی شبکه‌بندی و حداقل عمق، توسط ابعاد پنجره‌ای برابر با دو برابر فاصله‌ی شبکه‌بندی به دست  
می‌آید. معمولاً با استفاده از ابعاد پنجره‌ی بزرگ، امکان ورود نویز تصادفی به درون نتایج کاهش می‌یابد و  
خطای برآورد مشخصات چشم‌ه کم می‌شود. هم‌چنین پنجره‌ی بزرگ، احتمال کشف چشم‌های عمیق را  
بیشتر می‌کند؛ چون توده‌های عمیق، ناهنجاری‌های وسیع‌تری را ایجاد می‌کنند.

به دلیل اینکه ناهنجاری تولید شده توسط چشممههای گرانی، وسیع تر از ناهنجاری ایجاد شده به وسیله‌ی چشممههای مغناطیسی است، ابعاد پنجره‌ی مناسب برای کشف چشممههای گرانی عمیق، بزرگ‌تر از ابعاد پنجره‌ی مناسب برای چشممههای عمیق مغناطیسی می‌باشد. قابل ذکر است که برای داده‌های قدرت تفکیک بالا، نتایج بهتر با پنجره‌های کوچک‌تر به دست می‌آیند [FitzGerald et al, 2004].



شکل(۳-۳) : نحوه‌ی حرکت پنجره روی داده‌های شبکه [علمدار، ۱۳۸۸]. نقاط آبی بیانگر داده‌ها و جابجایی پنجره در هر بار به اندازه نصف طول و عرض آن ابعاد پنجره مورد استفاده تأثیر مهمی بر روی نتایج حاصله دارد. معمولاً گفته می‌شود که باید ابعاد بهینه پنجره مورد استفاده قرار گیرد.

اویلدیکانولوشن بر این فرض استوار است که در هر پنجره، تنها داده‌های مربوط به یک ناهنجاری وجود دارد. بنابراین هنگام استفاده از پنجره‌های بزرگ باید توجه داشت که داده‌های ناهنجاری‌های هم-جوار درون یک پنجره قرار نگیرند؛ چون در این صورت، نتایج به دست آمده، غیرقابل قبول خواهند بود. برخی پژوهشگران معتقدند که اندازه‌ی پنجره، باید بیشتر از عمق مورد بررسی و هم‌چنین در پنجره مورد نظر باید تعداد کافی از نقاط مشاهده‌ای قرار گیرد [Stavrev, 1997]. معمولاً اندازه‌ی پنجره به صورت تجربی و با توجه به کیفیت نتایج، انتخاب می‌شود. هنگام بررسی چشممههای کم‌عمق نیز باید دقیق کرد که ابعاد پنجره، به حدی کم نباشد که مقدار داده‌ها و گرادیان میدان کل محاط در پنجره، تغییرات محسوسی نداشته باشد.

### ۲-۱-۴-۳ انتخاب شاخص ساختاری

هنگام استفاده از روش اویلر دیکانولوشن، اساسی‌ترین عامل، انتخاب شاخص ساختاری مناسب است. همان‌طور که قبلاً ذکر شد، شاخص ساختاری به طبیعت و هندسه‌ی چشممه‌ی تولیدکننده‌ی ناهنجاری وابسته است. بنابراین یکی از مشکلات غیرقابل اغماض روش مذکور، نیاز به اطلاعات قبلی درباره‌ی طبیعت و شکل توده‌ی سبب‌شونده‌ی ناهنجاری است. جدول زیر شاخص ساختاری بعضی از مدل‌های ساده زمین‌شناسی را نشان می‌دهد.

جدول (۳-۱): تعیین شاخص ساختاری معادله اویلر برای مدل‌های ساده [Reid et al, 1990]

کره	لوله	(Ribbon) نواری	سیل/دایک/کنتاکت	مدل گرانی
۲	۱	۰/۵۰	۰	شاخص ساختاری

با توجه به اهمیت نحوه‌ی محاسبه‌ی شاخص ساختاری برای ساختارهای زمین‌شناسی مختلف در ادامه به یک مورد از ساختارهای پیچیده اشاره می‌گردد [Reid et al, 1990] که بر اساس روابط فیزیکی حاکم بر میدان گرانی به دست آمده است. هم‌چنین روش محاسبه و روابط ریاضی شاخص ساختاری یک دایک نازک و یک کنتاکت شیبدار در پیوست [ب] ارائه شده است.

### ۳-۱-۴-۳ ناهنجاری گرانی یک پله‌ی متناهی (محدود)

ناهنجاری گرانی یک پله‌ی محدود مانند یک گسل شکل (۳-۳) به صورت زیر است:

$$g(x, z) = 2G\rho[\varphi_0(z - t) - \varphi_u(z - T) + (x - x_0) \ln\left(\frac{R_u}{R_0}\right)] \quad (33-3)$$

در اینجا  $G$  ثابت جهانی گرانی،  $\rho$  اختلاف چگالی،  $x_0$  مختصات افقی نقطه‌ی وسط پله،  $t(T)$  عمق

بالای (پایین) ساختار پله‌ای است و پارامترهای دیگر در معادله فوق به صورت زیر تعریف می‌شوند:

$$\varphi_0 = (\varphi_u) = \frac{\pi}{2} + \arctan \left\{ \frac{x - x_0}{[t(\zeta T) - Z]} \right\} \quad (34-3)$$

$$R_0 = \{(x - x_0)^2 + (z - t)^2\}^{1/2}$$

$$R_u = \{(x - x_0)^2 + (z - T)^2\}^{1/2}$$

$$\frac{\partial g}{\partial x} = 2G \ln\left(\frac{R_u}{R_0}\right)$$

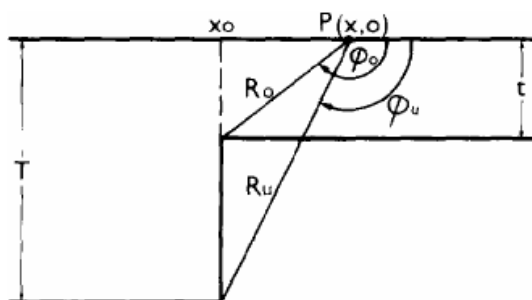
$$\frac{\partial g}{\partial z} = 2G\rho(\varphi - \varphi_0)$$

می باشد. با جایگذاری این مشتقات، در معادله اول نتیجه زیر را در بر خواهد داشت:

$$(x - x_0) \frac{\partial g}{\partial x} + (z - z_0) \frac{\partial g}{\partial z} = 2G\rho[(z - z_0)(\varphi - \varphi_0) + (x - x_0)\ln\left(\frac{R_u}{R_0}\right)] \quad (35-3)$$

با این رابطه می توان مقدار  $g(x, z)$  را تقریب زد، به شرط آن عمق پله، بزرگتر از ضخامت آن باشد.

بدین ترتیب شاخص ساختاری برای چنین شکل گسلی یک برآورد می شود.



شکل (۳-۳): یک پلهی متناهی شبیه دار [Reid et al, 1990]

### ۳-۵ مدل سازی

روش های موفق و متداول تعبیر و تفسیر داده های گرانی و مغناطیس، نیاز به تکنیک های مدل سازی دارند. مدل سازی به فرآیند شبیه سازی آنومالی مشاهده ای با یک آنومالی محاسبه ای به وسیله روش های عددی و تحلیلی از یک مدل فرضی در زیر زمین و تقریب مشخصات آن از آنومالی گفته می شود [Hinze, 1990]. بنابراین مدل سازی داده ها یک گام مهمی در تفسیر کمی آنها است، چرا که فرآیند مدل سازی به طور قابل ملاحظه ای میزان اطلاعاتی را که از داده ها قابل استخراج است افزایش می دهد. به عبارت دیگر مدل سازی به منظور محاسبه پارامترهای فیزیکی و هندسی منابع زمین شناسی آنومالی ها انجام می گیرد [Sprenke, 1991]. مدل سازی داده های گرانی و مغناطیس بسته به هدف مورد نظر، به صورت دو و سه بعدی بایستی انجام شود. وقتی که نمایش ساختمان های زمین شناسی توسط یک سری توده های دو بعدی که در یک جهت گسترش دارند معقول باشد، از سیستم محاسبات دو بعدی استفاده می شود. اگر نتوان تغییرات فیزیکی توده ای که مدل سازی می شود را در یک جهت یکنواخت در نظر گرفت و یا آن که ساختارش به قدری پیچیده باشد که توسط توده های با شکل هندسی ساده تخمین زده نشود، ضروری است که محاسبات سه بعدی انجام شود. اما صرفه نظر از سیستم های محاسباتی دو و یا سه بعدی، به طور کلی مدل سازی به دو روش پیشرو و معکوس (وارون) انجام می شود.

### ۳-۵-۱ مدل سازی پیشرو

مدل سازی پیشرو شامل محاسبه یک آنومالی از یک مدل فرضی با تکرار محاسبات بر پایه تغییر پارامترهای مدل می باشد تا زمانی که انطباق رضایت بخشی بین آنومالی محاسبه شده و آنومالی مشاهده

به دست آید. انطباق مناسب بین آنومالی ها به معیار قضاوت مفسر، مقدار کنترل های ژئوفیزیکی و زمین-شناسی، هدف و مدل فرضی بستگی دارد این نوع مدل سازی می تواند به طور دستی یا به وسیله روش های نیمه اتوماتیک انجام شود. امروزه قدرت محاسبات سریع آنومالی ها به وسیله کامپیوتر، استفاده از روش های قدیمی را کاملاً منتفی کرده است. به طور خلاصه در مدل سازی پیش رو از مدل ارائه شده، داده های ژئوفیزیکی حاصل می شوند یا در محاسبات کامپیوتری با تغییر پارامترهای هندسی مدل فرضی، آنومالی تعیین می شود.

### ۳-۵-۲ مدل سازی معکوس

مدل سازی معکوس شامل تفسیر میدان آنومالی مشاهده ای به وسیله فرض یک مدل ریاضی برای منبع آنومالی به همراه پارامترهای مربوط به تغییر داده های آنومالی می باشد. در واقع در مدل سازی وارون یا معکوس، هدف این است که با استفاده از داده های گرانی که پاسخ مدل هستند به خود مدل برسیم. [ابراهیم زاده اردستانی، ۱۳۹۰]. به عبارت دیگر در این روش، مدل اولیه تخمین زده می شود و تعدیل های بعدی بر مدل بر پایه برقراری معیارهایی انجام می شود و تا زمانی که داده های محاسبه ای بر داده های مشاهده ای با دقت بالایی نزدیک شود، ادامه می یابد [Hinze, 1990]. به طور خلاصه می توان گفت که در این روش از داده های مشاهده ای به مدل می رسیم و در محاسبات کامپیوتری خروجی برنامه، پارامترهای هندسی مدل هستند. در مجموع مدل سازی معکوس مسیر زیر را دنبال می کند [آگاه، ۱۳۸۳]:

۱. انتخاب یک نوع مدل هندسی و تخمین پارامترها بر اساس داده های مشاهده ای.
۲. محاسبه آنومالی تئوری برای مدل به وسیله مدل سازی پیش رو.
۳. به دست آوردن کیفیت تطابق آنومالی های مشاهده شده و محاسبه شده با استفاده از روش های ریاضی
۴. بررسی اثر تغییرات پارامترهای مدل روی کیفیت تطابق

۵. برآورد افزایش و پیشرفت در تمام پارامترهای مدل شده برای اصلاح مدل به طریقی که مؤثرترین همگرایی بین آنومالی های مشاهده شده و محاسبه شده در تکرار بعدی حاصل شود.
۶. با مدل اصلاح شده به مرحله ۲ بروید.
۷. هنگامی که تغییرات در پارامترهای مدل، دیگر انطباق را اصلاح نمی کند در مرحله ۴ متوقف شوید.

## فصل چهارم

# مدل‌سازی و تعیین پارامترهای گسل

**۱-۴ مقدمه**

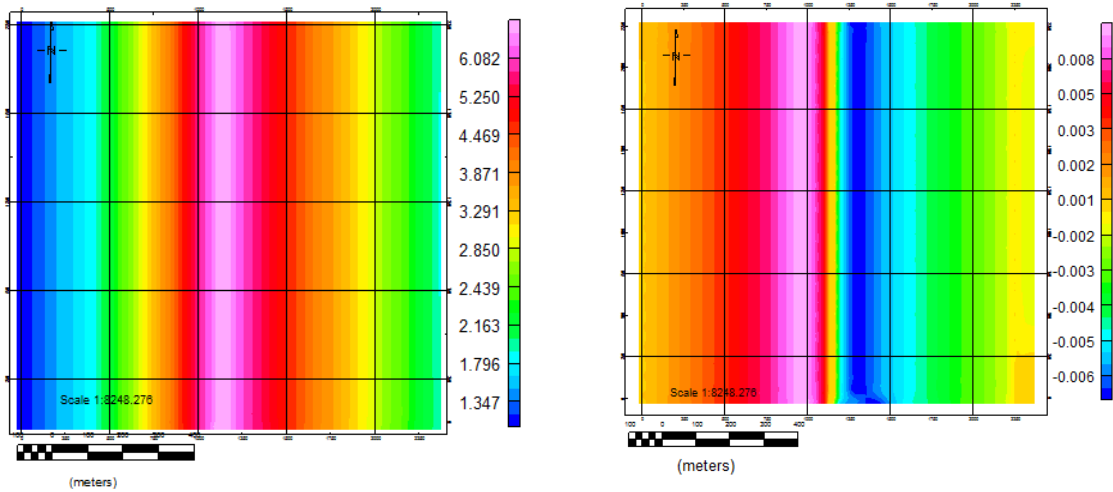
به منظور بررسی و مقایسه نتایج به دست آمده از فیلترهای معرفی شده در فصل پیشین برای تفکیک جانبی چشممه‌های بی‌亨جار ابتدا لازم است که این فیلترها بر روی داده‌های حاصل از مدل‌های مصنوعی اعمال شوند. برخلاف چشممه‌های بی‌亨جار واقعی، در مدل‌های مصنوعی ماهیت و موقعیت چشممه‌ها کاملاً مشخص است. بنابراین با اعمال فیلترهای مختلف بر روی این مدل‌ها می‌توان به مزایا و معایب فیلتر اعمال شده پی‌برد. در این فصل مدل‌های مصنوعی طراحی شده است که پس از محاسبه اثرات گرانی ناشی از آن‌ها، فیلترهای مختلف بر روی این داده‌ها اعمال شده‌اند. پس از آنکه مرز مدل با فیلترهای مناسب مشخص شد، با استفاده از روش اویلر عمق آن نیز تخمین زده می‌شود.

**۲-۴ امتداد گسل**

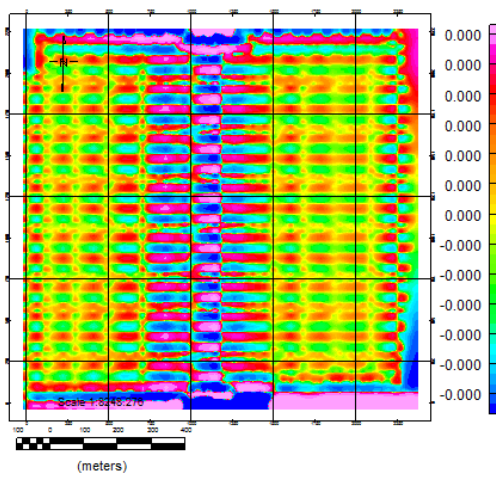
در این بخش ابتدا دو مدل گسل شیبدار (مدل ۱ و مدل ۲) در امتداد شمال – جنوب و در عمق‌های مختلف برای آزمون قدرت تفکیک افقی روش‌های شناسایی مرزهای چشممه‌های بی‌亨جار طراحی شده است. بعد از محاسبه‌ی پاسخ گرانی مدل، فیلترهای مختلف بر روی آن اعمال شده و نتایج به دست آمده با هم مقایسه شدند.

جدول (۱-۴): پارامترهای مدل گسل شیبدار

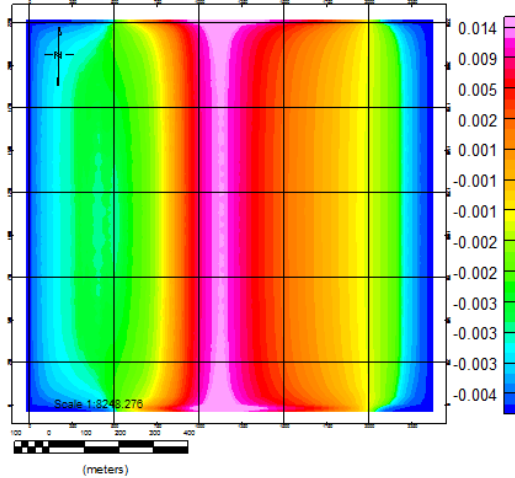
عمق(متر)	امتداد گسل	جهت شیب	شیب درجه	اختلاف چگالی (kg/m <sup>3</sup> )	مدل
۱۰۰	شمالي - جنوبي	در جهت غرب	۶۰	۱۰۰۰	مدل ۱
۱۰۰۰	شمالي - جنوبي	در جهت غرب	۶۰	۱۰۰۰	مدل ۲



الف- ناهنجاری گرانی ناشی از یک گسل با شیب  $60^\circ$  درجه در عمق ۱۰۰ متری (مدل ۱)



ج- مشتق افقی در جهت y

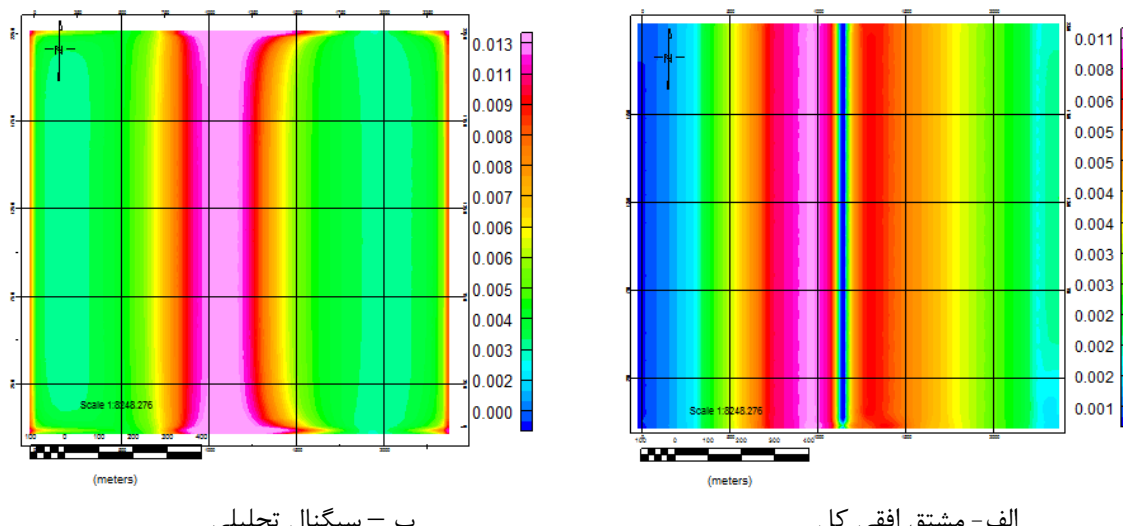


د- مشتق قائم در جهت Z

شکل (۴-۱): نتایج فیلترهای مشتق بر روی مدل (۱)

همان‌طور که در فصل سوم توضیح داده شد، اندازه مشتق افقی در بالای لبه‌های توده زیر سطحی بیشینه است. لذا این فیلتر نیز می‌تواند به عنوان وسیله‌ای جهت تخمین مرز به کاربرده شود. فیلتر مشتق قائم نیز مرزها و آنومالی‌ها را برجسته‌تر نشان می‌دهد. شکل (۴-۱) الف، پاسخ گرانی مدل (۱) است. با توجه به نتایج بدست آمده در شکل (۴-۱)، فیلترهای مشق افقی در جهت x و مشتق قائم در جهت Z با

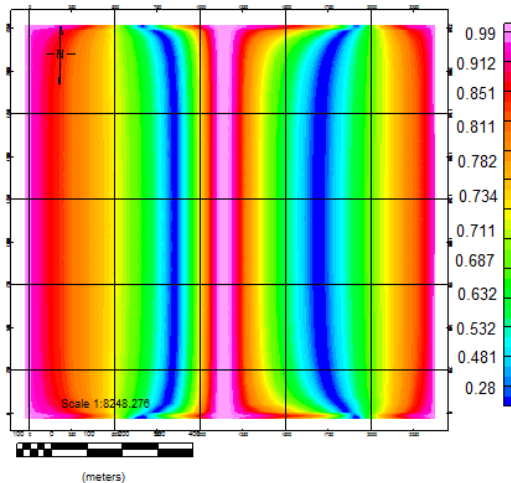
دقت خوبی امتداد گسل را مشخص می‌کنند، اما مشتق افقی در جهت  $\text{y}$  با نویز شدیدی همراه است.



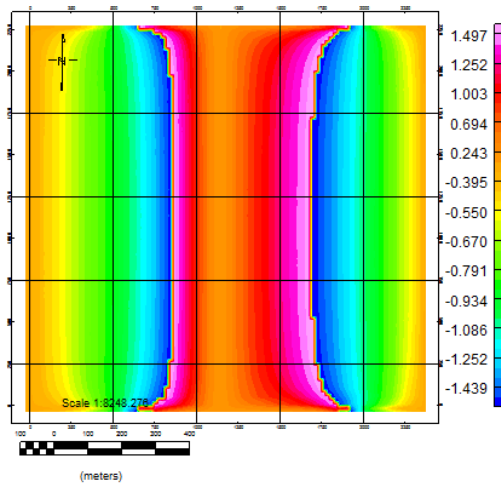
شکل (۲-۴): نتایج فیلترهای مختلف بر روی مدل (۱)

نتایج حاصل از اعمال فیلترهای مشتق افقی کل و سیگنال تحلیلی بر روی مدل (۱) در شکل (۲-۴) آورده شده است. همان‌طور که در فصل سوم توضیح داده شد مقدار ماقریزم سیگنال تحلیلی و مشتق افقی کل، بر روی لبه‌های توده قرار می‌گیرد. با توجه به نتایج این دو فیلتر بر روی مدل، شکل (۲-۴) الف و ب، این دو فیلتر نیز با دقیقیت خوبی مرز گسل را مشخص کرده‌اند. نکته قابل توجه در مورد نتایج حاصل از اعمال فیلترهای مشتق و سیگنال تحلیلی بر روی مدل (۱)، این است که هرچند این فیلترها مرز گسل را با دقیقیت خوبی مشخص کرده‌اند، اما هیچ کدام از این فیلترها جهت شیب گسل را مشخص نمی‌کنند.

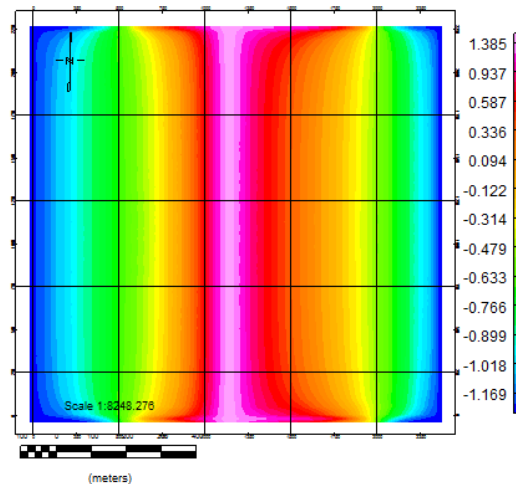
نتایج حاصل از اعمال فیلترهای فاز محلی بر روی مدل (۱) در شکل (۳-۴) آورده شده است.



ب - نقشه تنا



الف - گرادیان افقی کل نرمالیزه شده



پ - مشتق افقی کل زاویه تمایل

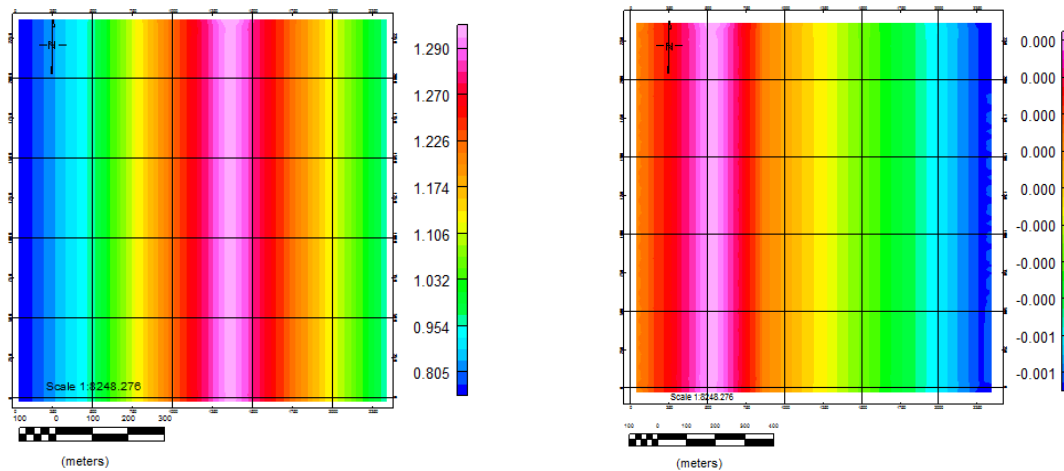
شکل (۴-۳): نتایج فیلترهای فاز محلی بر روی مدل (۱)

با توجه به نتایج این فیلترها، نیز مرز گسل با دقت خوبی مشخص شده است، اما این فیلترها نیز را مانند فیلترهای مشتقات و سیگنال تحلیلی، جهت شبیه را مشخص نمی‌کنند.

برای بررسی تأثیر عمق بر روی نتایج حاصل از این فیلترها، همه‌ی فیلترهای گفته شده بر روی مدل (۲)، یعنی گسل در عمق ۱۰۰۰ متری، نیز اعمال شدند.

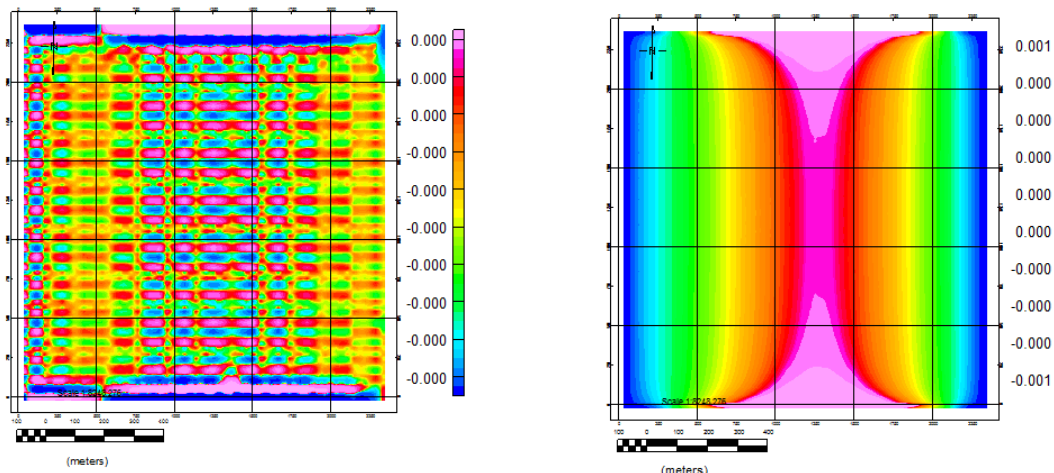
نتایج حاصل از اعمال فیلترهای مشتق و سیگنال تحلیلی بر روی مدل (۲) در شکل‌های (۴-۴) و (۴-

(۵) آورده شده است.



الف- آنومالی گرانی ناشی از یک گسل با شیب  $60^{\circ}$  درجه در عمق ۱۰۰۰ متری (مدل ۲)

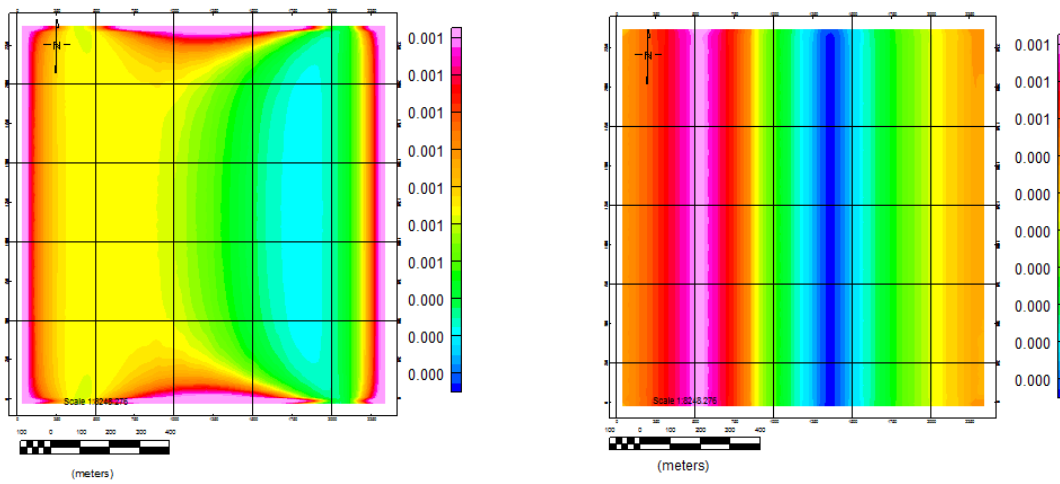
ب- مشتق افقی در جهت X



ج- مشتق افقی در جهت y

د- مشتق قائم در جهت Z

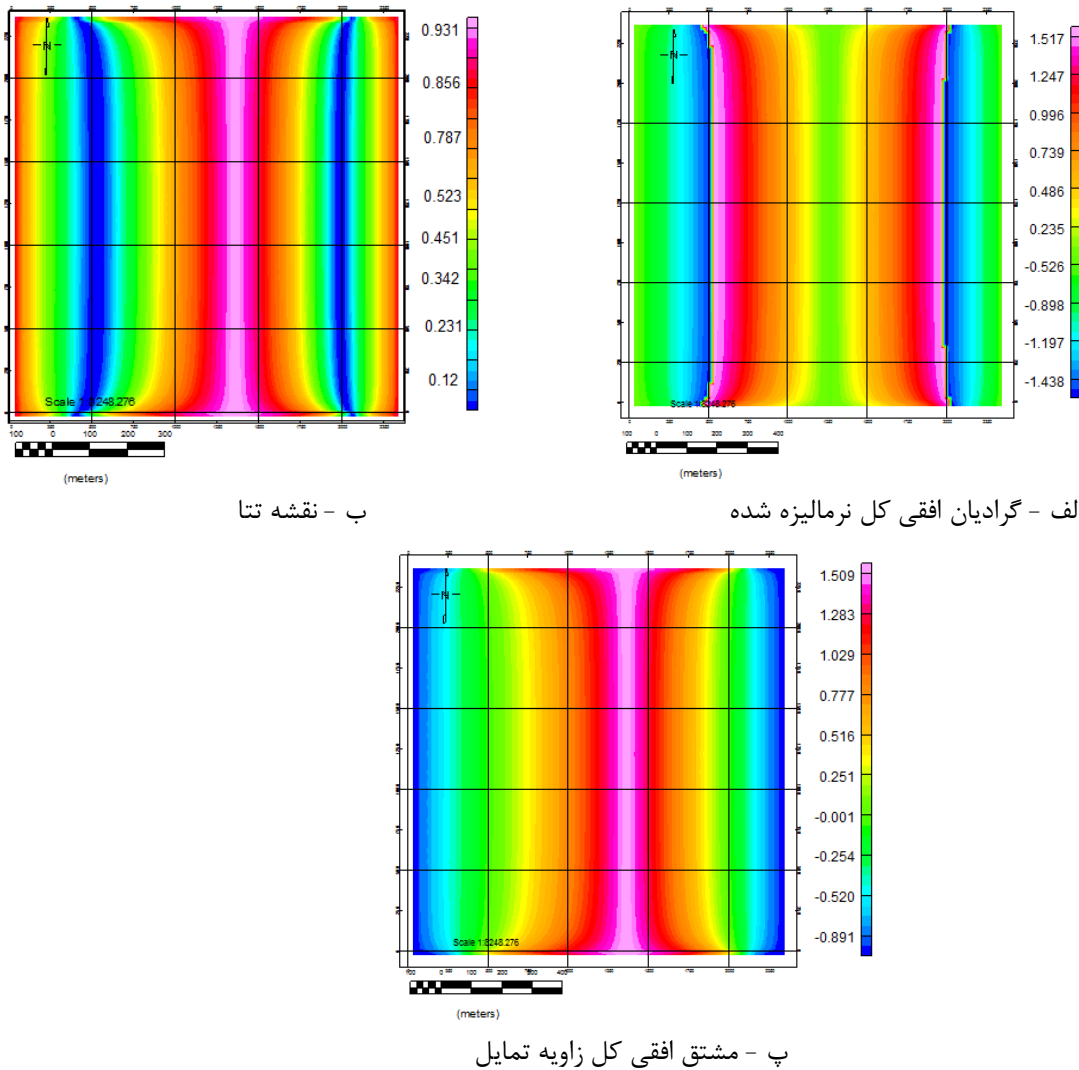
شکل (۴-۴): نتایج فیلترهای مشتق بر روی مدل (۲)



شکل (۴-۵): نتایج فیلترهای مختلف بر روی مدل (۲)

از مقایسه این نتایج با نتایج حاصل از مدل (۱)، که در شکل‌های (۱-۴) و (۴-۲) آورده شده است، می‌توان گفت که هرچه عمق آنومالی افزایش یابد، از قدرت تفکیک فیلترهای مشتق و سیگنال تحلیلی کاسته می‌شود. بنابراین برای حل این مشکل در ادامه از فیلترهای فاز محلی استفاده شد. همان‌طور که گفته شد، فیلترهای فاز محلی شامل توابعی بر حسب گرادیان قائم و افقی میدان پتانسیل هستند که دارای انعطاف‌پذیری خوبی هستند و نقش موثری در تفسیر داده‌های میدان پتانسیل دارند، بدین معنی که با تغییری جزئی در فرمول مربوط به یک فیلتر و در واقع نرمالیزه کردن آنها می‌توان فیلترهای جدیدی حتی با کارایی بیشتری تولید کرد.

با توجه به نتایج فیلترهای فاز محلی بر روی مدل (۲) شکل (۴-۶)، مشتق افقی کل زاویه‌ی تمايل و نقشه‌ی تتا، مرز مدل را به خوبی مشخص کرده‌اند. بنابراین این دو فیلتر نسبت به عمق منبع حساسیت کمتری دارند و منابع عمیق و کم عمق را به طور یکسان تفکیک می‌کند.



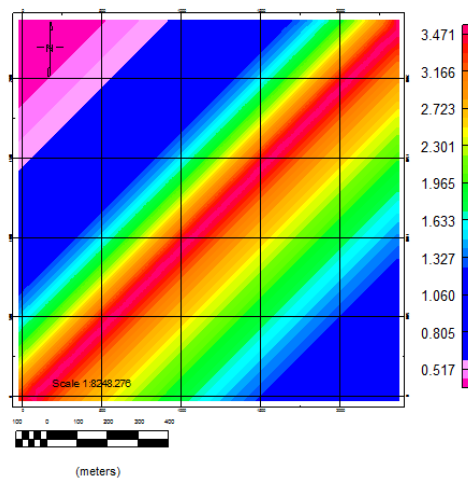
شکل (۴-۶): نتایج فیلترهای فاز محلی بر روی مدل (۲)

مدل (۱)، مدل گسلی است که با استفاده از فیلترهای مختلف بررسی شد و امتداد آن شمالی – جنوبی در نظر گرفته شد. با توجه به اطلاعات زمین‌شناسی منطقه، امتداد گسل مورد مطالعه شمال‌شرقی – جنوب‌غربی است و هم‌چنین با توجه به آن که اساس فیلترهای فاز محلی، مشتقهای میدان پتانسیل می‌باشد و مشتقهای افقی در صورتی که عمود بر جهت آنومالی‌ها باشند، جواب بهتری نتیجه می‌دهند، بنابراین

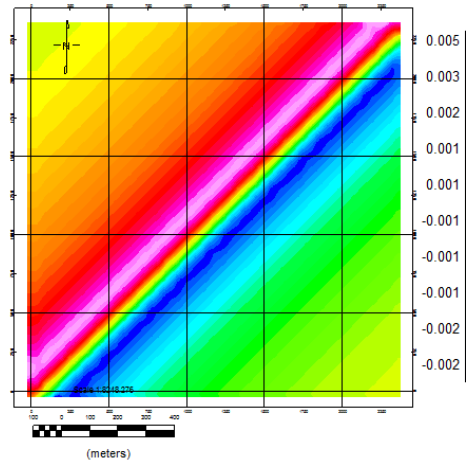
چون که جهت مدل‌های مصنوعی که فیلترهای مختلف بر روی آنها اعمال شد، شمالی-جنوبی است، به همین دلیل مشتق افقي در جهت  $u$  با نویز زیادی همراه است که سبب خطا در محاسبه نتایج بعدی می‌شود، لذا فیلترهای مختلف را بر روی مدل‌های مصنوعی (۳) و (۴) در امتداد شمال‌شرقی-جنوب‌غربی در شکل‌های (۴) و (۵) نیز محاسبه شد. در جدول (۲-۴) پارامترهای مورد نیاز برای طراحی مدل‌های (۳) و (۴) آورده شده است.

جدول (۲-۴): پارامترهای مدل گسل شیب‌دار

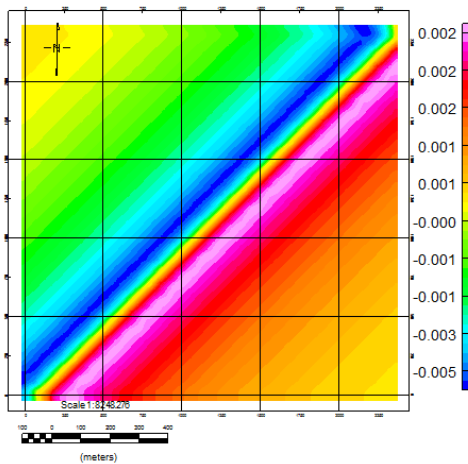
عمق (متر)	امتداد گسل	جهت شیب	شیب (درجه)	اختلاف چگالی (kg/m <sup>3</sup> )	مدل
۱۰۰	شمال‌شرقی-جنوب-غربی	جنوب شرقی	۶۰	۱۰۰۰	مدل ۳
۱۰۰۰	شمال‌شرقی-جنوب-غربی	جنوب شرقی	۶۰	۱۰۰۰	مدل ۴



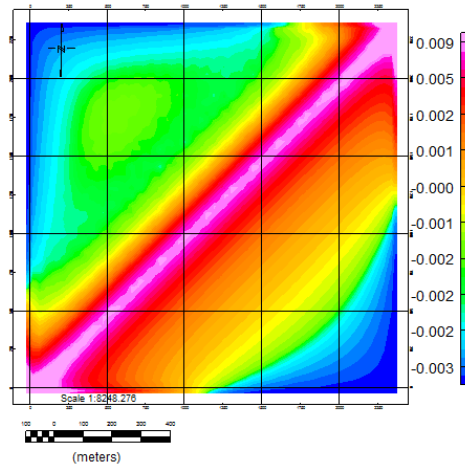
الف- آنومالی گرانی ناشی از یک گسل با شیب ۶۰ درجه در عمق ۱۰۰ متری (مدل ۳)



ب- مشتق افقی در جهت X



ج- مشتق افقی در جهت y

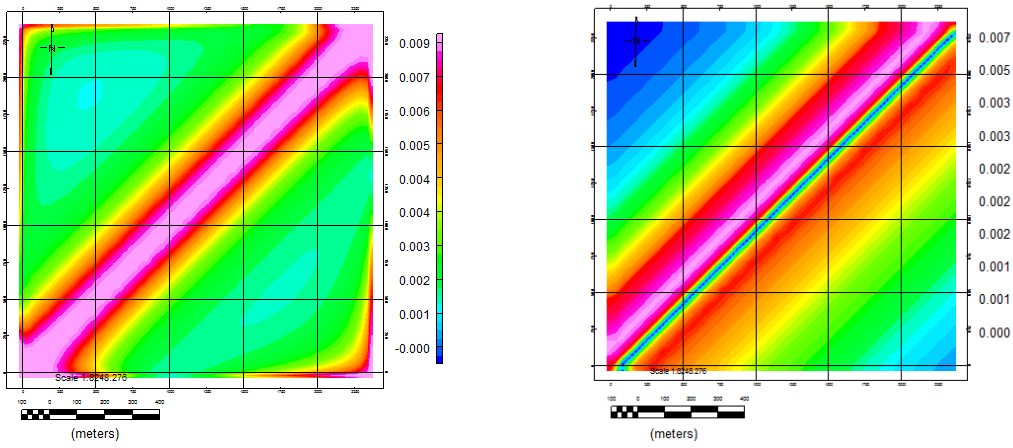


د- مشتق قائم در جهت Z

شکل (۷-۴): نتایج فیلترهای مشتق بر روی مدل (۳)

نتایج فیلترهای مشتق بر روی مدل (۳) در شکل (۷-۴) آورده شده است. فیلترهای مشتق افقی و

قائم به خوبی مرز گسل را مشخص کرده‌اند. همان‌طور که گفته شد، فیلتر مشتق افقی در جهت y، برای مدل‌های (۱) و (۲) با نویز زیادی همراه است. در صورتی که برای مدل (۳)، این فیلتر با دقت خوبی مرز مدل را مشخص کرده است.



ب - سیگنال تحلیلی

الف - مشتق افقی کل

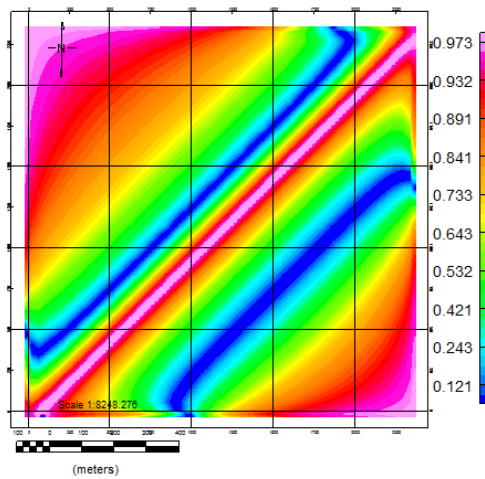
شکل (۸-۴): نتایج فیلترهای مختلف بر روی مدل (۳)

نتایج حاصل از اعمال فیلترهای مشتق افقی کل و سیگنال تحلیلی بر روی مدل (۳) در شکل (۸-۴) آورده شده است. مقدار ماکریم سیگنال تحلیلی و مشتق افقی کل، بر روی لبه‌های توده قرار می‌گیرد. با توجه به نتایج این دو فیلتر بر روی مدل، شکل (۸-۴) الف و ب، این دو فیلتر نیز با دقت خوبی مرز گسل را مشخص کرده‌اند.

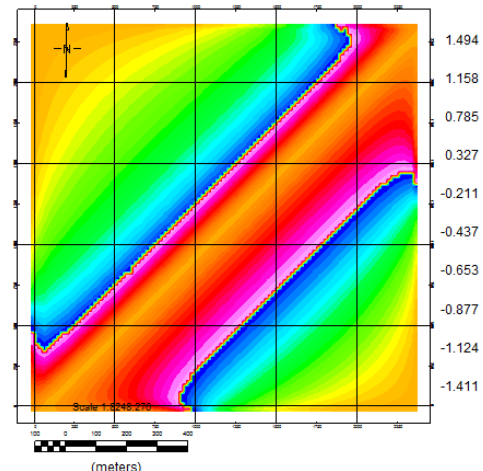
نکته قابل توجه در مورد نتایج حاصل از فیلترهای مشتقات و سیگنال تحلیلی بر روی مدل (۳)، این است که هرچند این فیلترها مرز گسل را با دقت بالایی مشخص کرده‌اند، اما هیچ‌یک از آن‌ها، اطلاعاتی در مورد جهت شیب گسل به دست نمی‌دهند. در ادامه برای بررسی بهتر مدل ۳، مانند مدل‌های (۱) و (۲) از فیلترهای فاز محلی نیز استفاده شد.

نتایج حاصل از اعمال فیلترهای فاز محلی بر روی مدل (۳) در شکل (۹-۴) آورده شده است. با توجه به نتایج این فیلترها، نیز مرز گسل با دقت خوبی مشخص شده است، اما این فیلترها نیز مانند فیلترهای مشتقات و سیگنال تحلیلی، جهت شیب را مشخص نمی‌کنند. در بین این فیلترها، فیلترهای مشتق افقی

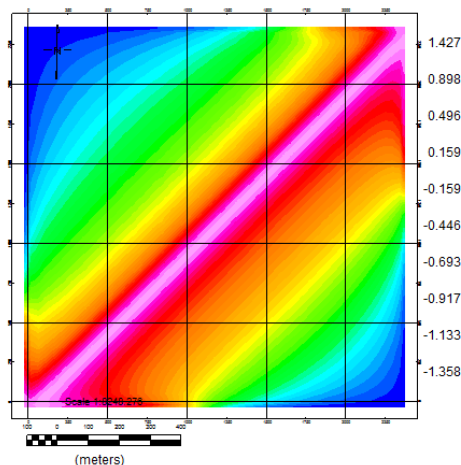
کل زاویه‌ی تمایل و نقشه‌ی تتا با دقت بهتری مرز مدل را مشخص می‌کنند.



ب - نقشه تتا



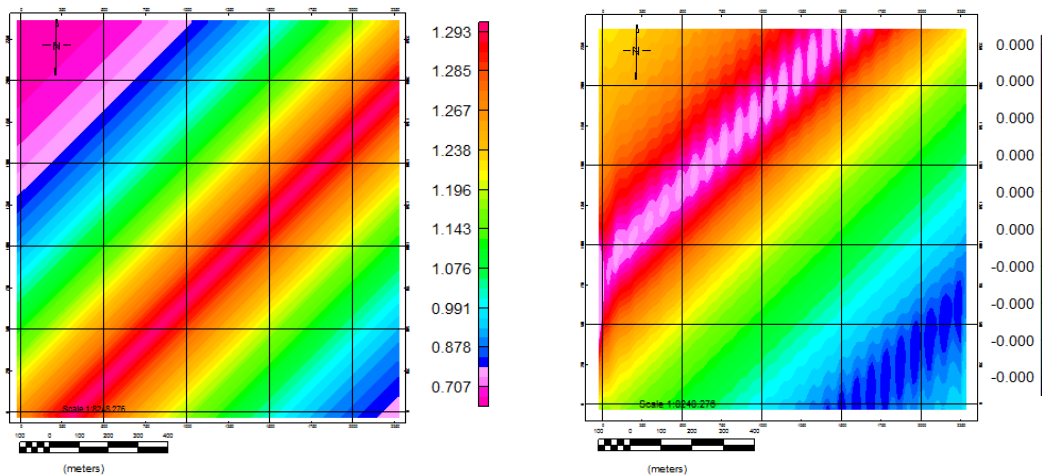
الف - گرادیان افقی کل ترمالیزه شده



پ - مشتق افقی کل زاویه تمایل

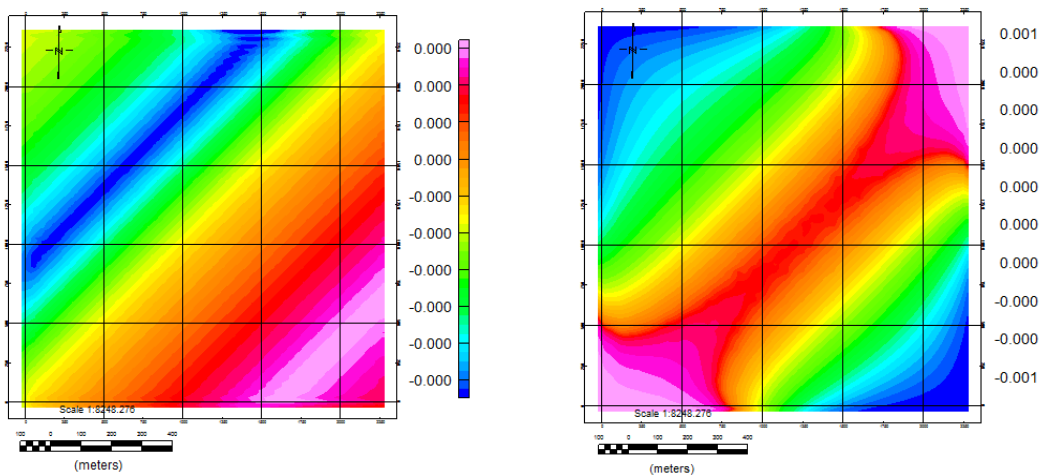
شکل(۴-۹): نتایج فیلترهای فاز محلی بر روی مدل (۳)

برای بررسی تأثیر عمق بر روی نتایج حاصل از اعمال فیلترهای مختلف، مدل (۴) در عمق ۱۰۰۰ متری طراحی شد. پارامترهای مورد نیاز برای طراحی این مدل در جدول(۲-۴) آورده شده است.



الف- آنومالی گرانی ناشی از یک گسل با شیب ۶۰ درجه  
در عمق ۱۰۰۰ متری (مدل ۴)

ب- مشتق افقی در جهت X

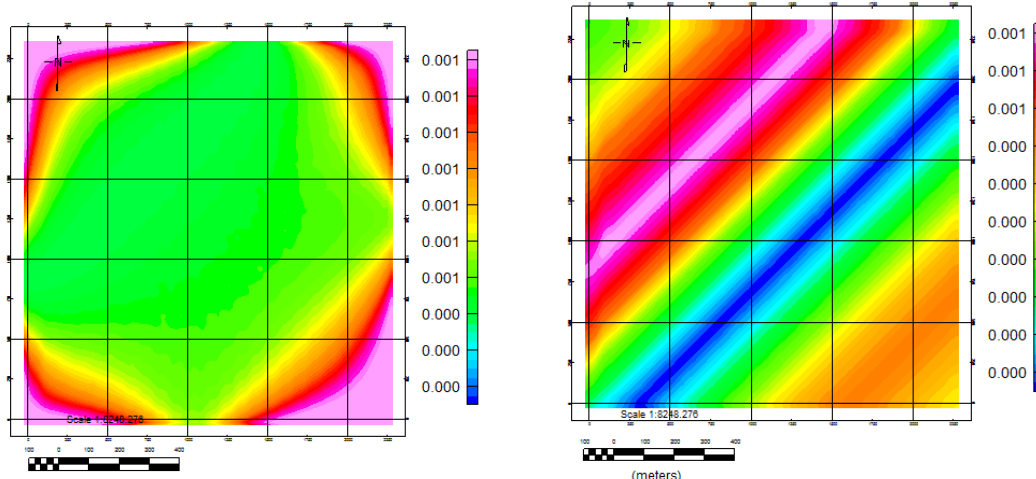


شکل (۱۰-۴): نتایج فیلترهای مشتق بر روی مدل (۴)

نتایج فیلترهای مشتق بر روی مدل (۴) در شکل (۱۰-۴) آورده شده است. همان‌طور که در این نتایج

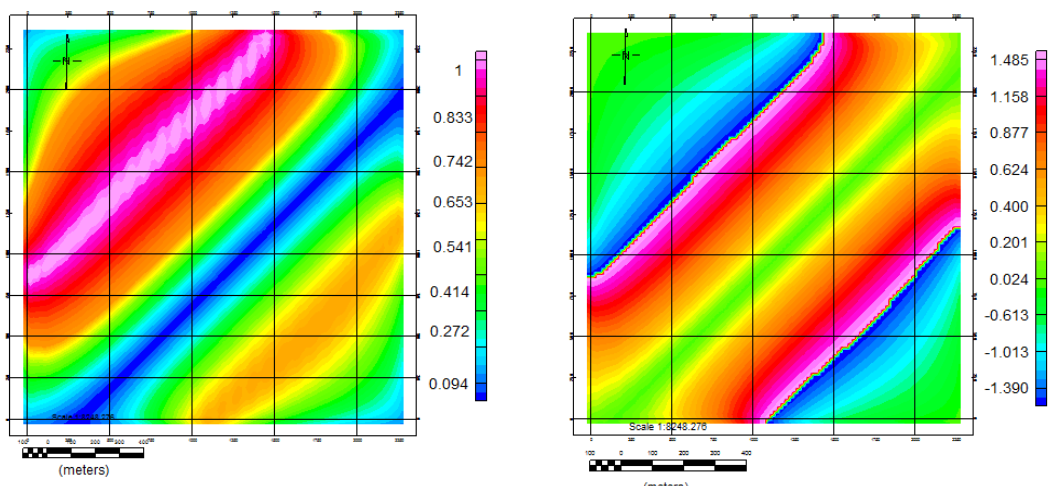
مشاهده می‌شود در عمق‌های بالا قدرت تفکیک‌پذیری فیلترهای مشتق کم شده است و هیچ یک از این فیلترها مرز مدل را با دقت خوبی مشخص نمی‌کند. بنابراین برای بررسی بهتر مدل از فیلترهای دیگر نیز استفاده شد.

نتایج حاصل از فیلترهای مشتق افقی کل، سیگنال تحلیلی، گرادیان افقی کل نرمالیز شده و نقشه‌ی ترا بر روی مدل (۴)، در شکل (۱۱-۴) آورده شده است. همان‌طور که در نتایج به دست آمده مشخص است، هیچ یک از این فیلترها مرز گسل را مشخص نمی‌کنند و در واقع این فیلترها در عمق‌های بالا کارایی خود را از دست می‌دهند.



ب - سیگنال تحلیلی

الف - مشتق افقی کل

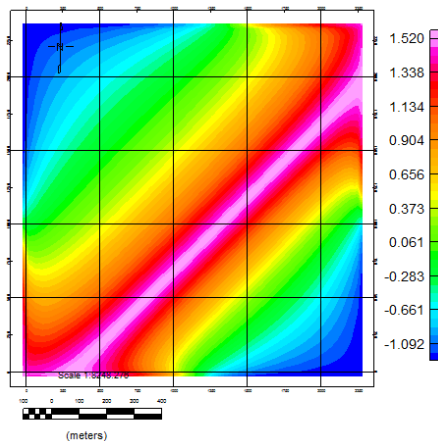


ت - نقشه ترا

پ - گرادیان افقی کل نرمالیزه شده

شکل (۱۱-۴): نتایج فیلترهای مختلف بر روی مدل (۴)

نتیجه‌ی حاصل از اعمال فیلتر مشتق افقی کل زاویه تمایل بر روی مدل(۱۲-۴)، در شکل (۱۲-۴) آورده شده است. این فیلتر به خوبی مرز گسل را مشخص کرده است. بنابراین این فیلتر نسبت به عمق منبع غیرحساس می‌باشد و منابع عمیق و کم عمق را به طور یکسان تفکیک می‌کند.



شکل (۱۲-۴): مشتق افقی کل زاویه تمایل

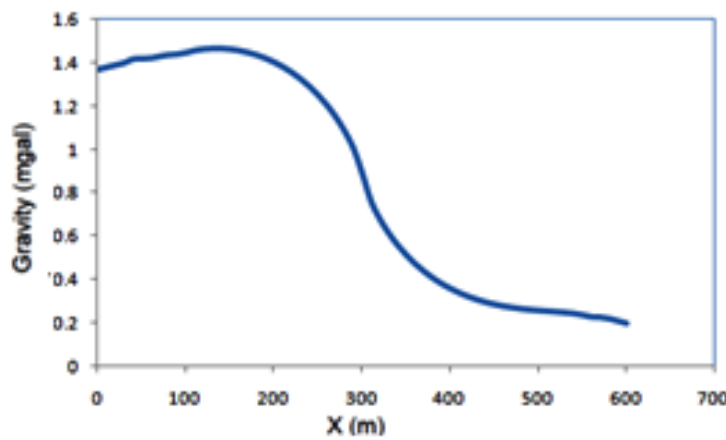
به‌طور کلی نتیجه‌ای که از اعمال فیلترهای مختلف بر روی مدل‌های مصنوعی به‌دست آمد، این است که این فیلترها مرز مدل را با دقت خوبی مشخص می‌کنند اما هیچ‌یک از این فیلترها جهت شیب گسل را مشخص نمی‌کنند.

### ۳-۴ بررسی شیب گسل

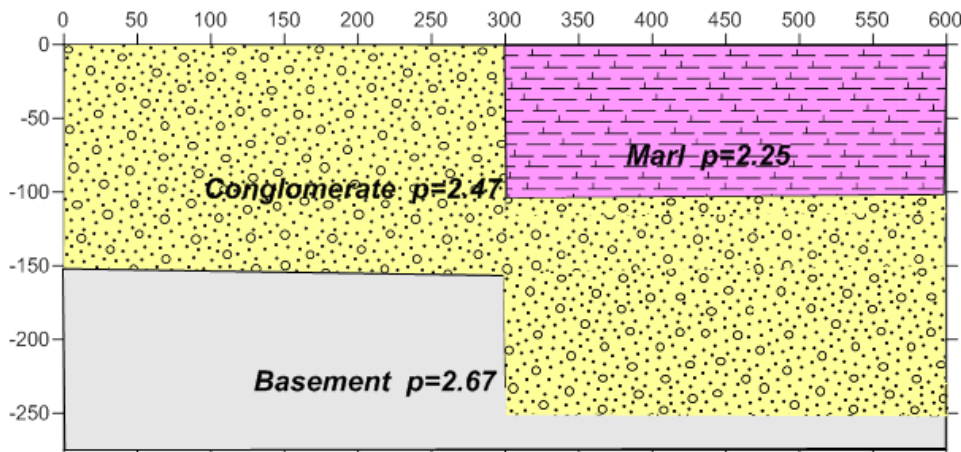
به منظور بررسی تأثیر شیب مدل‌های مصنوعی، در این بخش یک مدل گسل قائم و سه مدل شیبدار شکل‌های (۱۶-۴)، (۱۸-۴)، (۲۰-۴)، (۱۴-۴)، (۱۶-۴)، (۱۸-۴)، (۲۰-۴)، طراحی و با یکدیگر مقایسه شده‌اند. برای محاسبه‌ی اثر گرانی این مدل‌ها، از نرم‌افزار GRAV2DC استفاده شد. در جداول (۳-۴)، (۴-۴)، (۵-۴) و (۶-۴) پارامترهای مورد نیاز برای هریک از این مدل‌ها آورده شده است.

جدول (۴-۳): پارامترهای مدل گسل قائم

ضخامت (متر)	شیب (درجه)	چگالی ( $\text{g/cm}^3$ )	لایه
۱۰۰	۹۰	۲.۲۵	مارن
۱۵۰	۹۰	۲.۴۷	کنگلومرا



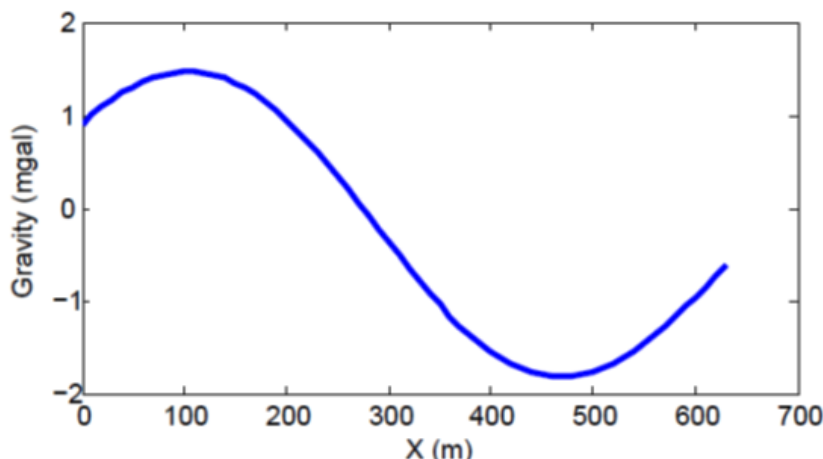
شکل (۱۳-۴): پاسخ گرانی مدل گسل قائم



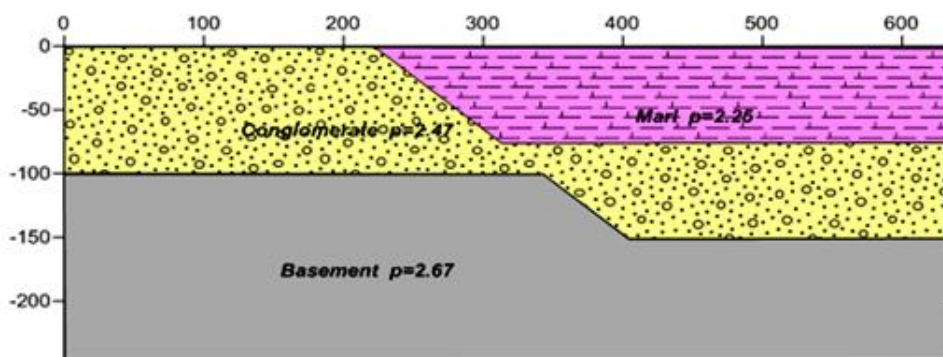
شکل (۱۴-۴): مدل گسل قائم

جدول(۴-۴): پارامترهای مدل گسل شیب‌دار

ضخامت (متر)	جهت شیب	شیب (درجه)	چگالی ( $\text{g/cm}^3$ )	لایه
۷۵	شرق	۶۰	۲.۲۵	مارن
۱۰۰	شرق	۶۰	۲.۴۷	کنگلومرا



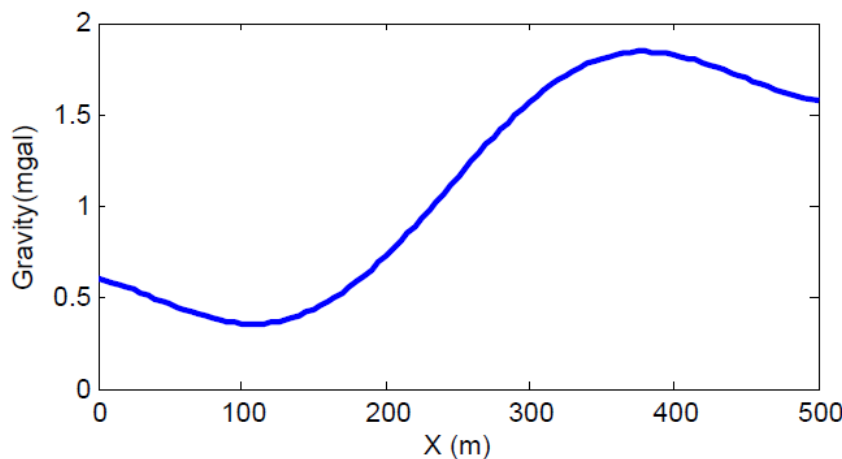
شکل(۱۵-۴): پاسخ گرانی مدل گسل شیب‌دار



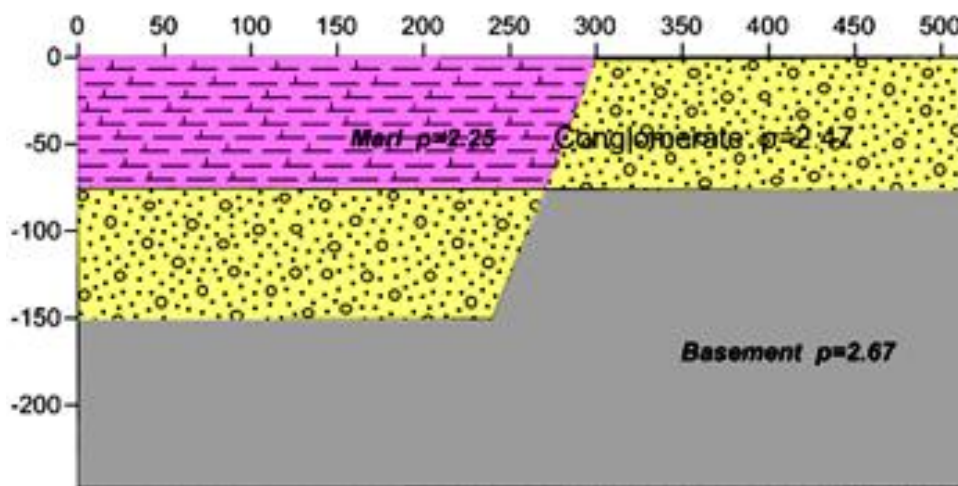
شکل(۱۶-۴): مدل گسل شیب‌دار

جدول (۴-۵): پارامترهای مدل گسل شیب دار

ضخامت (متر)	جهت شیب	شیب (درجه)	(g/cm <sup>3</sup> ) چگالی	لایه
۷۵	غرب	۶۰	۲.۲۵	مارن
۷۵	غرب	۶۰	۲.۴۷	کنگلومرا



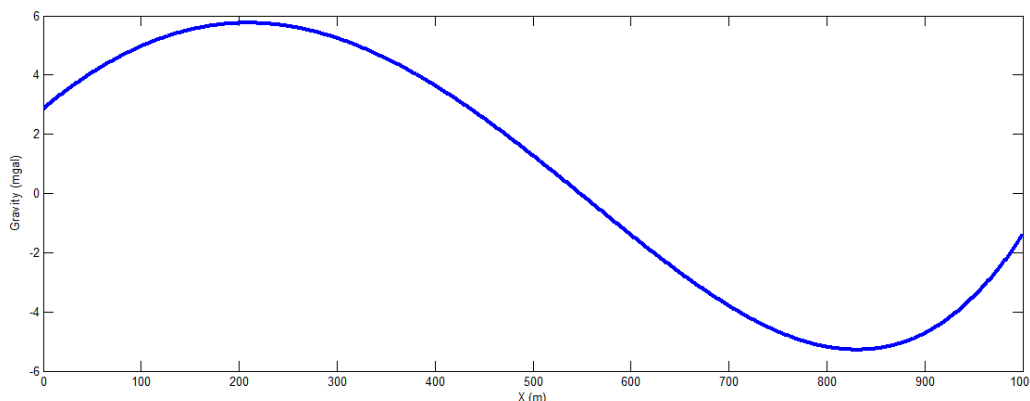
شکل(۱۷-۴): پاسخ گرانی مدل گسل شیب دار



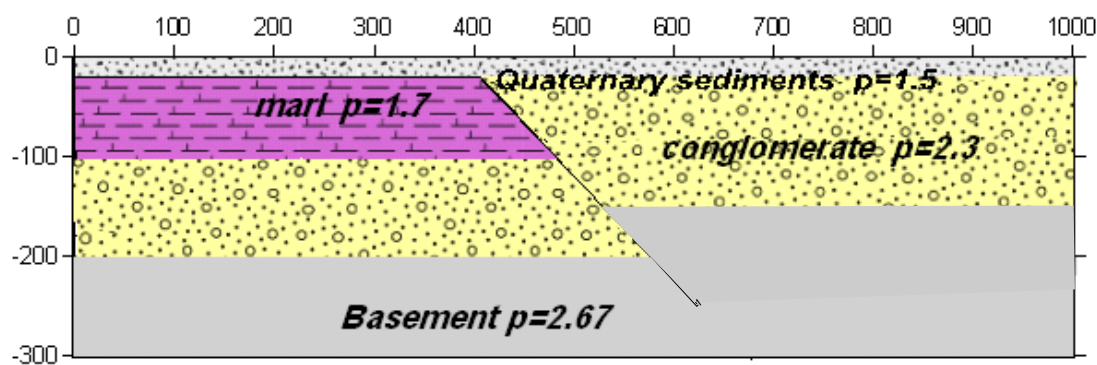
شکل(۱۸-۴): مدل گسل شیب دار

جدول (۶-۴): پارامترهای مدل گسل شیب دار

ضخامت(متر)	جهت شیب	شیب (درجه)	چگالی( $\text{g/cm}^3$ )	لایه
۷۵	شرق	۶۰	۱.۷	مارن
۷۵	شرق	۶۰	۲.۳	کنگلومرا



شکل (۱۹-۴): پاسخ گرانی مدل گسل شیب دار



شکل (۲۰-۴): مدل گسل شیب دار

آنومالی گرانی برای گسل‌های شیب‌دار، در شکل‌های (۱۳-۴)، (۱۵-۴)، (۱۷-۴) و (۱۹-۴) محاسبه شده است. نتایج به دست آمده نشان می‌دهد که آنومالی گرانی در جهت شیب تغییر می‌کند، بدین ترتیب که برای گسل‌هایی که شیب آن‌ها در جهت غرب است، آنومالی گرانی به صورت صعودی تغییر می‌کند، در صورتی که روند تغییرات آنومالی گرانی برای گسل‌های قائم و همچنین گسل‌هایی که شیب آن‌ها در جهت شرق است، به صورت نزولی است با این تفاوت که تغییرات آنومالی گرانی، برای گسل‌های قائم بیشتر است.

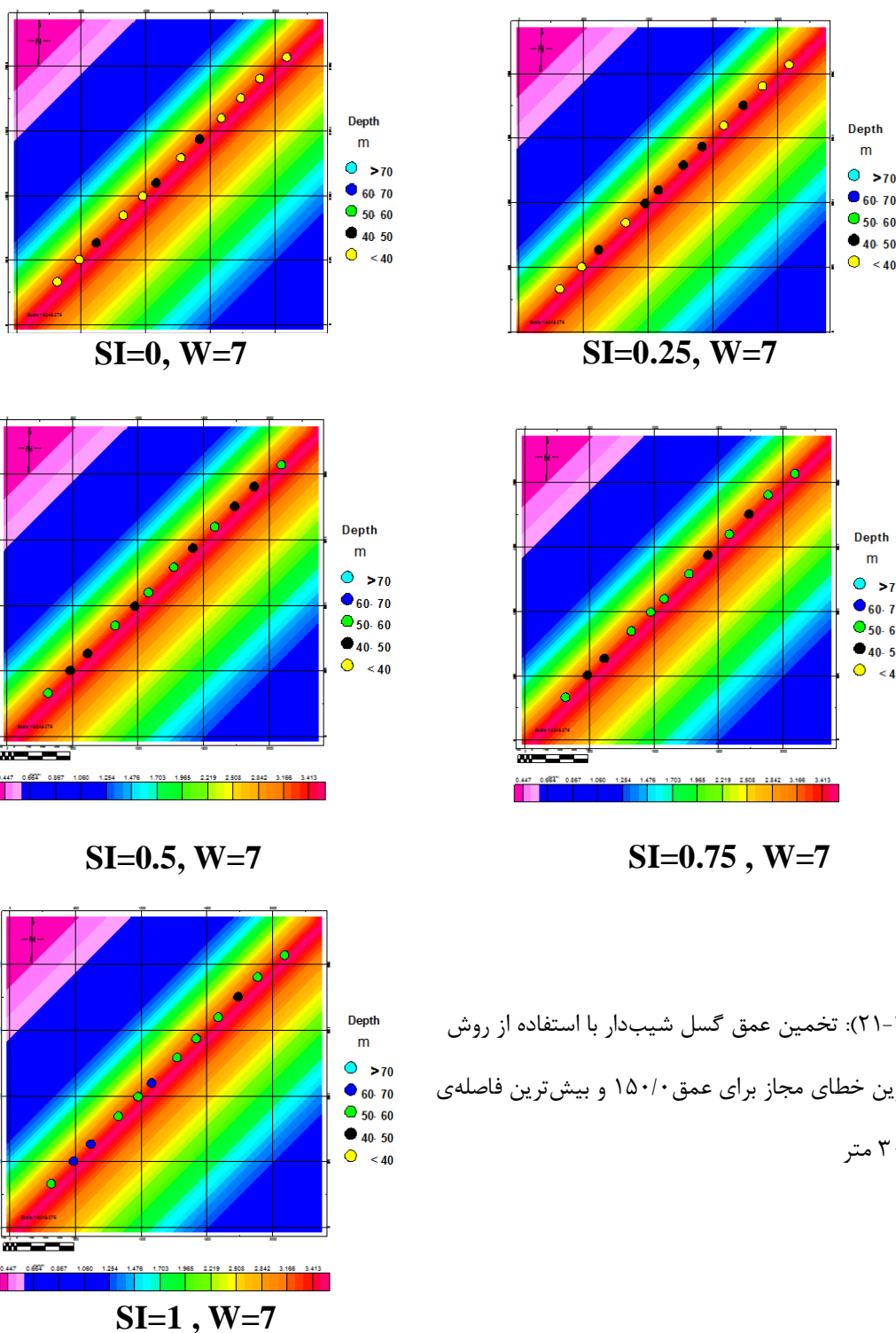
#### ۴-۴ تخمین عمق مدل مصنوعی - گسل شیب‌دار

همان‌طور که در فصل سوم نیز گفته شد، انتخاب پنجره و ضریب ساختاری مناسب، دو فاکتور خیلی مهم می‌باشند که در نتایج به دست آمده از روش اویلر نقش مهمی دارند. در این بخش مدل مصنوعی گسل شیب‌دار در امتداد شمال شرق-جنوب غرب در عمق ۱۰۰ متری (مدل ۳)، که با استفاده از فیلترهای مختلف مرز آن مشخص شد، در نظر گرفته می‌شود و عمق آن با به کارگیری روش اویلر، با انتخاب پنجره و ضریب ساختارهای مختلف، تخمین زده می‌شود تا بدین صورت پنجره و ضریب ساختاری مناسب را برای مدل به دست آوریم. مقادیر مورد استفاده برای شاخص ساختاری کن tact در محدوده متداول صفر تا یک (۰/۲۵۰ و ۰/۵۰۰ و ۰/۷۵۰) انتخاب شد. روش مرسوم در تعیین شاخص ساختاری این است که در پنجره‌های مختلف، با استفاده از شاخص‌های ساختاری گوناگون، نتایج را به دست می‌آورند و آن شاخص ساختاری را که منجر به پدید آمدن نتایجی با کمترین مقدار پراکندگی شده باشد، به عنوان شاخص ساختاری صحیح انتخاب می‌کنند [FitzGerald, 2004].

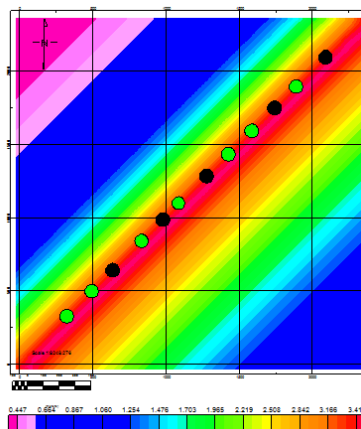
در نرم‌افزار ژئوسافت تعداد نقاط مجاز برای قرار گرفتن در پنجره متحرک از ۳ تا ۲۰ تعیین شده است که در این نوشته برای تعداد نقاط مختلف در محدوده تعیین شده برای مدل مورد مطالعه با ضریب

ساختارهای گفته شده، در دفعات زیاد صورت پذیرفت که نتایج به دست آمده (جداول ۶-۴، ۷-۴ و ۸-۴) برای پنجره‌های ۷×۷ و ۱۱×۱۱ و ۱۵×۱۵ به عنوان نمونه در شکل‌های (۱۹-۴) و (۲۰-۴) و (۲۱-۴) آورده شد. در این نرمافزار، دو ملاک برای پذیرفتن نتایج حاصل از اویلر دیکانولوشن یعنی بیشترین خطای مجاز برای عمق و بیشترین فاصله‌ی مجاز قبول وجود دارد. حداکثر خطای مجاز در تخمین عمق به درصد بیان می‌شود که با استفاده از نرمافزار تعیین گردد و همچنین بیشترین فاصله‌ی قابل قبول نسبت به مرکز پنجره‌ی متحرک سنجیده می‌شود. ملاک پنجره بر اساس اختلاف مختصات نقطه (z,y,x) نسبت به مختصات مرکز پنجره سنجیده می‌شود که اگر نتیجه بیش از مقدار تعیین شده باشد، از نتایج حذف می‌شود. این ملاک نیز توسط کاربر تعیین می‌شود.

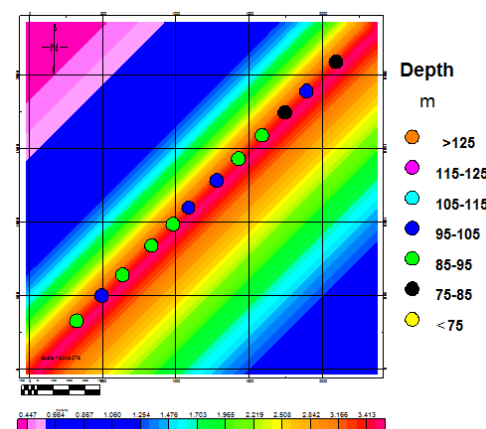
قابل ذکر می‌باشد که آزمایش اویلر دیکانولوشن و تغییر پارامترهای موثر در آن بر روی تمام مدل‌های مصنوعی مورد مطالعه، به دفعات مختلف اجرا و بهترین نتیجه در خصوص ضریب ساختاری و ابعاد پنجره (با کمترین مقدار واریانس) به ترتیب ۰/۵۰ و ۱۱×۱۱ در نظر گرفته شد.



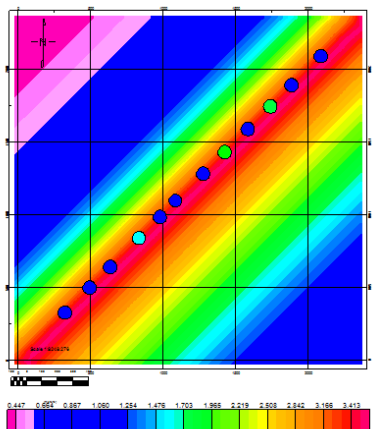
شکل (۴-۲۱): تخمین عمق گسل شیب‌دار با استفاده از روش اویلر-بیشترین خطای مجاز برای عمق  $150\text{ m}$  و بیشترین فاصله مورد قبول  $300\text{ m}$



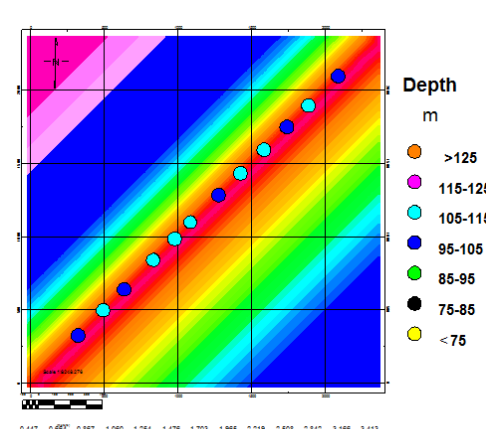
**SI=0 , W=11**



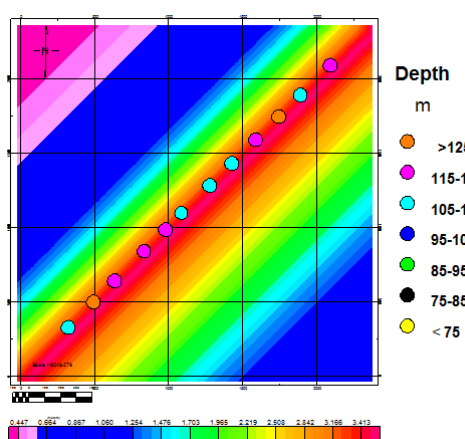
**SI=0.25 , W=11**



**SI=0.5 , W=11**

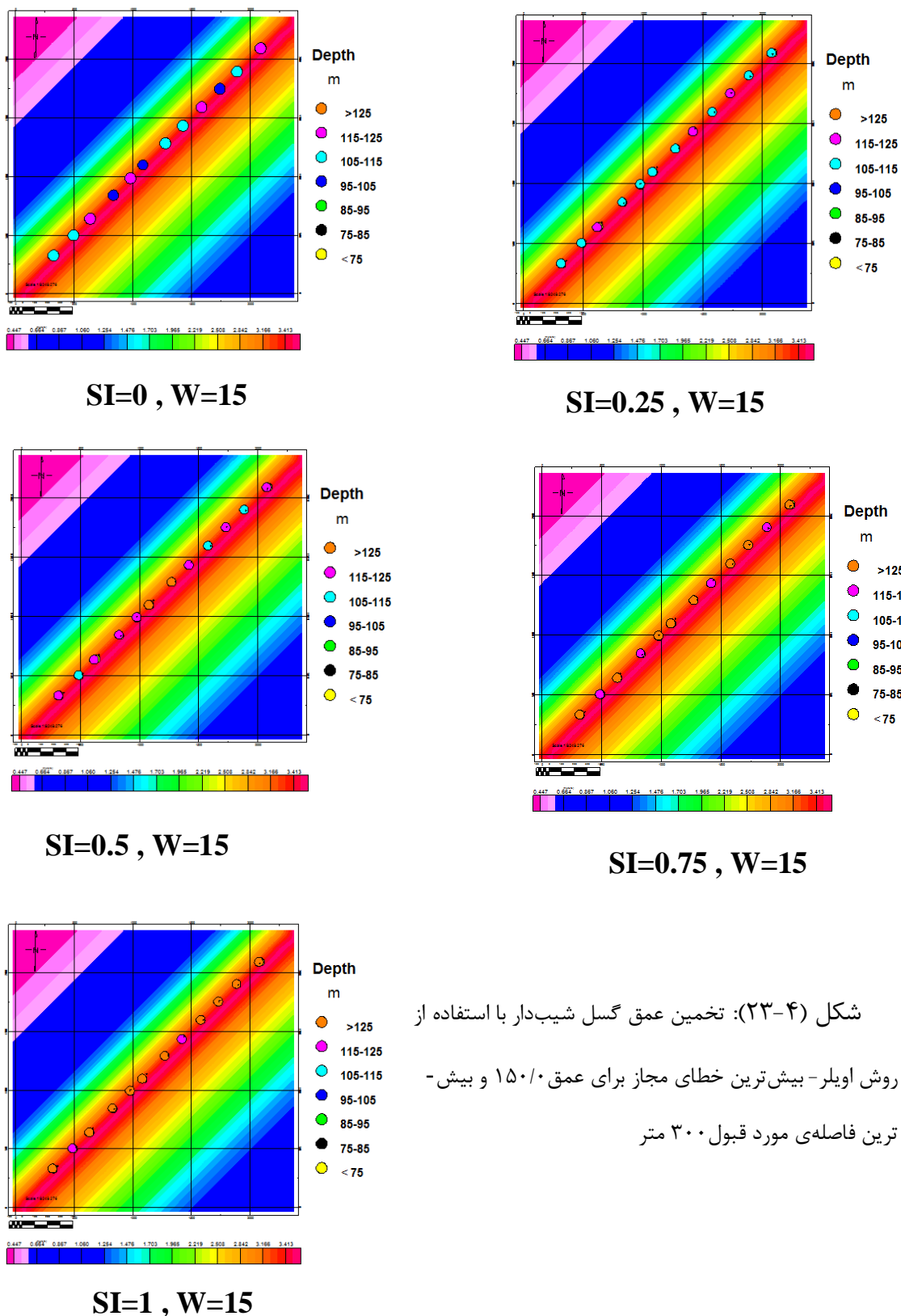


**SI=0.75 , W=11**



**SI=1 , W=11**

شکل(۲۲-۴): تخمین عمق گسل شیبدار با استفاده از روش اویلر- بیشترین خطای مجاز برای عمق ۱۵٪ و بیشترین فاصله‌ی مورد قبول ۳۰۰ متر



شکل (۴-۲۳): تخمین عمق گسل شیبدار با استفاده از روش اویلر-بیشترین خطای مجاز برای عمق ۱۵٪ و بیش - ترین فاصله‌ی مورد قبول ۳۰۰ متر

جدول(۴-۷): نتایج تخمین عمق با استفاده از روش اویلر با پنجره‌ی ۷×۷

۱	۰/۷۵	۰/۵۰	۰/۲۵	۰	SI
۶۱	۵۴	۴۹	۴۳	۳۷	متوسط عمق اویلر

جدول(۴-۸): نتایج تخمین عمق با استفاده از روش اویلر با پنجره‌ی ۱۱×۱۱

۱	۰/۷۵	۰/۵۰	۰/۲۵	۰	SI
۱۱۷	۱۰۹	۱۰۲	۸۹	۷۷	متوسط عمق اویلر

جدول(۴-۹): نتایج تخمین عمق با استفاده از روش اویلر با پنجره‌ی ۱۵×۱۵

۱	۰/۷۵	۰/۵۰	۰/۲۵	۰	SI
۱۴۹	۱۳۷	۱۲۴	۱۱۹	۱۱۲	متوسط عمق

## فصل پنجم

برداشت، پردازش و تفسیر داده‌های گرانی

محدوده‌ی کلاته خیج

## ۱-۵ موقعیت جغرافیایی و وضعیت زمین‌شناسی محدوده مورد بررسی

این منطقه در شمال شرقی شهرستان شاهروд واقع است. جاده آسفالت شاهرود-آزادشهر و راههای متعدد خاکی منشعب از آن، جاده آسفالت شهر کلاته خیج و درههای عرضی موجود در منطقه، از جمله راههای دسترسی به منطقه مورد مطالعه هستند (شکل ۱-۵).



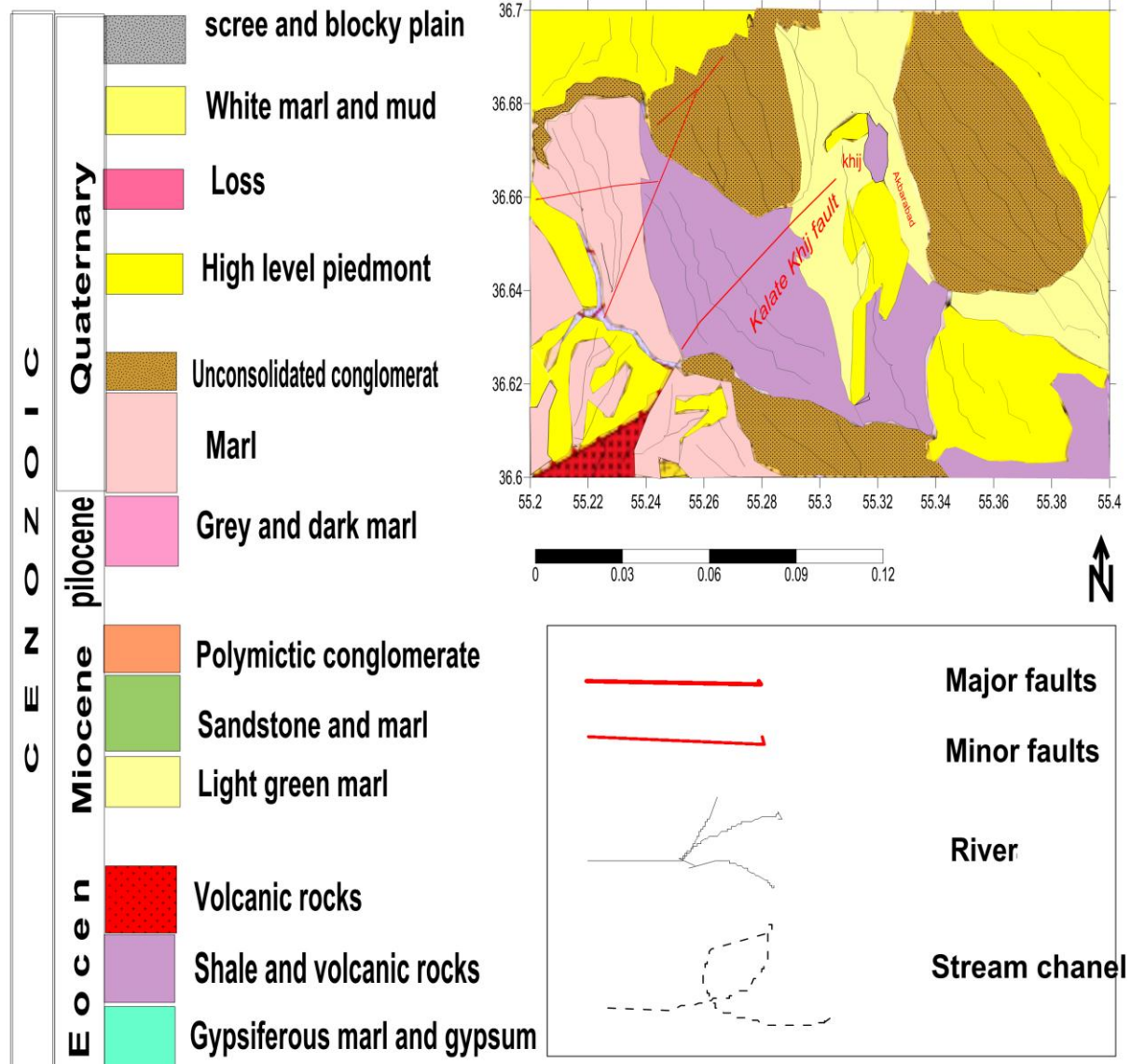
شکل (۱-۵): موقعیت جغرافیایی شهر کلاته خیج و راههای دسترسی به منطقه [اطلس راههای ایران، سازمان نقشه-برداری کشور، ۱۳۸۸].

بر اساس مطالعات زمین‌شناسی و تکتونیکی (شکل ۲-۵)، گسل کلاته خیج دارای مؤلفه امتدادلغز به صورت چپبر با روند شمال شرقی-جنوب غربی، در جنوب غربی شهر کلاته خیج قرار گرفته است. این گسل در تصاویر دورسنجی به صورت خطواره مشخصی دیده می‌شود که از شمال خاوری سیاه‌کوه آغاز شده

و تا شمال شرقی شهر کلاته خیج ادامه می‌یابد. مطالعه تصاویر دورسنجی و مشاهدات صحرایی نشان می-دهد که این گسل رسوبات کواترنری را قطع و کانال‌های رودخانه‌ای را به صورت چپبر جابجا کرده است. (شکل ۳-۵ الف). جوانترین رسوبات موجود در منطقه مورد مطالعه، نهشته‌های کواترنری می‌باشند که به صورت رسوبات سخت نشده و یا با فشردگی اندک بوده و بخش وسیعی از ناحیه مورد بررسی را می-پوشانند.

بر اساس بازسازی کانال‌هایی که توسط این گسل به صورت چپبر جابجا شده‌اند (شکل ۳-۵ ب)، میزان این جابجایی  $400 \pm 50$  متر تخمین زده می‌شود [Javidfakhr et al, 2011]. مطالعات و مشاهدات ریخت‌شناسی در طول مسیر این گسل نشان می‌دهد که این گسل مارن‌های میوسن را در کنار کنگلومراي پليستوسن قرار داده است (شکل ۴-۵ الف).

رسوبات میوسن از واحدهای زرد، سبز، گاهی قرمز آجری، ماسه‌سنگ نازک لایه و سست، کنگلومراي ریزدانه، ژیپس و گچ تشکیل شده است که اغلب توسط نهشته‌های آبرفتی پوشیده شده‌اند. در بخش‌هایی از منطقه مورد مطالعه بر تعداد میان لایه‌های سنگی و کنگلومرايی افروده شده، به طوری که به تدریج به واحدهای کنگلومرايی ضخیم لایه با میان لایه‌های ماسه‌سنگی و شیلی تبدیل می‌شود. این رسوبات مولاس‌گونه هستند و به نظر می‌رسد که در یک حوضه‌ی فروافتاده نهشته شده‌اند. این نهشته‌ها را می‌توان از لحاظ جایگاه زمانی با سازند قرمز بالایی در حوضه قم مقایسه نمود [جعفریان و همکاران، ۱۳۸۳]. این واحدهای رسوبی رخمنون قابل توجهی در بخش‌های مرکزی منطقه مورد مطالعه نشان می‌دهند (شکل ۴-۵ الف و ب).

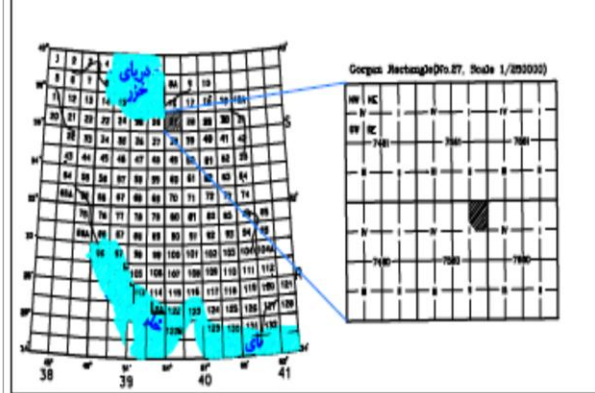


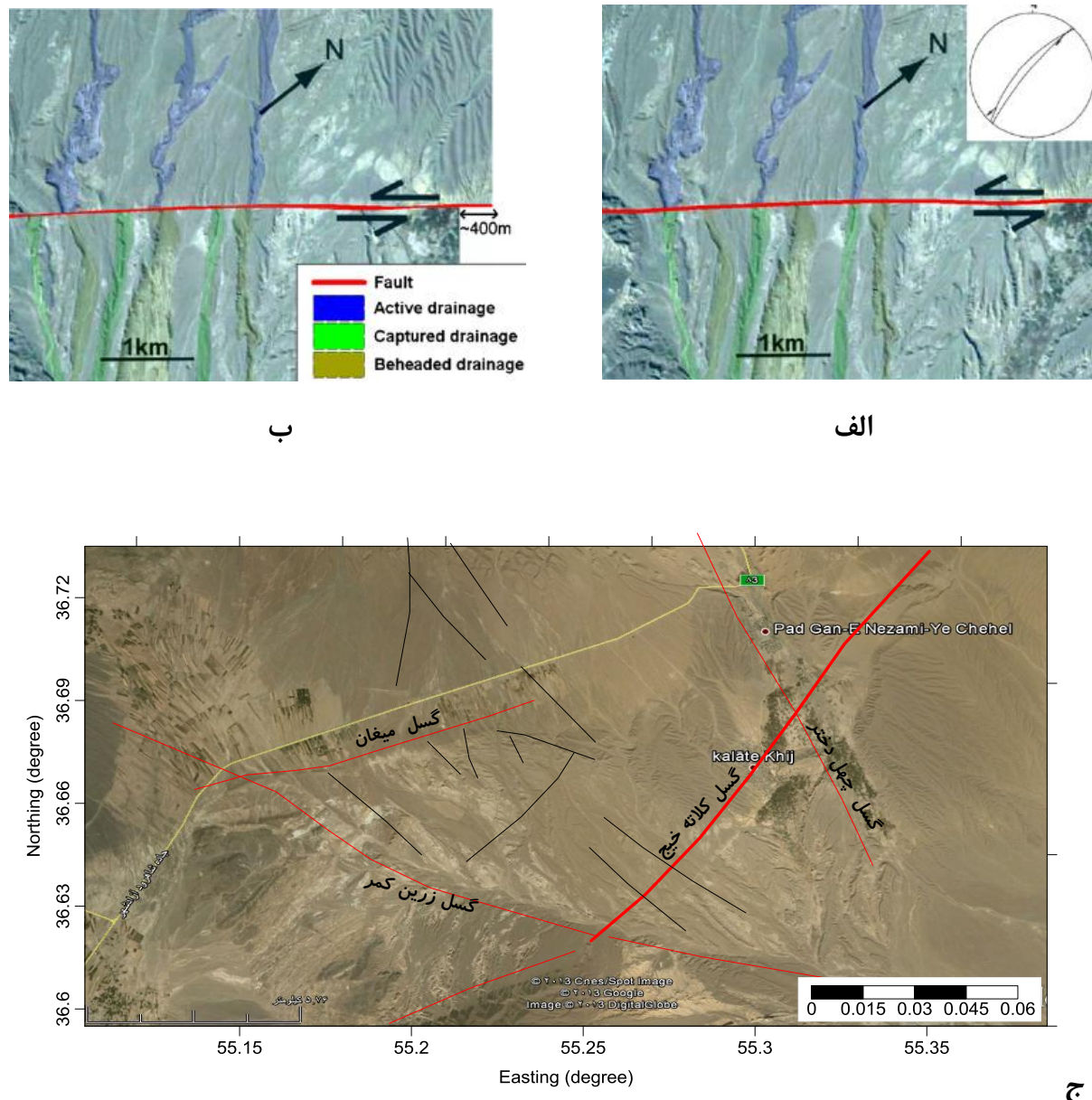
## Geological map of north east shahrood

Creator : kamran valadi

SHAHROOD UNIVERSITY

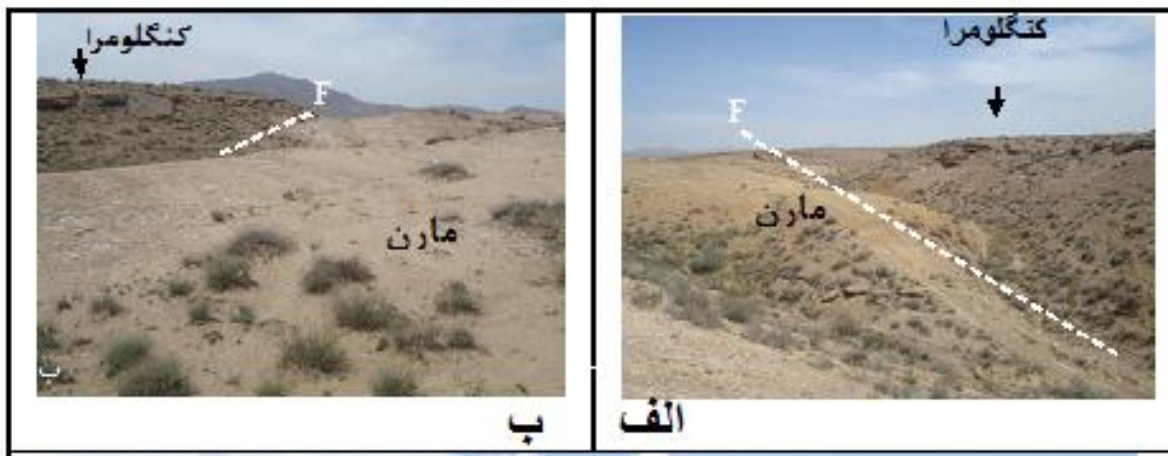
2012





شکل (۳-۵) الف- تصویر Google Earth رنگ آمیزی شده از گسل که جابجایی چپبر کانال های رودخانه ای را نشان می دهد [Javidfakhr et al, 2011]؛ ب- تصویر بازسازی شده گسل که جابجایی چپبر در حدود ۴۰۰ متر را برای این قطعه گسلی نشان می دهد [Javidfakhr et al, 2011]. ج- تصویر Google Earth از گسل کلاته خیج و گسل های محدوده ای مورد بررسی

بر اثر عملکرد این گسل، مارن های میوسن در طول این خطواره گسلی رخنمون یافته و کنگلومرات پلئیستوسن (Pliocene) دچار خردشده گشته است (شکل ۳-۵ب) [Javidfakhr et al, 2011]



شکل (۴-۵): الف و ب - خردشده‌گی کنگلومرای پلئیستوسن و قرارگیری آن در کنار مارن‌های میوسن بر اثر عملکرد گسل (الف: دید به سمت جنوب غربی، ب: دید به سمت شمال شرقی) [Javidfakhr et al, 2011].

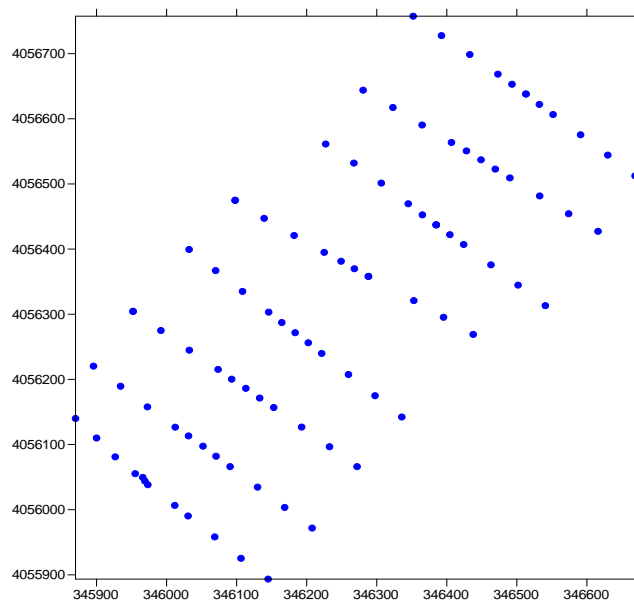
## ۲-۵ برداشت داده‌های گرانی منطقه مورد مطالعه

در راستای تکمیل یک شبکه برداشت مناسب، چندین پارامتر مهم وجود دارد که بایستی به دقت مورد بررسی قرار گیرند تا داده‌هایی که جمع‌آوری می‌شوند بتوانند به طور صحیح آنومالی مورد بررسی را مشخص کنند. در مطالعات ژئوفیزیکی ممکن است برداشت‌ها تنها از طریق تعداد محدودی پروفیل صورت پذیرد. در این گونه برداشت‌ها بایستی تا حد امکان (شرایط زمین و بودجه) تعداد و فاصله نقاط برداشت به صورت بهینه‌ای انتخاب و اندازه‌گیری شود تا بتوان به جزئیات هدف مورد نظر دست پیدا کرد. به طور معمول مناسب‌ترین امتداد یک پروفیل برداشت، پروفیلی است که عمود بر امتداد هدف یا پدیده‌ی مورد نظر باشد، اما این موضوع به شکل ساختار مورد تجسس و ابعاد آن نیز وابسته است. امتداد تقریبی یک ساختار هدف می‌تواند از بازدید زمین‌شناسی، نقشه‌های موجود و یا دیگر اطلاعات اکتشافی مشخص شود. با این وجود در بسیاری از حالت‌ها ممکن است امتداد ساختار ناشناخته باشد که بدین ترتیب از خطوط برداشت آزمایشی پیش از برداشت‌های اصلی برای تعیین امتداد تقریبی ساختار هدف استفاده می‌شود و طول پروفیل برداشت نیز باید بیش از پهنانی بیهنجاری مورد انتظار در نظر گرفته شود.

در این مطالعه پس از بازدید زمین‌شناسی از منطقه مورد نظر و با استفاده از اطلاعات تکتونیکی موجود، امتداد گسل به صورت شمال‌شرقی-جنوب‌غربی تعیین شد و بر این اساس و نیز با توجه به مدت زمان در نظر گرفته شده برای انجام پروژه، ۸ پروفیل گرانی در راستای عمود بر گسل برداشت شد. اما علاوه بر امتداد پروفیل برداشت، مسئله حائز اهمیت دیگر در پروفیل‌زنی، انتخاب فاصله ایستگاه یعنی فاصله نقاط اندازه‌گیری از یکدیگر است. در واقع، اگر امتداد پروفیل به‌طور مناسبی انتخاب شود ولی فاصله نقاط اندازه‌گیری نامناسب باشد، نمی‌توان به شکل واقعی بی‌亨جاری ژئوفیزیکی دست یافت و در نتیجه تفسیر درستی را نباید انتظار داشت. فاصله نقاط باید به‌گونه‌ای انتخاب شود که به تعداد کافی از هدف مورد نظر اطلاعات ثبت کرد. در امتداد هر پروفیل برداشت ۱۱ نقطه گرانی به فاصله ۵۰ متری اندازه‌گیری شد. داده‌های گرانی منطقه مورد بررسی در محدوده‌ای بین عرض‌های ۴۰۵۵۸۹۳ و ۴۰۵۶۷۵۷ و طول‌های ۳۴۵۸۷۰ و ۳۴۶۶۷۰ در سیستم متریک UTM در زون ۴۰S با استفاده از دستگاه گرانی‌سنچ CG5 برداشت گردید. شبکه نسبتاً منظم داده‌های گرانی از ۸ پروفیل به فاصله ۱۰۰ متری و حدود ۸۸ ایستگاه میکروگراویتی تشکیل شده است (شکل ۶-۵).



شکل (۵-۵): موقعیت قرارگیری منطقه برداشت بر روی نقشه‌ی Google Earth



شکل (۶-۵): ایستگاه‌های برداشت گرانی از منطقه



شکل(۵-۷): برداشت داده های گرانی منطقه مورد بررسی با دستگاه CG5

### ۳-۵ پردازش اطلاعات گرانی سنجی

پردازش اطلاعات گرانی سنجی در دو بخش در حین عملیات و بعد از عملیات انجام می گیرد.

#### ۱-۳-۵ پردازش در حین عملیات

دستگاه های اندازه گیری ژئوفیزیکی ممکن است بر اثر دما و فشار قابلیت های خود را از دست بدهند که معمولاً شرکت سازنده محدودیت های آن را معرفی می کند. در دستگاه گراویومتر CG5 به دلیل حساسیت زیاد فنرهای تعبیه شده در آن به مرور زمان و در صورت عدم توجه، تحت تاثیر عوامل یاد شده قرار می گیرد. تغییراتی که در یک ایستگاه ثابت در طول زمان در ارتباط با دستگاه رخ می دهد، تغییرات رانه دستگاه می گویند. این تغییرات در دستگاه گراویومتر ناچیز بوده و قابل چشم پوشی است. اما در صورتی

که با افزایش عمر دستگاه این تغییرات افزایش یابند، باید اثر آنها روی داده های اندازه گیری شده، تصحیح شود. در برداشت داده های گرانی منطقه مورد مطالعه، یک ایستگاه ثابت (مبنا) در منطقه در نظر گرفته شد و قبل از شروع عملیات، هر روز ابتدا این نقطه اندازه گیری می شد و با مقدار روز قبل مقایسه می شد. معمولاً خطای مجاز در برنامه قرائت ایستگاه ها ۰/۰۳۵ میلی گال در نظر گرفته می شود [دولتی، ۱۳۷۲]. در صورتی که خطا در مقدار گرانی قرائت شده برای این ایستگاه از ۰/۰۳۵ میلی گال کمتر باشد برداشت صحیح است. علاوه بر این قبل از شروع عملیات، دستگاه حدود ۱ ساعت در یک نقطه ثابت برای آنکه با شرایط جوی محیط به سازگاری برسد، قرار گرفت.

### ۲-۳-۵ پردازش بعد از عملیات

همان طور که می دانیم شتاب جاذبه دقیقاً در همه جای سطح زمین یکسان نیست بلکه تحت تأثیر چندین فاکتور است که در دو گروه عمده وابسته به زمان، مانند دریفت دستگاه و جزر و مد و وابسته به مکان، مانند ارتفاع نقاط از سطح مبنای، عرض جغرافیایی، تخته بوجه، توپوگرافی و نهایتاً زمین شناسی منطقه است. بنابراین برای به دست آوردن اطلاعات زمین شناسی باید تصحیحاتی از قبیل تصحیح دریفت، تصحیح عرض جغرافیایی، تصحیح هوای آزاد، تصحیح بوجه و تصحیح توپوگرافی بر روی مقادیر اولیه اندازه گیری شده، اعمال شود.

### ۲-۳-۶ تصحیح دریفت دستگاه

در صورتی که در یک برنامه گرانی سنجی پس از اندازه گیری در یک ایستگاه اصلی، مجدداً در انتهای برنامه این عمل اندازه گیری تکرار شود، نتیجه دو قرائت یکسان نخواهد بود و با هم اختلاف خواهند داشت که این اختلاف اصولاً وجود داشته و مقدار آن با زمان متغیر می باشد این مقدار اختلاف، دریفت دستگاه نام دارد. عوامل مختلفی در ایجاد دریفت نقش داشته که مهمترین آنها خستگی و تغییر خواص

الاستیسیته فنر گرانی سنج می باشد. زیرا فنر گرانی سنج دارای خاصیت کشسانی است و به تدریج تغییر می کند.

برای محاسبه دریفت دستگاه در شروع کار مقدار گرانی در ایستگاه اصلی اندازه گیری و سپس ایستگاه فرعی برداشت می شود و در نهایت مجدداً به ایستگاه اصلی رفته و مقدار گرانی اندازه گیری می شود.

$$D = g_1 - g_2 \quad (1-5)$$

g1 : گرانی قرائت شده مربوط به ایستگاه اصلی در شروع کار بر حسب میلی گال

g2 : گرانی قرائت شده مربوط به ایستگاه اصلی در خاتمه کار بر حسب میلی گال

D : دریفت دستگاه بر حسب میلی گال می باشد که حد مجاز دریفت به ازای هر دو ساعت تقریباً ۳۵ میلی گال می باشد اگر مقدار دریفت بیشتر از مقدار مجاز باشد برنامه قرائت تکرار می شود.

برای محاسبه دریفت سایر ایستگاهها به این طریق عمل می شود که اختلاف زمان قرائت ایستگاه مبنا در شروع عملیات و زمان قرائت هریک از ایستگاههای گرانی دیگر محاسبه می شود.

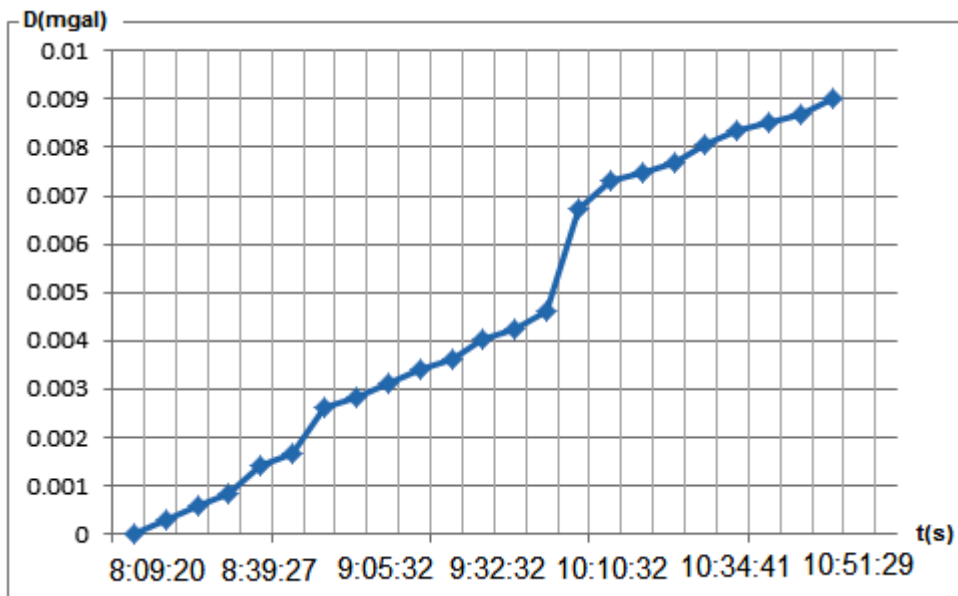
$$\Delta T_1 = T_1 - T \quad \Delta T_2 = T_2 - T \quad \Delta T_n = T_n - T \quad (2-5)$$

که در آن T زمان اندازه گیری ایستگاه مبنا است و  $T_1, T_2, \dots, T_n$  قرائت سایر ایستگاهها است. بنابراین مقدار دریفت (رانه) دستگاه به صورت زیر است:

$$D_i = \frac{\Delta T_i \times D}{\Delta T_n} \quad (3-5)$$

که  $D_i$  بر حسب میلی گال دریفت ایستگاه مورد نظر و  $\Delta T_i$  بر حسب دقیقه نیز اختلاف زمانی بین ایستگاه اصلی و ایستگاه مورد نظر است [Reynolds, 1997]. مقدار D که بدین ترتیب به دست می آید از مقدار میدان اندازه گیری شده در ایستگاه کم می شود. معمولاً در صورتی که گراویمتر دچار مشکل خاصی نشده باشد، گستره‌ی دریفت آن در حد یک دهم تا چند دهم است.

با توجه این که در منطقه مورد نظر نقطه مبنای گرانی سنجی وجود نداشت لذا برای به دست آوردن مقدار دریفت و اطمینان از درستی کار برداشت، یک نقطه به عنوان ثابت در نظر گرفته شد و هر روز ابتدا آن نقطه قرائت می گردید تا با توجه به عدد قرائت شده ایستگاه تکراری، کار آن روز را از نظر کیفیت مورد بررسی قرار داده شود.



شکل (۸-۵): تغییرات دریفت پروفیل اول با زمان

#### ۲-۳-۵ تصحیح عرض جغرافیایی

باتوجه به تغییرات عرض جغرافیایی منطقه مورد بررسی، این تصحیح با اعمال جدیدترین فرمول جهانی سال ۱۹۸۶ محاسبه و اعمال شد. این تصحیح ناشی از شکل زمین و متغیر بودن شعاع زمین با توجه به برآمدگی جزئی در استوا و فرورفتگی در قطبین است که این عوامل باعث افزایش گرانی در استوا می گردد. بنابراین شتاب گریز از مرکز در قطبین کمینه و در استوا بیشینه است [Telford, 1990].

$$g_\varphi = 978032.70 \left( 1 + 0.005304 \sin^2 \varphi - 0.000058 \sin^2 2\varphi \right) \quad (4-5)$$

در رابطه بالا  $g_\varphi$  مقدار شتاب جاذبه میدان تئوری و  $\varphi$  عرض جغرافیایی تک تک ایستگاه های برداشتی است که واحد هر کدام از کمیت ها بر حسب میلی گال و درجه مدنظر گرفته شده است .

تصحیح عرض جغرافیایی با مشتق گرفتن از رابطه بالا به دست می آید طبق رابطه (۵-۵) زیر:

$$\partial g_l = 0.000811 \sin 2\varphi \quad mGal/m \quad \text{الف-}$$

$$\partial g_\varphi = 0.000811 \sin 2\varphi \times \Delta y \quad mGal \quad \text{ب-}$$

تصحیح عرض جغرافیایی برای هر نقطه‌ی گرانی اندازه‌گیری شده، نسبت به ایستگاه مبنای در نظر گرفته می‌شود. برای به دست آوردن تصحیح عرض جغرافیایی هر ایستگاه نسبت به ایستگاه مبنای با عرض جغرافیایی می‌توان از رابطه (۵-۵ الف) استفاده کرد. می‌دانیم هر دقیقه از تغییرات عرض جغرافیایی معادل فاصله‌ای در حدود  $1/84$  کیلومتر روی سطح زمین است. بدین ترتیب می‌توان تغییرات گرانی زمین را برای هر ایستگاه واقع در فاصله  $\Delta y$  متر از ایستگاه مبنای با عرض جغرافیایی  $\Phi$  را از رابطه (۵-۵ ب) به دست آورد. این تصحیح در صورتی که ایستگاه اندازه‌گیری در شمال ایستگاه مبنای قرار داشته باشد، مثبت (میدان گرانی زمین از استوا به طرف قطب افزایش پیدا می‌کند) و در حالتی که ایستگاه اندازه‌گیری در جنوب ایستگاه مبنای واقع شده باشد، منفی است. مقداری که بدین ترتیب به دست می‌آید، از مقدار گرانی ایستگاه ایستگاه اندازه‌گیری واقع در شمال ایستگاه مبنای کم می‌شود و در حالت عکس به مقدار گرانی ایستگاه اندازه‌گیری اضافه می‌شود. در این مطالعه ایستگاه G216، در جنوب داده‌های اندازه‌گیری شده به عنوان ایستگاه مبنای انتخاب شد. به عنوان نمونه، تصحیح عرض جغرافیایی در جدول زیر برای بخشی از پروفیل ۸ آورده شده است. چون ایستگاه اندازه‌گیری در جنوب ایستگاه مبنای واقع شده است، پس این تصحیح منفی است و مقداری که بدین ترتیب به دست می‌آید، از مقدار گرانی ایستگاه اندازه‌گیری واقع در شمال ایستگاه مبنای کم می‌شود.

جدول (۱-۵): تصحیح عرض جغرافیایی برای قسمتی از پروفیل ۸

station	x	y	z	profile	time	dg( $\Phi$ )
G209	345973.17	4056038.3	1416.108	p8-1	10:22:24	-0.0999956
G210	345965.98	4056049.6	1418.654	p8-2	11:01:27	-0.1077877
G211	345969	4056044	1417	p8-2	10:28:18	-0.1039232

G212	346011.66	4056006.6	1413.517	p8-3	10:32:33	-0.0780609
G213	346030.65	4055990.4	1412.667	p8-4	10:36:52	-0.0668551
G214	346068.77	4055958.2	1410.886	p8-5	10:40:34	-0.0446761
G215	346106.19	4055925.4	1409.117	p8-6	10:45:11	-0.0219953
G216	346144.92	4055893.5	1407.261	p8-7	10:49:16	0

### ۳-۲-۳-۵ تصحیح ارتفاعی (هوای آزاد + بوگه)

معمولًاً ایستگاههای گرانی با ارتفاعهای مختلفی اندازه‌گیری می‌شوند. اختلاف ارتفاعها، سبب تغییراتی در شتاب جاذبه اندازه‌گیری شده می‌شوند. با انجام تصحیح ارتفاعی کلیه مقادیر اندازه‌گیری شده به یک سطح مینا انتقال داده می‌شود.

تصحیح ارتفاعی دارای دو مولفه است: الف- تصحیح هوای آزاد ب- تصحیح بوگه

#### الف- تصحیح هوای آزاد

با توجه به این نکته که مقدار شتاب جاذبه به صورت فرمول  $g = G \frac{m}{r^2}$  روی سطح مبناء معین شده است، هرچه از این سطح مبناء به اندازه  $h$  به طرف بالا حرکت کنیم، مقدار شتاب جاذبه طبق رابطه  $g = G \frac{m}{(r+h)^2}$  کاهش خواهد یافت [Telford, 1991]. اختلاف دو شتاب جاذبه را تاثیر هوای آزاد می‌نامند.

تصحیح هوای آزاد را می‌توان از روی معادله زیر و با مشتق‌گیری نسبت به  $r$  محاسبه نمود:

$$g = G \frac{m}{r^2} \quad (6-5)$$

$$\frac{dg}{dr} = -2 G \frac{m}{r^2} \times \frac{r}{r^2} \quad (7-5)$$

$$dg = -\frac{2g}{r} \times dr \quad (8-5)$$

$$dg = -2g \frac{h}{r} \quad (9-5)$$

که در آن  $dr=h$  پس داریم:

اگر شعاع متوسط زمین  $6367000$  متر در نظر گرفته شود و با توجه به مقدار تئوری گرانی در سطح

دریا و در عرض جغرافیایی  $45$  درجه ( $980629$  میلی گال)، در این صورت خواهیم داشت:

$$dg = -2g \frac{h}{r} = \frac{-2 \times 980629}{6.367 \times 10^6} \times h \quad (11-5)$$

$$dg = \partial g_{fa} = -0.30803h \quad (10-5)$$

که در آن  $h$  ارتفاع ایستگاهها نسبت به سطح مبناء برحسب متر و  $g_{fa}$  تصحیح هوای آزاد بوده و

برحسب میلی گال به دست می آید.

فرمول حاصله با فرض کروی بودن شکل زمین حاصل شده است و گردش آن به حساب آورده نشده

است. لذا اگر زمین را به شکل بیضوی فرض کنیم، تاثیر هوای آزاد در هر متر آن به صورت زیر است:

$$g = (0.30877 - 0.00044 \sin^2 \theta)h(m) - 0.073h^2(km) \quad (12-5)$$

در ایران ضریب تصحیح هوای آزاد را  $0.3086$  در نظر می گیرند، بنابراین

$$dg = -0.3086h(mgal) \quad (13-5)$$

مطابق رابطه بالا، وقتی ارتفاع ایستگاهی افزایش می یابد، مقدار گرانی اندازه گیری شده نیز در هر متر به

اندازه  $۰/۳۰۸۶$  کاهش می یابد. بنابراین با اعمال این تصحیح تمام ایستگاههای اندازه گیری به یک سطح

مبناه انتقال می یابند [دولتی، ۱۳۷۲].

اگر نقطه اندازه گیری بالاتر از سطح دریاهای آزاد باشد، تصحیح هوای آزاد به مقدار گرانی قرائت شده

اضافه می گردد. چنانچه نقطه اندازه گیری پایین تر از سطح دریا باشد، این مقدار تصحیح از مقادیر قرائت

شده کم می شود.

ب- تصحیح بوگه :

فرض می شود که فضای بین دو صفحه افقی توسط موادی با چگالی  $\rho$  پر شده باشد. جرم محصور بین دو سطح نیز روی مقادیر اندازه گیری شده تاثیر خواهد گذاشت که با استی تاثیرات این جرم از مقادیر قرائت شده حذف شود. تصحیح مربوط به جاذبه این مواد با در نظر گرفتن یک تخته سنگ با گسترش طول و عرض بینهایت و ضخامت  $h$  و با استفاده از فرمول زیر محاسبه می شود.

$$dg_b = 2\pi G \rho h \quad (14-5)$$

اگر از رابطه شتاب جاذبه نسبت به  $h$  مشتق گرفته شود در نتیجه:

$$\frac{dg_b}{dh} = 2\pi G \rho \quad (15-5)$$

اگر به جای  $G$  مقدار ثابت آن قرار داده شود فرمول به صورت ساده زیر در می آید.

$$\frac{dg_b}{dh} = 0.0419 \rho \quad \frac{mgal}{m} \quad (16-5)$$

اگر فرض شود  $dh=h$  بنابراین خواهیم داشت:

$$\partial g_b = 0.0419 \rho h \quad (mgal) \quad (17-5)$$

که در آن:  $\rho$ ، چگالی رسوبات منطقه بر حسب گرم بر سانتی متر مکعب می باشد که بر اساس اطلاعات زمین شناسی منطقه،  $2/3$  گرم بر سانتی متر مکعب متوسط گرفته شده است.  $h$ ، ارتفاع ایستگاهها نسبت به سطح مبدا بر حسب متر بوده و  $\partial g_b$ ، تصحیح بوگه و بر حسب میلی گال به دست می آید.

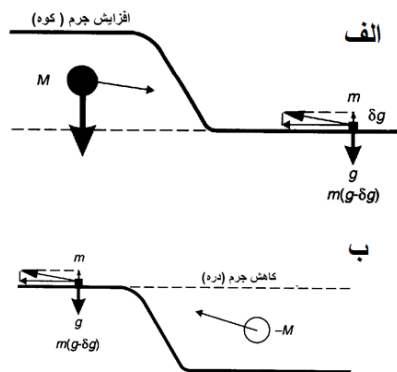
اگر نقطه اندازه گیری بالاتر از سطح مبدا باشد، تصحیح بوگه از مقدار گرانی کم می گردد و چنانچه نقطه اندازه گیری پایین تر از سطح مبدا باشد، این مقدار تصحیح به مقادیر قرائت شده اضافه می شود. در این تحقیق با توجه به ارتفاع همه نقاط، همه مقادیر تصحیح به سطح آب های آزاد انتقال داده شد. همان طور که گفته شد، مجموع دو تصحیح هوای آزاد و بوگه که حاصل ارتفاع نقطه اندازه گیری است، تصحیح ارتفاعی

$(\Delta g_E)$  نامیده می شود و از رابطه زیر به دست می آید:

$$\Delta g_E = \Delta g_{fa} + \Delta g_b = (-0.3086 + 0.0419\rho).h \quad (18-5)$$

#### ۴-۲-۳-۵ تصحیح توپوگرافی

تصحیح بوگه گفته شده با فرض افقی بودن سطح زمین و پرشدن فاصله بین سطح ژئوئید و سطح زمین از مواد با چگالی  $\rho_b$  صورت گرفت، اما ممکن است در اطراف هر ایستگاه اندازه گیری نسبت به سطح افقی که از ایستگاه اندازه گیری می گذرد، سطح زمین دارای دره (حذف قسمتی از حجم مواد با چگالی  $\rho_b$ ) و کوه (اضافه شدن حجمی از مواد با چگالی  $\rho_b$ ) باشد. جاذبه اندازه گیری شده در هر ایستگاه تحت تاثیر جرم های ناشی از تپه ها و دره ها قرار خواهد گرفت. پس علاوه بر تصحیح بوگه، بایستی اثرات این بی نظمی ها بر روی ایستگاه اندازه گیری محاسبه شود [انوروزی، ۱۳۸۸]. به این ترتیب تصحیحی انجام می گیرد که به تصحیح توپوگرافی معروف است.

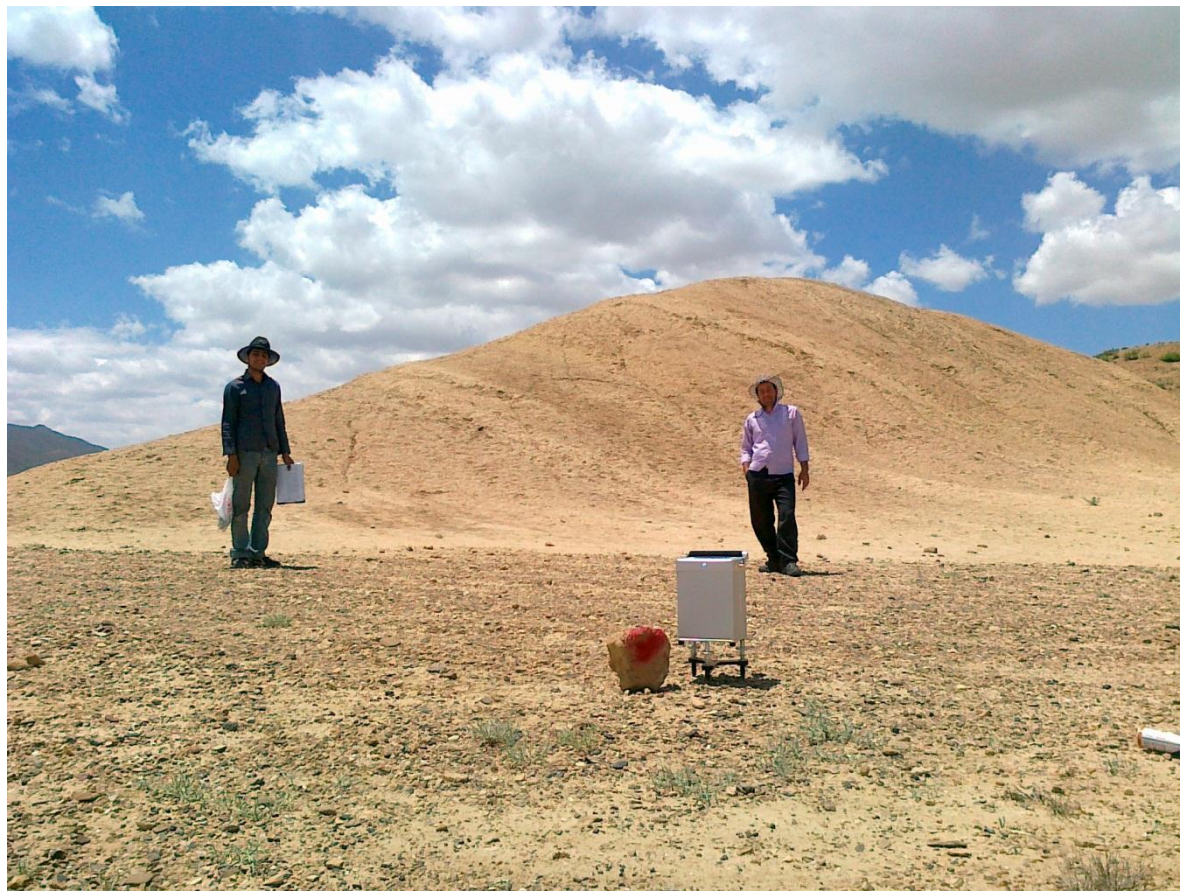


شکل (۹-۵): اثر میدان جاذبه توپوگرافی اطراف یک ایستگاه روی مقدار گرانی اندازه گیری شده [Reynolds, 1997]. الف- اثر کوه ب- اثر دره

وجود تپه های بالاتر از ایستگاه سبب می شود که مولفه شتابی به سمت بالا (ربایش به سمت بالا) ایجاد می شود و همچنین وجود دره های پایین تر از ایستگاه اندازه گیری و تهی بودن مواد در این قسمت ها

(فقدان ریاضی به سمت پایین) هر دو سبب کاهش شتاب جاذبه قرائت شده در ایستگاه می‌گردد. بدیهی است که در صورت مسطح بودن زمین نیازی به انجام تصحیح فوق نمی‌باشد چرا که با انجام این تصحیح فرض می‌شود که کلیه تپه‌های بالاتر از ایستگاهها برداشت شده و کلیه دره‌های گودتر از همان مواد پر می‌گردد که با انجام این کار یک وضعیت مسطح حاصل می‌شود. تصحیح توپوگرافی همیشه مثبت بوده و به گرانی قرائت شده در هر ایستگاه اضافه می‌گردد [Reynolds, 1997]. روش‌های مختلفی برای تصحیح توپوگرافی وجود دارد از جمله این روش‌ها روش هامر می‌باشد که هم به صورت دستی و هم به صورت برنامه نویسی با کامپیوتر قابل انجام است. در روش هامر سه زون نزدیک و متوسط و دور برای هریک از نقاط محاسبه و اعمال می‌گردد. زون نزدیک بین ۱۱۰-۱۰۰ متر و متوسط ۲۰۰۰-۱۱۰ متر و زون دور نیز ۲۰۰۰ تا ۲۲۰۰۰ متر محاسبه می‌گردد.

در این تحقیق برای تصحیح توپوگرافی منطقه هرچند شدت توپوگرافی زیاد نیست ولی از داده‌های نقشه‌برداری با دوربین برای زون نزدیک و از داده‌های سازمان نقشه‌برداری کشور به مقیاس ۱/۲۵۰۰۰ برای زون دور استفاده گردید. در نرمافزار ژئوسافت روش‌های کین (kane, 1962) و ناگی (Nagy, 1966) استفاده می‌شود که از جهاتی شبیه روش هامر است.



شکل(۱۰-۵): برداشت داده های گرانی در نزدیکی تپه

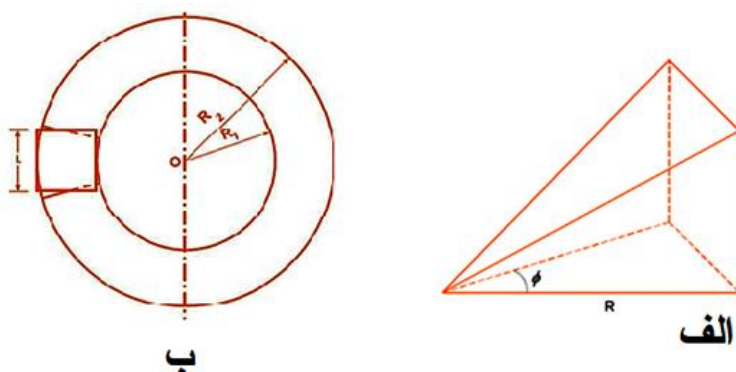
برای زون نزدیک، اثر گرانی هر یک از نقاط اطراف ایستگاه اندازه گیری از رابطه زیر استفاده می شود:

$$g = GD\emptyset \left( R - \sqrt{R^2 + H^2} + \frac{H^2}{\sqrt{R^2 + H^2}} \right) \quad (۱۹-۵)$$

برای زون دور، اثر گرانی هریک از نقاط اطراف ایستگاه اندازه گیری با استفاده از منشور مربعی و با

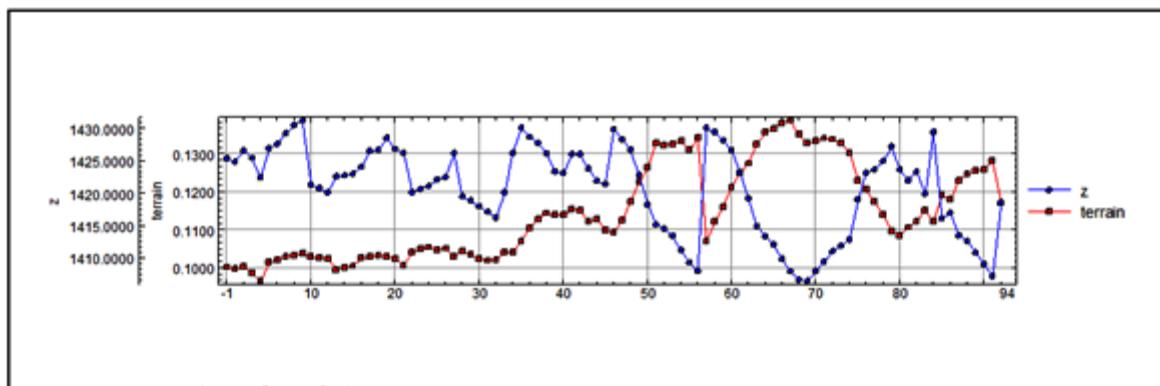
فرمول زیر محاسبه می شود [kane, 1962]

$$g = -GD \left| \begin{matrix} z_2 & | & y_2 \\ z_1 & | & y_1 \end{matrix} \right| \left| \begin{matrix} x_2 & | & x_1 \\ x_1 & | & x_2 \end{matrix} \right| x \cdot \ln(y + R) + y \cdot \ln(x + R) + Z \arctan \frac{Z \cdot R}{x \cdot y} \quad (۲۰-۵)$$



شکل (۱۱-۵): الف- شکل هندسی برای به زون نزدیک ب- برای زون دور(دید از بالا)

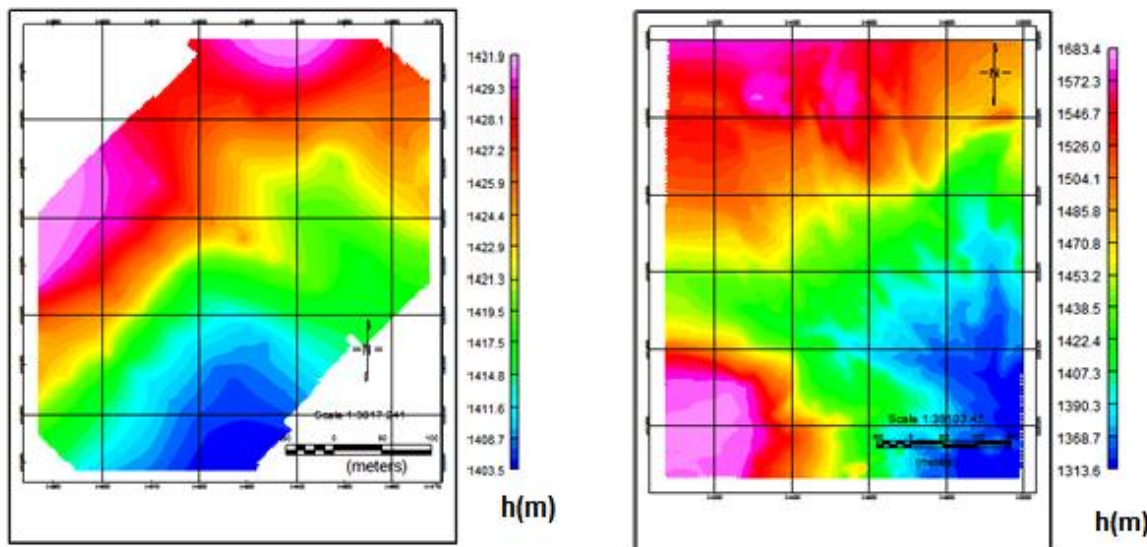
در شکل (۱۲-۵)، تغییرات تصحیح توپوگرافی نسبت به تغییرات ارتفاع نقاط اندازه‌گیری ارائه شده است. همان‌طور که گفته شد مقدار این تصحیح مثبت است و با مقدار گرانی بوگه ساده جمع می‌شود. برای نقاطی که ارتفاع بالایی دارند (تپه) و یا نقاطی که ارتفاع کمتری نسبت به دیگر نقاط دارند (دره)، نسبت به دیگر نقاط دیگر مقدار تصحیح توپوگرافی بیشتر است.



شکل (۱۲-۵): تصحیح توپوگرافی برای ارتفاعات مختلف

برای محاسبه‌ی اثر توپوگرافی با استفاده از ژئوسافت به یک نقشه‌ی توپوگرافی محلی (نزدیک) و یک نقشه‌ی توپوگرافی منطقه‌ای (دور) نیاز است. نقشه‌ی توپوگرافی محلی مربوط به محدوده‌ی اکتشافی است

که همزمان با برداشت داده ها توسط گروه نقشه برداری تهیه شد و نقشه توپوگرافی منطقه ای با مقیاس ۱:۲۵۰۰۰ از سازمان نقشه برداری خریداری شد. سپس این دو نقشه همراه با داده های گرانی به نرم افزار ژئوسافت فراخوانی شده و برای هر ایستگاه تصحیح توپوگرافی انجام شد.



شکل(۱۴-۵): نقشه های توپوگرافی محدوده های برداشت

شکل(۱۳-۵): نقشه های توپوگرافی دور محدوده های برداشت

### ۳-۳-۵ نقشه آنومالی بوگه

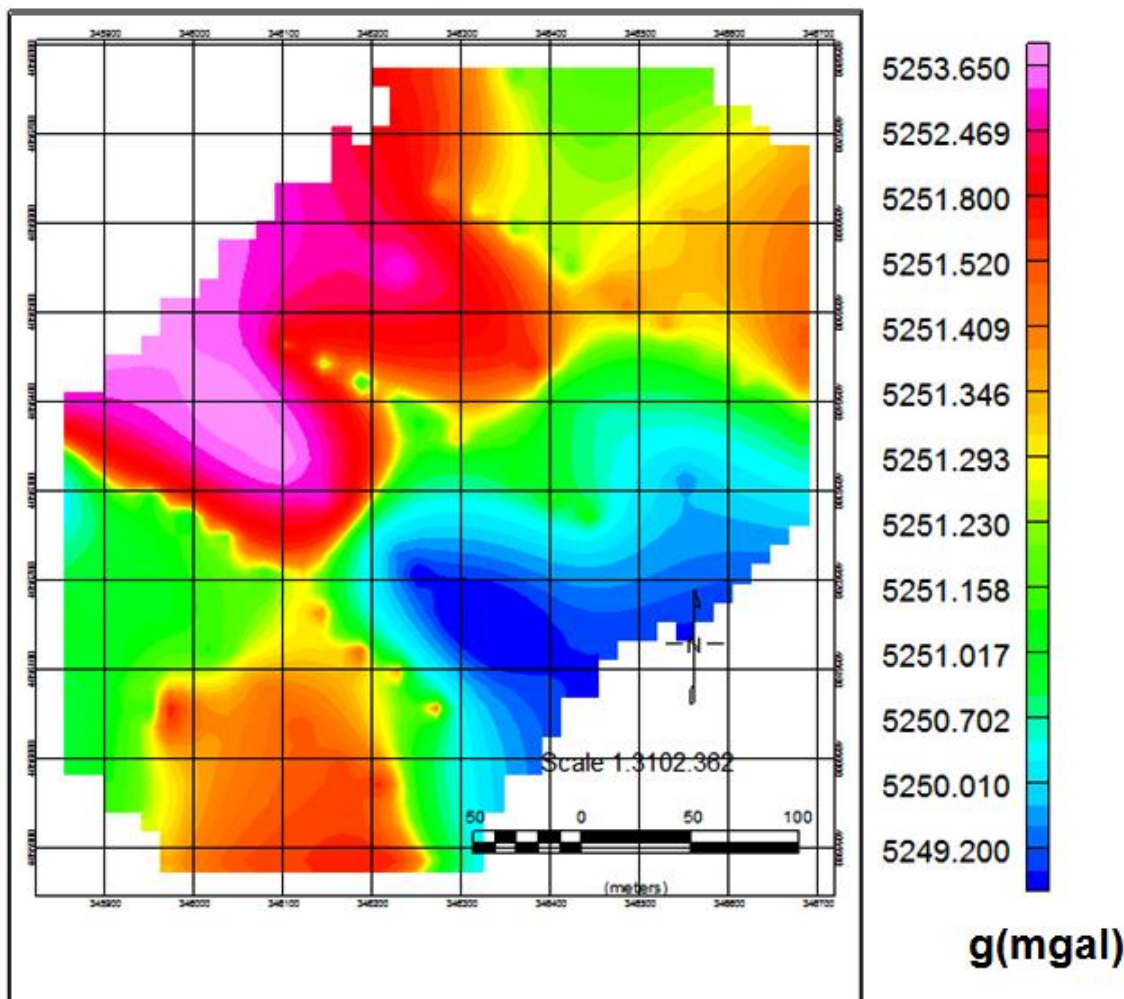
هدف نهایی از برداشت های گرانی دست یابی به مقادیری است که آنومالی بوگه نامیده می شود. مقدار آنومالی بوگه تابعی از اختلاف چگالی سنگ ها و مواد و حجم آن ها است. بدین ترتیب با این پارامتر می توان اهدافی را شناسایی کرد که دارای اختلاف چگالی مشخص با سنگ های میزبان اطراف خود باشند و حجم آن ها نیز قابل توجه باشد. باید توجه داشت که اثر افزایش اختلاف چگالی روی شدت آنومالی بوگه بسیار بیشتر از اثر افزایش حجم هدف مورد مطالعه است.

پس از برداشت داده های گرانی و اعمال تصحیحات مربوطه، پس از اعمال این تصحیحات به داده ها آنومالی بوگه کامل به دست آمد (شکل ۱۵-۵). به طور کلی آنومالی بوگه کامل از رابطه (۲۱-۵) محاسبه

می شود.

$$\Delta g_b = g_{dc} + dg_\varphi + dg_{FA} - dg_{sb} + dg_t \quad (21-5)$$

که در آن  $\Delta g_b$  آنومالی بوگه کامل،  $g_{dc}$  مقدار گرانی مشاهدهای است که تصحیح دریفت از آن کم شده است،  $dg_{sb}$  تصحیح عرض جغرافیایی،  $dg_{t}$  تصحیح هوای آزاد،  $dg_{\varphi}$  تصحیح بوگه ساده و تصحیح توپوگرافی است.



شکل (۱۵-۵): آنومالی بوگه کامل داده های گرانی محدوده برداشت

## ۴-۵ پردازش و تفسیر داده های گرانی منطقه کلاته خیج

### ۱-۴-۵ مقدمه

مقدار گرانی بوگه از اثرات زمین‌شناسی زیادی به دست می‌آید. هر الگوی دیده شده در نقشه گرانی بوگه مجموع گرانی‌های منابع محلی و منابع منطقه‌ای وسیع‌تر یا دورتر است. بنابراین در هیچ جا نمی‌توان آنومالی یک منبع را اندازه گرفت، به طوری که با آنومالی‌هایی ناشی از منابع دیگر پوشیده نشده باشد. به همین علت در اغلب موارد آنومالی‌های ساختمان‌های مورد توجه، به وسیله آنومالی‌های منطقه‌ای پنهان می‌شود.

پس از انجام برداشت‌های صحرایی و تصحیحات لازم، آنومالی بوگه کامل در شکل (۱۵-۵) در محیط نرم‌افزار ژئوسافت تهیه شده است که مجموع آثار گرانی ناشی از اجسام محلی و ساختارهای ناحیه‌ای است. مقدار گرانی اندازه گرفته شده در هر نقطه مجموع تمام اثرات ناشی از منابع زیر سطح را نشان می‌دهد. نقشه‌ی آنومالی بوگه داده‌های گرانی، مجموع اثرات توده‌هایی با چگالی متفاوت در اعمق مختلف می‌باشد که تأثیرات سنگ بستر با تغییرات خطی و ملایم مشخص می‌شوند. این اثرات خطی، آنومالی ناحیه‌ای نامیده می‌شوند. آنومالی ناحیه‌ای دارای فرکانس پایین و طول موج بلند می‌باشند، در حالی که آنومالی های باقی‌مانده که به دلیل وجود اجسام زیرسطحی کم عمق هستند، دارای فرکانس بالا و طول موج کوتاه می‌باشند.

مطابق شکل (۱۵-۵)، در نقشه‌ی آنومالی بوگه کامل داده‌های گرانی محدوده مورد مطالعه یک مقدار بیشینه گرانی و نیز یک مقدار کمینه گرانی مشاهده می‌شود. می‌توان به‌طور کیفی روند کلی آنومالی را در دو جهت شمال‌شرق - جنوب‌غرب و شمال‌غرب - جنوب‌شرق مشخص کرد. برای تفکیک بهتر آنومالی‌های منطقه، از روش‌های مختلف مانند روند سطحی، گسترش به سمت بالا، مشتقات،

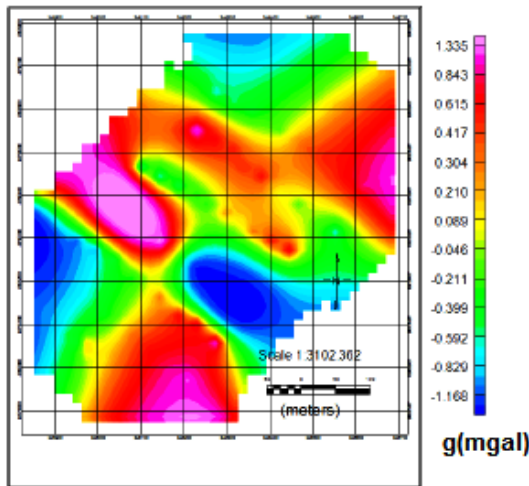
فیلترهای فازی و تخمین عمق اویلر استفاده گردید و نقشه‌ی هرکدام رسم گردید.

#### ۲-۴-۵ روند سطحی

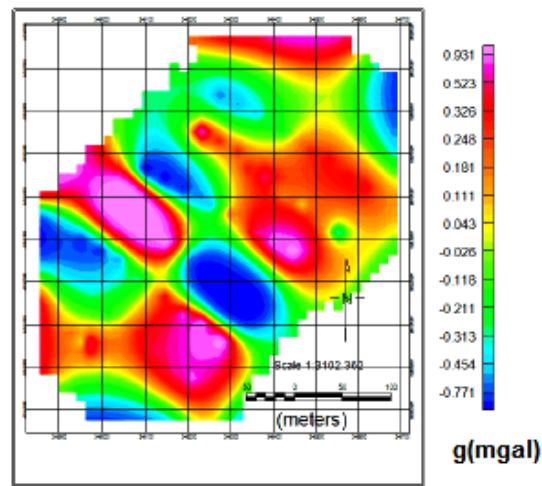
یکی از انعطاف پذیرترین روش‌های تحلیلی برای تعیین اثرات ناحیه‌ای، روش روند سطحی است. در این روش، میدان ناحیه‌ای از مقادیر مشاهده‌ای به وسیله روش کمترین مربعات تقریب زده می‌شود. این روش براساس محاسبه سطحی (به روش ریاضی) استوار است که بهترین تطابق را نسبت به مقادیر مشاهده‌ای داشته باشد.

در این روش بر داده‌های گرانی مشاهده‌ای سطحی عبور داده می‌شود که پیچیدگی معادله ریاضی سطح مورد نظر به روند حاکم بر داده‌ها بستگی دارد. درجه روند سطحی به پیچیدگی زمین‌شناسی ناحیه‌ای بستگی دارد. از درجه روند سطحی بیشتر برای همپوشانی بین مقادیر سطح مزبور و مقادیر داده‌های مشاهده‌ای در شرایط پیچیده‌تر زمین‌شناسی استفاده می‌شود.

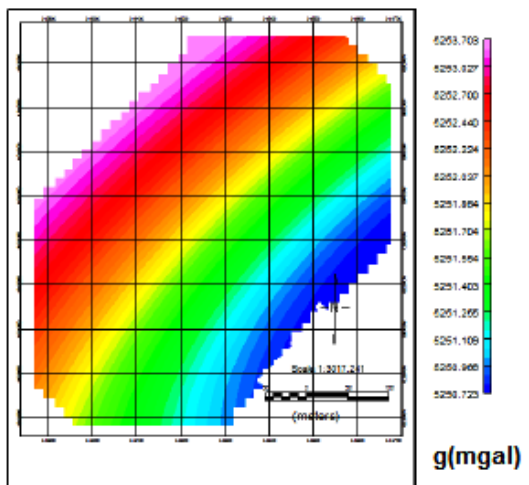
برای تفکیک آnomالی‌ها با استفاده از این روش، در نرم افزار ژئوسافت (Geosoft) نقشه آنومالی بوگه ناحیه‌ای با اعمال روش روند سطحی در دو روند متفاوت ۲ و ۳ مورد تفکیک قرار گرفت و نقشه‌های باقی-مانده‌ی حاصل از آن‌ها در شکل‌های (۱۶-۵) و (۱۷-۵)، آورده شده است. نقشه‌های باقی‌مانده به خوبی روند آنومالی محلی منطقه را مشخص می‌کنند که با آنومالی بوگه نیز تطابق خوبی دارد. همچنین در نقشه‌های آنومالی ناحیه‌ای (شکل‌های ۱۸-۵ و ۱۹-۵)، به خوبی روند کلی آنومالی منطقه مشخص شده است.



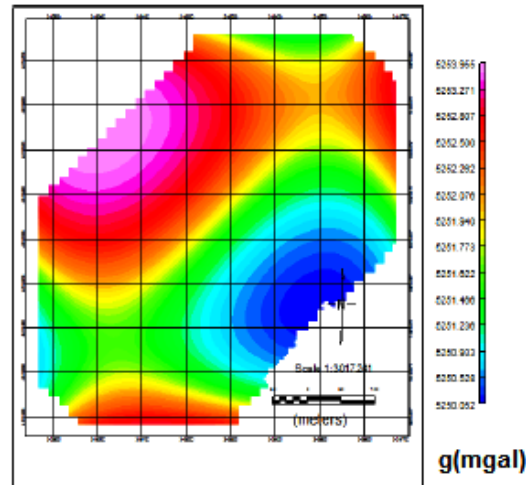
شکل (۱۷-۵): نقشه‌ی باقی مانده از روند سطحی درجه ۲



شکل (۱۶-۵): نقشه‌ی باقی مانده از روند سطحی درجه ۳



شکل (۱۹-۵): نقشه‌ی آنومالی ناحیه‌ای از روند سطحی درجه ۴



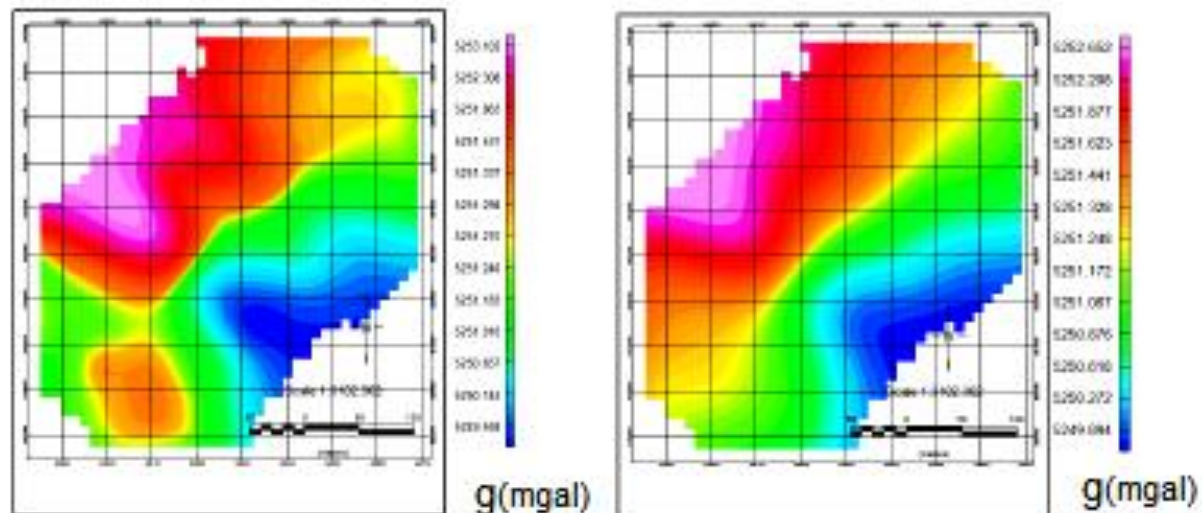
شکل (۱۸-۵): نقشه‌ی آنومالی ناحیه‌ای از روند سطحی درجه ۳

### ۳-۴-۵ روش گسترش میدان گرانی به سمت بالا

یکی از روش‌های تفکیک آنومالی میدان‌های پتانسیل، روش گسترش به سمت بالا می‌باشد. با کاربرد این روش تأثیرات سطحی حذف شده و تأثیرات عمیق به وضوح مشخص می‌گردند. در این روش داده‌های میدان پتانسیل به وسیله معادلات ریاضی از یک سطح مبنا بر روی سطوح ترازی در بالای آن تصویر می-

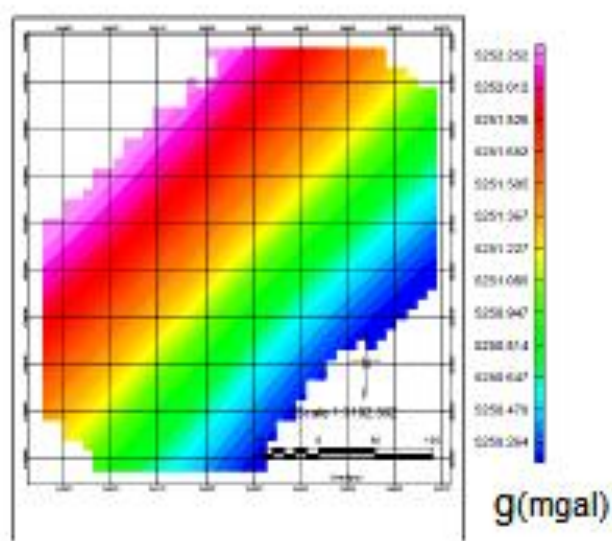
شوند. در نقشه های به دست آمده با استفاده از این روش، هرچه از سطح مبنا دور شویم، آnomالی های کوچک با طول موج کوتاه ضعیف شده و در نتیجه آnomالی های منطقه ای با طول موج بلند باقی میمانند. با استفاده از نرم افزار Geosoft، روش گسترش میدان گرانی به سمت بالا در ارتفاع های مختلفی از ۵ تا ۲۰۰ متری به فواصل ۵ متری بر روی نقشه آnomالی بوگه اعمال و نقشه ای تعدادی از آنها رسم گردید. (شکل های ۲۰-۵ و ۲۱-۵ و ۲۲-۵). سپس نقشه باقیماندهی هر یک از نقشه های فوق الذکر از نقشه آnomالی بوگه به دست آمد که تعدادی از آنها به عنوان نمونه ارائه شده اند (شکل ۵-۲۳). نقشه های حاصل از این روش در ارتفاع های بیش از ۱۵۰ متری یعنی ۱۶۰، ۱۷۰ و بالاتر، تفاوت چندانی با یکدیگر ندارند و این موضوع بیانگر این مطلب است که توده های آnomال از ریشه بالایی برخودار نبوده و جزء توده های سطحی محسوب می شود و عمدۀ تغییرات مشابه هم بوده و نشان دهنده تأثیرات عمیق هستند. در واقع در ارتفاعات بالاتر که به صورت روند خطی است، مربوط به اثرات ناحیه ای می باشد که تا عمق بالا گسترش یافته و آnomالی محلی منطقه به طور کامل حذف شده است.

در نقشه های آnomالی های باقیمانده حاصل از روند سطحی و گسترش به سمت بالا به خوبی روند گسل در جهت شمال شرق - جنوب غرب مشخص است. با توجه به مشاهده گسل بر روی نقشه آnomالی باقیمانده و عدم مشاهده آن بر روی نقشه های ناحیه ای حاصل از این روش ها، نتیجه گرفته می شود که گسل از گسترش عمقی زیادی برخوردار نیست.

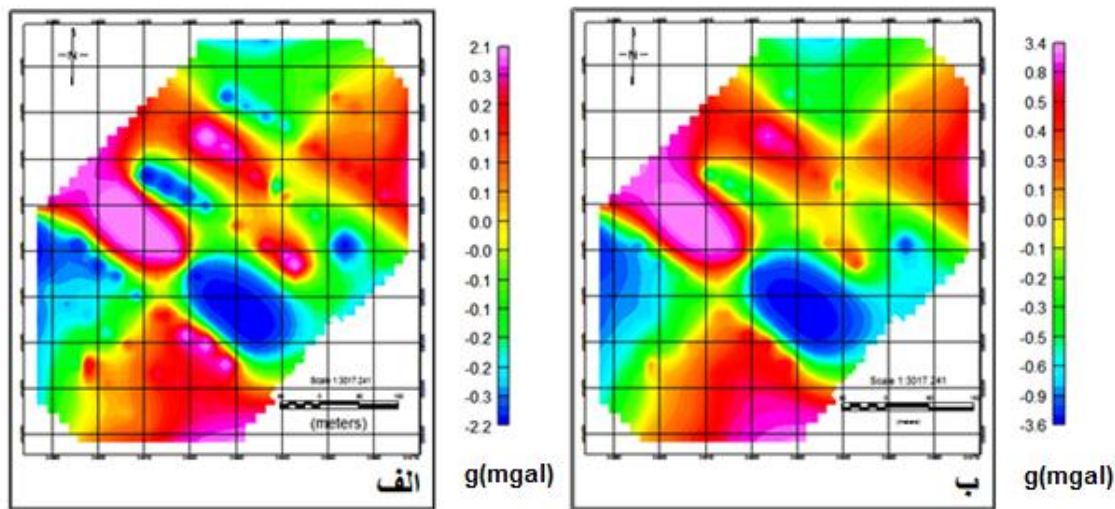


شکل (۲۱-۵): نقشه‌ی گسترش به سمت بالای ۳۰ متری

شکل (۲۰-۵): نقشه‌ی گسترش به سمت بالای ۲۰ متری



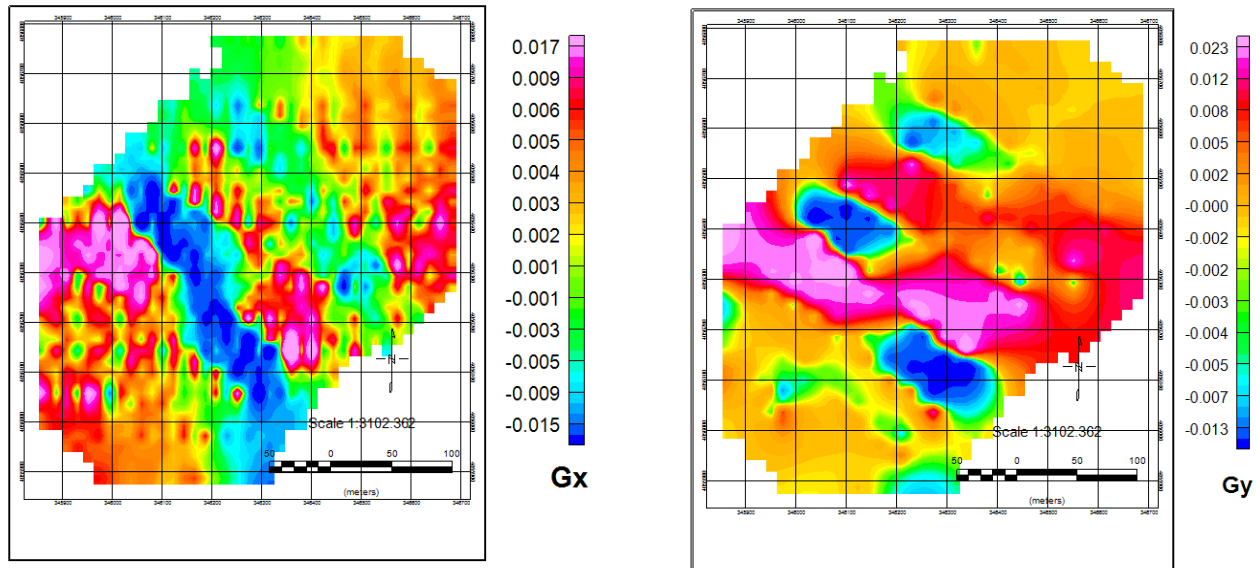
شکل (۲۲-۵): نقشه‌ی گسترش به سمت بالای ۱۵۰ متری



شکل(۲۳-۵): الف- باقی مانده ۳۰ متری ب- باقی مانده ۱۵۰ متری

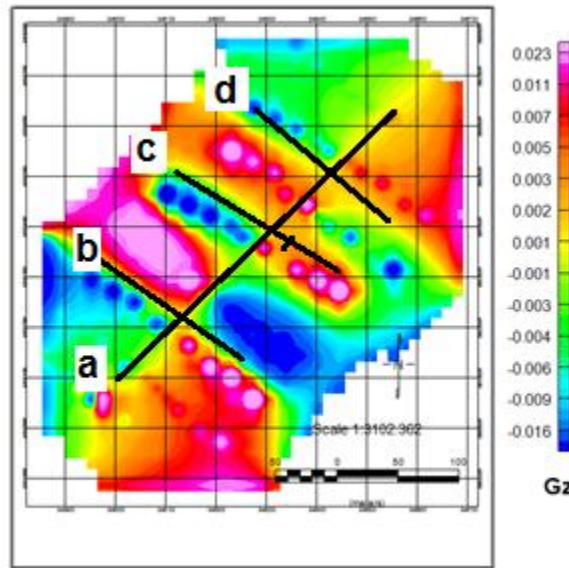
#### ۴-۴-۵ فیلترهای مشتق

نتایج فیلترهای مشتق افقی و قائم در شکل‌های (۲۴-۵)، (۲۵-۵) و (۲۶-۵) آورده شده است. با توجه به این نکته که بر روی مرز، آنومالی مشتق افقی ماکریم و مشتق قائم صفر می‌باشد می‌توان از نتایج فیلترهای مشتق، برای تخمین مرز استفاده کرد. از میان این نقشه‌ها، مشتق قائم نسبت به مشتق افقی تفکیک بهتری از آنومالی را نشان می‌دهد. به منظور بررسی وجود احتمالی ساختارهای کم عمق نظیر گسل، از فیلتر مشتق اول قائم که تغییرات میدان را در جهت عمودی نشان می‌دهد، استفاده می‌گردد. این روش به عنوان یک ابزار مناسب جهت آشکارسازی مولفه‌های میدان پتانسیل با طول موج کوتاه‌تر مربوط به آنومالی‌های کم عمق می‌باشد. نقاطی که جواب مشتق قائم آن‌ها صفر می‌باشد، با خطوط a ، b ، c و d بر روی نقشه مشخص شده است که در امتداد a و c ، با روند آنومالی بوگه نیز هم‌خوانی خوبی دارد.



شکل(۲۵-۵): نقشه‌ی مشتق افقی داده‌های منطقه در جهت X

شکل(۲۴-۵): نقشه‌ی مشتق افقی داده‌های منطقه در جهت Y

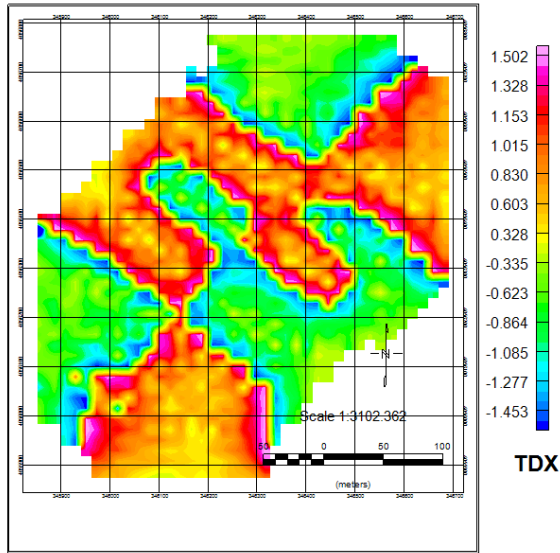


شکل(۲۶-۵): نقشه‌ی مشتق قائم داده‌های منطقه- بر روی خطوط a,b,c,d جواب مشتق قائم صفر است.

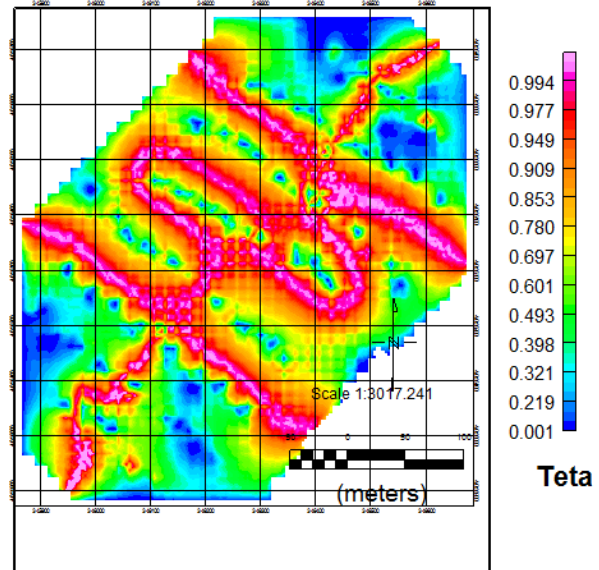
#### ۴-۵ فیلترهای فاز محلی

با توجه به این‌که فیلتر مشتق قائم یک فیلتر بالا گذر است، احتمال وجود نویز در نتایج این فیلتر وجود دارد، لذا فقط با توجه به نقشه‌ی مشتق قائم نمی‌توان آنومالی را با دقت خوبی مشخص کرد. به همین دلیل فیلترهای فاز محلی تتا، گرادیان افقی کل نرمالایز شده، زاویه تمایل و مشتق افقی کل زاویه‌ی تمایل بر روی داده‌های گرانی بوگه اعمال شد. همان‌طور که در شکل‌های (۲۴-۵)، (۲۵-۵) و (۲۶-۵) مشاهده می‌شود نقشه تتا، زاویه‌ی تمایل و مشتق افقی کل زاویه‌ی تمایل قدرت تفکیک بهتری دارند. با توجه به این‌که مقدار زاویه تمایل، روی آنومالی‌ها، مثبت و در خارج از توده‌ها، منفی است لذا مرز آنومالی‌ها، شکستگی‌ها را به آسانی می‌توان مشخص نمود. همچنین بر روی مرز آنومالی فیلتر تتا ماکزیمم می‌باشد، می‌توان با توجه به نتایج این دو فیلتر مرز آنومالی را در دو جهت شمال‌شرقی – جنوب‌غربی و شمال‌غربی – جنوب‌شرقی مشخص کرد. در واقع با استفاده از نتایج این فیلترها، علاوه بر گسل کلاته خیج، احتمال وجود گسل‌هایی در جهت شمال‌غربی – جنوب‌شرقی نیز وجود دارد.

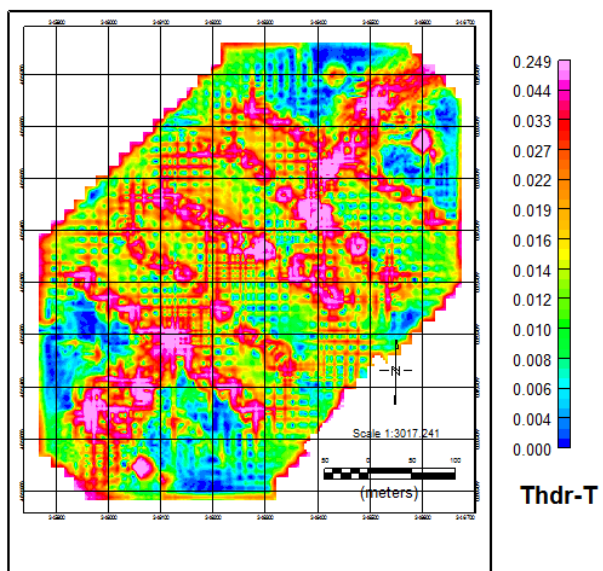
در تفسیر داده‌های گرانی منطقه، این نکته حائز اهمیت می‌باشد که هرچند با استفاده از فیلترهای مشتق قائم و فاز محلی، این احتمال وجود دارد که گسل‌هایی در امتداد شمال‌غربی – جنوب‌شرقی نیز وجود داشته باشند ولی با توجه نقشه‌های گسترش فراسو و نقشه‌های ناحیه‌ای از روند سطحی درجه ۲ و ۳، می‌توان نتیجه گرفت که این آنومالی‌ها ناشی از شکستگی‌های سطحی می‌باشند. نقشه‌ی زمین‌شناسی منطقه نیز با این نتایج هم‌خوانی دارد.



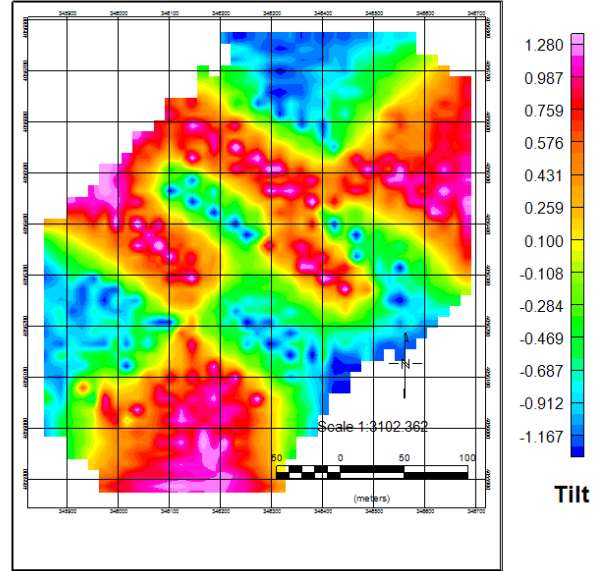
شکل(۲۸-۵): پاسخ فیلتر TDX از داده های گرانی منطقه



شکل(۲۷-۵): پاسخ فیلتر تتا از داده های گرانی منطقه



شکل(۳۰-۵): پاسخ فیلتر مشتق افقی کل زاویه ای تیلت از داده های گرانی منطقه

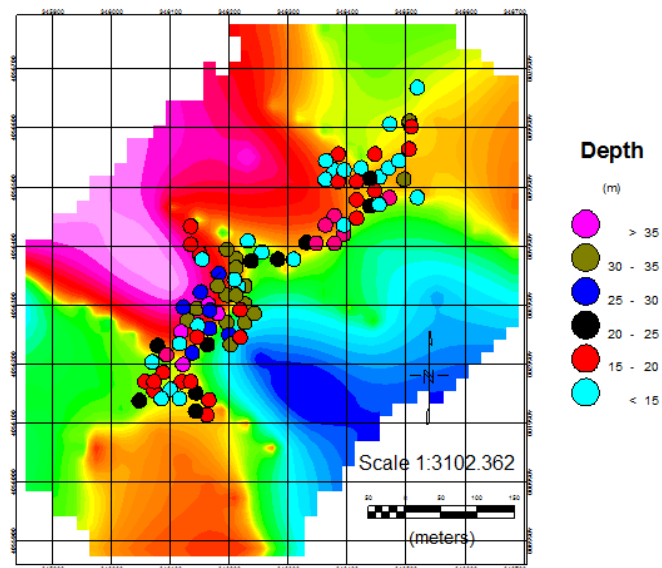


شکل(۲۹-۵): پاسخ فیلتر تیلت از داده های گرانی منطقه

#### ۴-۶ تخمین عمق با استفاده از روش اویلر دیکانولوشن

همان طور که گفته شد روش اویلر یک روش اتوماتیک در تخمین عمق است و معمولاً برای بررسی یک حجم وسیع از داده ها به کار می رود. یکی از تفاوت های عمدۀ روش اویلر با سایر روش های دیگر تخمین عمق، این است که در این روش هیچ فرض خاصی در مورد نوع ساختار زمین شناسی مورد مطالعه نمی شود.

پس از آن که مرز گسل با استفاده از فیلتر های مختلف مشخص شد در این قسمت با استفاده از روش اویلر دیکانولوشن عمق گسل به طور کمی بر روی نقاط مرزی گسل تخمین زده شد. هر چند با توجه به نتایج گسترش فراسو به طور کیفی تخمین زده شد که گسل عمق بالایی ندارد. در روش اویلر از ضریب ساختاری ۰/۵ و اندازه هی پنجره هی ۱۱×۱۱ که در فصل چهار برای مدل مصنوعی به دست آمد، استفاده شد. در شکل (۳۱-۵) نتایج روش اویلر مشخص شده است که حداقل عمق تخمین زده شده ۳۸ متر می باشد.



شکل (۳۱-۵): تخمین عمق با استفاده از روش اویلر  
(ضریب ساختاری ۰/۵ و اندازه هی پنجره هی ۱۱×۱۱)

## ۷-۴-۵ بررسی پارامترهای گسل

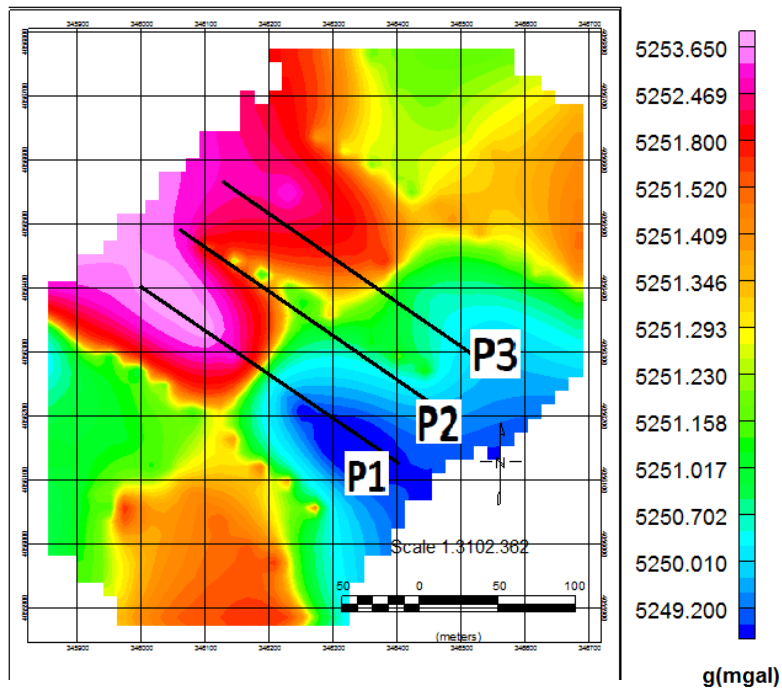
شناسایی پارامترهای اصلی یک گسل مثل امتداد، مقدار شیب، جهت شیب و عمق گسل از موارد اصلی در تعیین و تشخیص یک گسل با استفاده از روش های ژئوفیزیکی است. در مطالعه حاضر پس از آن که پردازش داده ها با روش های مختلف صورت گرفت، وضعیت گسل به لحاظ امتداد، جهت شیب و عمق مشخص گردید. در ادامه به منظور بررسی بهتر و بیشتر، پروفیل هایی روی گسل و در امتداد عمود بر آن تهیه شد (شکل ۳۲-۵). با استفاده از مدل های مصنوعی که در فصل قبل تهیه و ارائه گردید، می توان به راحتی امتداد گسل کلاته خیج را مشخص نمود، به طوری که امتداد این گسل در راستای شمال شرق - جنوب غرب بوده که ادامه ی گسل اصلی که از سیاه کوه می گذرد، می باشد و تا شمال شرق شهر کلاته خیج ادامه دارد.

با توجه به این که نقشه های حاصل از تفکیک آنومالی ها هیچ گونه اطلاعات کمی در مورد پارامترهای هندسی (مانند شیب و...) و فیزیکی (مانند دانسیته و...) آنومالی به دست نمی دهند، لذا برای تعیین این پارامترها، بر روی ساختارهای مورد نظر، مدل سازی معکوس انجام شد. در این پایان نامه با استفاده از نرم افزار مدل ویژن<sup>۱</sup> (نسخه ۱۱) مدل سازی دو بعدی بر روی داده های منطقه انجام گرفت. برای مدل سازی دو بعدی ابتدا یک پروفیل در جهت عمود بر امتداد آنومالی گرانی تهیه و داده های گرانی در راستای این پروفیل (یعنی پروفیل ۲). سپس مقدار چگالی زمینه و مدل اولیه بر اساس داده ها تعیین شد. در ادامه یک مدل برای گسل، به عنوان فرض اولیه بر روی مقطع عرضی آن پروفیل رسم و جواب حاصل از آن به وسیله مدل سازی پیشرو محاسبه گردید. برای این که پاسخ مدل اولیه به آنومالی گرانی داده های اندازه گیری شده نزدیک باشد و مدل سازی پیشرو با دقت خوبی انجام شود، از اطلاعات قبلی (زمین شناسی منطقه، نتایج روش های اویلر و...) استفاده شد. در مرحله بعد با بررسی خطای حاصل

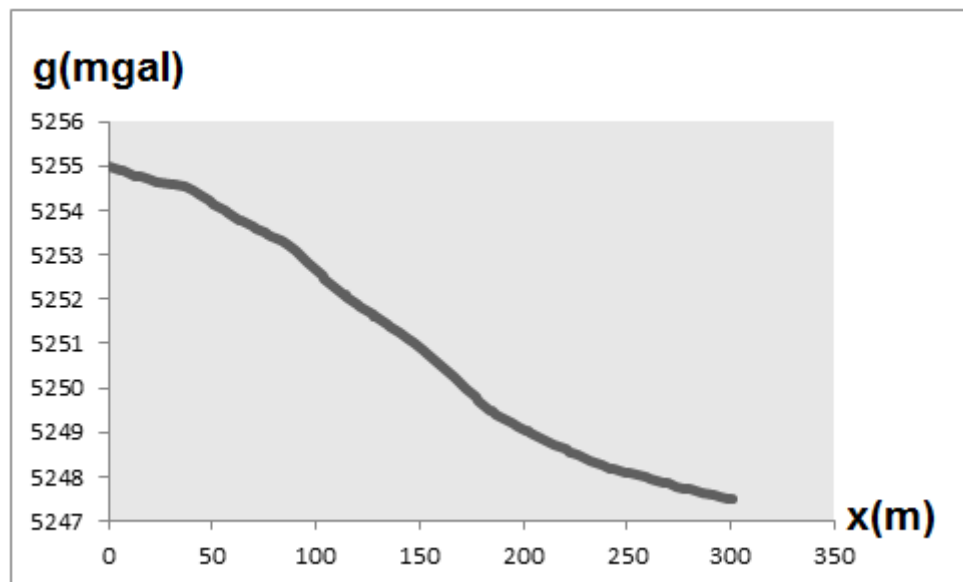
<sup>1</sup>Modelvision pro

از این مدل فرضی در باکس Inversion مشخص گردید که خطای مدل سازی بیشتر از خطای هدف (که در اینجا ۲ انتخاب شده است) می باشد. لذا جهت انطباق منحنی های مقادیر مشاهده ای (داده های آنومالی بوگه) و محاسبه ای از مدل سازی و کاهش خطای مدل سازی معکوس پارامتری انجام گردید. بدین منظور ابتدا در باکس مدل سازی معکوس، پارامترهای هندسی (از جمله عمق مدل و...) و پارامترهای فیزیکی (از جمله چگالی مدل و...) مدل مورد نظر متغیر در نظر گرفته شد و با عملیات تکرار (۲۰ تکرار) جواب حاصل از مدل محاسبه گردید. این عملیات تکرار شد تا این که خطای مدل سازی به کمتر یا مساوی خطای هدف رسید و منحنی های جواب مدل و آنومالی بوگه برهمنمودار جریان در شکل (۳۶-۵) آورده شده است.

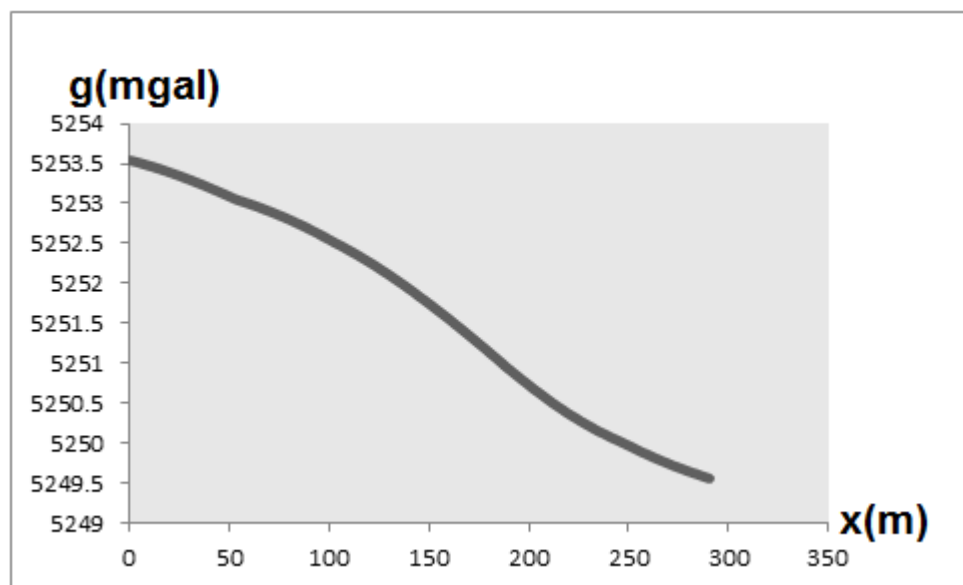
با اتمام مدل سازی، پارامترهای هندسی و فیزیکی هر یک از ساختمان ها تعیین گردید. نتایج حاصل از مدل سازی دو بعدی بر روی پروفیل در جدول (۲-۵) آورده شده است. با توجه به نتایج حاصل از مدل سازی دو بعدی عمق گسل  $17/6$  متر و شیب آن  $54/3$  درجه و در جهت جنوب غربی تخمین زده شد. با توجه به اطلاعات حاصل می توان گفت که گسل کلاته خیج با عملکرد امتداد لغز و شیب لغز معکوس، یک گسل مورب می باشد.



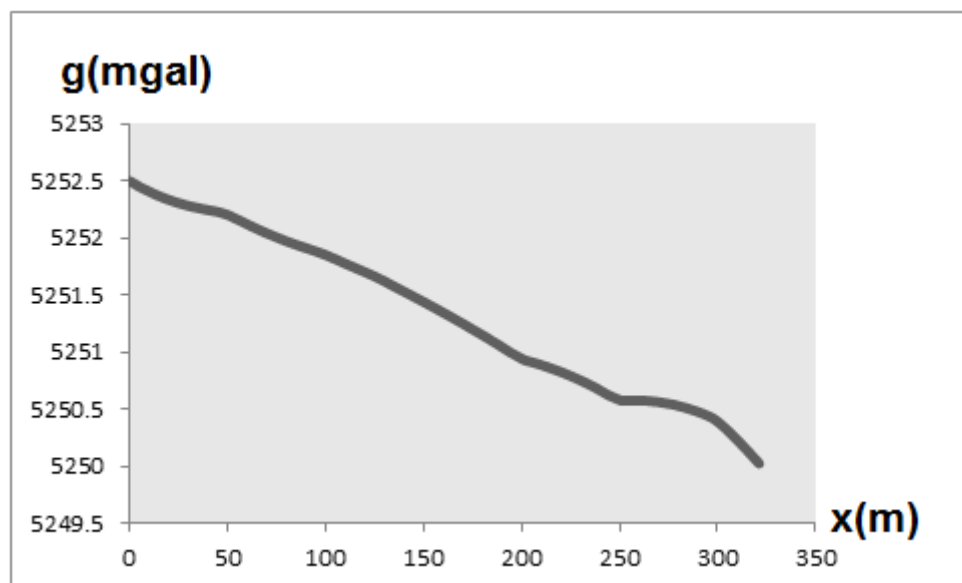
شکل(۳۲-۵): رسم ۳ پروفیل p1,p2,p3 بر روی آنومالی بوگه منطقه



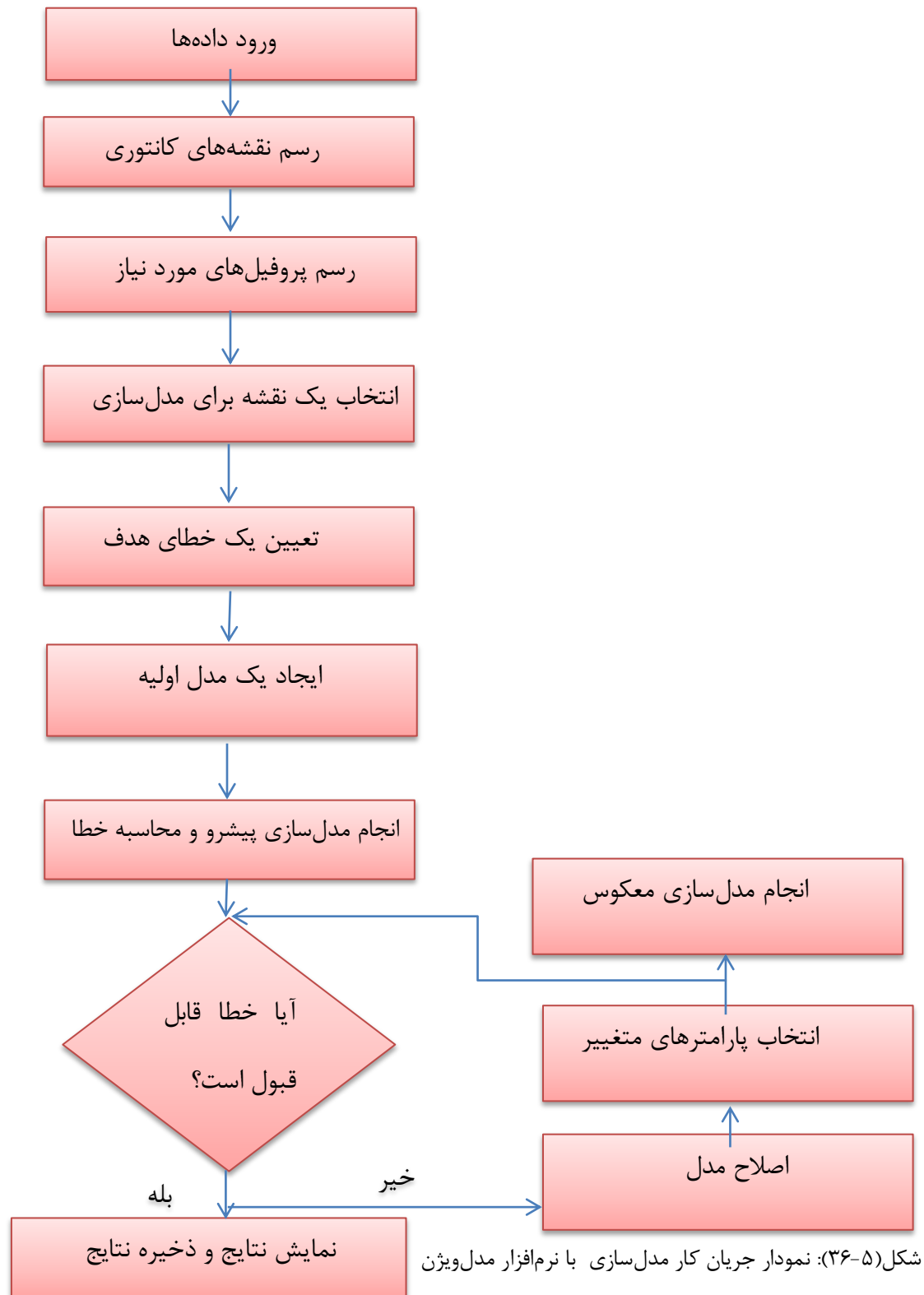
شکل(۳۳-۵): پاسخ گرانی پروفیل p1

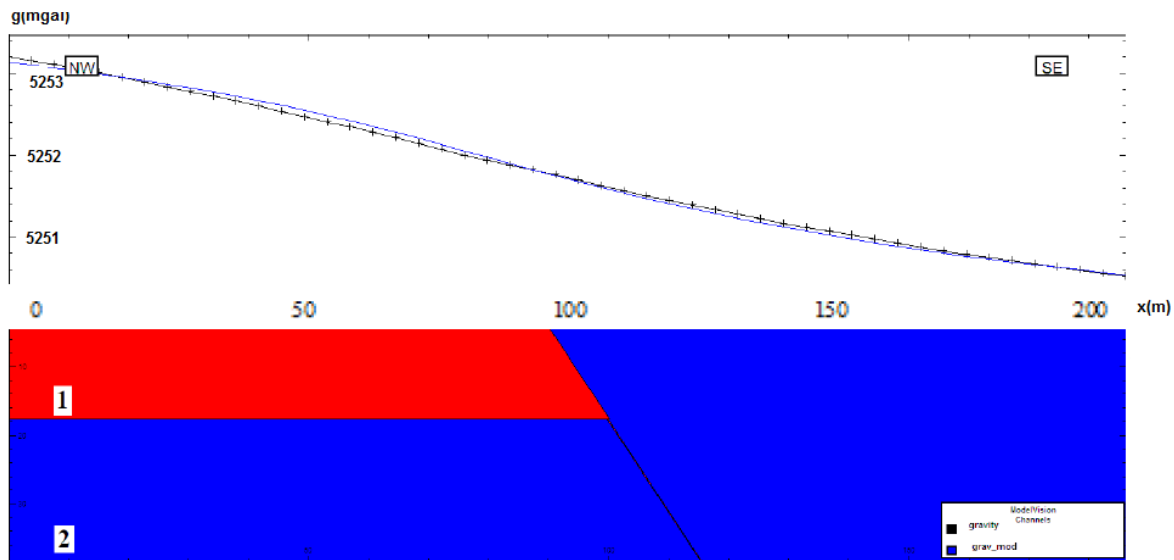


شکل(۵-۳۴): پاسخ گرانی پروفیل p2



شکل(۵-۳۵): پاسخ گرانی پروفیل p3





شکل (۳۷-۵): مدل سازی دو بعدی با استفاده از نرم افزار مدل ویژن با خطای  $RMS = 1/68$

جدول (۲-۵): نتایج حاصل از مدل سازی دو بعدی

جهت شیب	شیب (درجه)	عمق (متر)	چگالی ( $g/cm^3$ )	محیط
SE	۵۴/۳	۱۷/۶	۲/۱۶	۲

# **فصل ششم**

## **نتائج و پیشنهادات**

## ۱-۶ نتیجه گیری

برای شناسایی بی‌هنجاری‌های جانبی ساختارهای زمین‌شناسی، به ویژه محل مرزهای آن‌ها، داده‌های میدان پتانسیل مزایای منحصر به فردی دارند. مرزهای بی‌هنجاری شامل خطوط گسل و مرزهای زمین‌شناسختی یا واحدهای سنگی با چگالی متفاوت، طبیعت مغناطیسی و ... می‌باشند. برای تفسیر داده‌های میدان پتانسیل تاکنون روش‌های متعددی ارائه شده است. جداسازی آنومالی‌های ناحیه‌ای و باقی‌مانده، تخمین مرز و تخمین عمق آنومالی، از مهم‌ترین فاکتورهایی می‌باشند که در تفسیر داده‌های میدان پتانسیل می‌توان به آن‌ها اشاره کرد که در این تحقیق برای شناسایی مرز گسل کلاته خیج از فیلترهای مشتقات، سیگنال تحلیلی و فاز محلی (مشتق افقی کل زاویه تمایل، نقشه تنا، گرادیان افقی کل نرمالیزه شده)، استفاده شده است و سپس با استفاده از روش اویلر عمق بر روی نقاط مرزی تخمین زده شد.

در این مطالعه پس از بازدید زمین‌شناسی از منطقه مورد نظر و با استفاده از اطلاعات تکتونیکی موجود، روند گسل به صورت شمال‌شرقی-جنوب‌غربی تعیین شد و بر این اساس و نیز با توجه به مدت زمان در نظر گرفته شده برای انجام پروژه، ۸ پروفیل گرانی در راستای عمود بر امتداد گسل برداشت شد. در این تحقیق ابتدا فیلترهای مختلف شناسایی مرز، بر روی مدل‌های مصنوعی به کار برده شد و سپس با استفاده از روش اویلر، عمق نقاط مرزی تخمین زده شد. دو پارامتر اساسی در روش اویلر، انتخاب ابعاد پنجره و شاخص ساختاری مناسب می‌باشند پس از آنکه این روش‌ها به وسیله‌ی مدل‌های مصنوعی اعتبارسنجی شدند بر روی داده‌های گرانی منطقه مورد مطالعه-گسل کلاته خیج به کار برده شدند.

با استفاده از فیلترهای مختلف راستای گسل به صورت شمال‌شرقی-جنوب‌غربی تعیین شد و برای بررسی شب گسل ابتدا سه پروفیل (p1، p2 و p3) عمود بر راستای گسل ترسیم گردید. از آنجایی که نقشه‌های حاصل از تفکیک آنومالی‌ها هیچ‌گونه اطلاعات کمی در مورد پارامترهای هندسی (مانند عمق، شب و ...) و فیزیکی (مانند دانسیته و ...) آنومالی به دست نمی‌دهند، لذا جهت تعیین این پارامترها، با

استفاده از نرم افزار Modevision pro مدل سازی دو بعدی بر روی داده های منطقه (پروفیل شماره ۲) انجام گرفت و شیب گسل  $54/3$  درجه و عمق گسل  $17/6$  متر تخمین زده شد. همچنین با استفاده از روش اویلر حداکثر عمق گسل  $38$  متر تخمین زده شد. همچنین بر اساس نتایج حاصل از نقشه های ادامه فراسو نیز نشان می دهند که گسل از عمق بالایی برخوردار نیست.

بنابراین با توجه به شواهد زمین شناسی صحرایی (قطع شدگی رسوبات کواترنر) و همچنین اطلاعات حاصل از داده های گرانی سنجی و مدل سازی می توان نتیجه گرفت که گسل کلاته خیج یک گسل فعل بوده و مشخصه ای آن به صورت زیر است: N45E/54.3SE

## ۲-۶ پیشنهادات

در ادامه پیشنهادات زیر که می تواند راه گشای کارهای آینده باشد، ارائه می گردد:

- ❖ علاوه بر روش گرانی سنجی، پیشنهاد می شود از دیگر روش ها مانند مقاومت ویژه، مغناطیس - سنجی و ... برای اطمینان از صحت نتایج استفاده شود.
- ❖ با توجه به اینکه در نتایج روش اویلر عوامل متعدد دخیل می شود لذا پیشنهاد می شود همواره از روش اویلر و دیگر روش های تخمین عمق به صورت تلفیقی استفاده شود.
- ❖ روش لرزه نگاری انکساری (شکست مرزی) بر روی این گسل مطالعه شود.
- ❖ لرزه خیزی گسل با توجه به شرایط موجود در منطقه بررسی شود.

## فهرست منابع

### منابع فارسی

آزادی، آ.، (۱۳۸۸)، "ویژگی‌های زمین‌شناسی ژئوتکنیکی و ژئوفیزیکی گسل توس در شمال شهر مشهد" مجله فیزیک زمین و فضا شماره ۴ - صفحه ۳۴-۱۷.

آگاه آ.، دولتی اردنه‌جانی ف، مرادزاده ع و طباطبایی رئیسی ه، (۱۳۸۳) "تلقیق داده‌های مغناطیسیس هوایی و زمینی جهت شناسایی پتانسیل‌های نفتی ناحیه‌ی طبس"، هشتمین همایش زمین‌شناسی ایران، دانشگاه صنعتی شاهروود.

السوقی، م.، (۱۳۸۶)، "تفسیر داده‌های ژئوفیزیکی ناحیه مشهد - چنان‌ران جهت اکتشاف تله‌های ساختمانی"، ششمین کنفرانس دانشجویی مهندسی معدن - صفحه ۴۷-۵۲ و "Mجله‌ی فیزیک، زمین و فضا"، اویسی مؤخر، م.، (۱۳۸۷)، " تشخیص گسل مدفون صحنه در منطقه کرکسار با استفاده از روش مغناطیسی VLF" و پورکرمانی، م.، آرین، م.، ۱۳۷۷، لرزه‌خیزی ایران. دانشگاه شهید بهشتی.

توكلی، ش.، (۱۳۷۵)، "ژئوفیزیک (رشته زمین‌شناسی)" انتشارات دانشگاه پیام نور، ۲۲۰ سازمان نقشه برداری کشور، (۱۳۸۸)، اطلس راه‌های ایران. جعفریان، م.ب.، جلالی، ع.، (۱۳۸۳)، "نقشه زمین‌شناسی خوش‌بیلاق به مقیاس ۱:۱۰۰۰۰۰" ، سازمان زمین‌شناسی و اکتشافات معدنی کشور.

حدادیان، آ.، (۱۳۹۰)، " شناسایی دقیق مرزهای توده‌های آنومال در اکتشاف روش‌های میدان پتانسیل با فیلترهای فاز محلی" پایان‌نامه کارشناسی ارشد ، دانشگاه صنعتی شاهروود.

دولتی اردیجانی، ف، (۱۳۷۵)، "تفکیک آنومالی‌های گرانی منطقه بابلسر به روش‌های روند سطحی ارتونرمال" نهمین کنفرانس ژئوفیزیک ایران، تهران.

دولتی اردیجانی، ف .. (۱۳۷۲)، "برداشت اطلاعات خام و تعبیر و تفسیر گرانی‌سنجدی منطقه اکتشافی مرودشت" پایان‌نامه کارشناسی ارشد، دانشگاه امیر کبیر (دانشکده معدن)، تهران، ۲۲

علمدار، ک .. انصاری ع .. (۱۳۸۸)، "استفاده از معادله‌ی همگن اویلر در تخمین عمق ناهنجاری میدان پتانسیل" مجله‌ی علمی - پژوهشی مهندسی معدن.

کلاگری، ع .ا .. (۱۳۷۱)، "اصول اکتشافات ژئوفیزیکی" کلاگری، ع .ا .. ۵۸۵  
نورافکن، ا .. (۱۳۹۰) "تحلیل ساختاری چین خوردگی و گسلش در ناحیه چهل دختر (شمال خاوری شاهروド)" پایان‌نامه کارشناسی ارشد، دانشگاه صنعتی شاهروド.

نوروزی، غ. ح .. (۱۳۹۰)، "ژئوفیزیک اکتشافی" ، انتشارات دانشگاه تهران، ۵۹۳

## منابع انگلیسی

- Blakely R. J. (1996) “*Potential theory in gravity and magnetic applications*” Cambridge University Press, 441.
- Cooper G. R. J. and Cowan D. R. (2006) “*Enhancing potential field data using filters based on the local phase*” Computers & Geoscience, 32, 1585-1591.
- Cooper G.R.J.(2006) “*Obtaining dip and susceptibility information from Euler deconvolution using the Hough transform*” Computers & Geosciences 32,PP .1592-1599.
- Chakravarthi V. and Sundararajan N. (2004b) “*Ridge regression algorithm for gravity inversion of fault structures with variable density*” Geophysics 69 (6), 1394–1404.
- Chappell A. and Kusznir N. (2008) “*An algorithm to calculate the gravity anomaly of sedimentary basins with exponential density-depth relationships*” Geophysical Prospecting, **56**, 249–258.
- Cordell L. (1973) “*Gravity analysis using an exponential density-depth function—San Jacinto Graben, California*” Geophysics, **38**, 684–690.
- Dobrin M. B. and Savit C. H. (1988) “*Introduction geophysical prospecting*” McGraw-Hill, 867.
- Durrheim R.J. and Cooper G.R.J. (1998) “*A Program for the euler deconvolution of magnetic and gravity data*” Computers & Geosciences, 24, NO.6, PP. 545-550.
- FitzGerald D., Reid A. and McInerney P. ( 2004) “*New Discrimination Techniques for Euler Deconvolution*” Computers and Geosciences, 30, PP. 461-469.
- Garcia-Abdeslem J. (1992) “*Gravitational attraction of a rectangular prism with depth-dependent density*” Geophysics, 57, 470–473.
- Geldart L.P., Gill D.E., Sharma B. (1966) “*Gravity anomalies of two-dimensional faults*” Geophysics 31 (2), 372–397.
- Hinze W. J. (1990) “*The role of gravity and magnetic methods in engineering and environmental studies. In: Ward (Ed), Geotechnical and environmental geophysics*” The Society of Exploration Geophysicists, 75-126.
- Hinze W.J. (2003) “*Bouguer reduction density, why 2.67?*” Geophysics 68 (5), 1559–1560.

Hood P.J. (1963) “*Gradient measurements in aeromagnetic surveying*” Geophysics, V, 30, NO. 1. PP. 891-902.

Javidfakhr B., Bellier O., Shabanian E., Siame L., Leanni L., Bourles D. and Ahmadian S., (2011a), “*Fault kinematics and active tectonics at the southeastern boundary of the eastern Alborz (Abr and Khij fault zones)*”, Geodynamic implications for NNE Iran, Journal of Geodynamics, doi: 10.1016.

Kane M.F. (1962) “*A comprehensive system of terrain using a digital computer*”, Geophysics, V, 27,no 4.

Li X. (2006) “*Understanding 3D analytic signal amplitude*” Geophysics, 71(2) L13-L16.

Miller H. and Singh V. (1994) “*Potential field tilt-A new concept for location of potential field sources*” Journal of Applied Geophysics, 32, 213–217.

Murthy I.V.R. (1998) “*Gravity and Magnetic Interpretation in Exploration Geophysics*” Geological Society of India, Bangalore, 363 pp.

Murthy I.V.R., Rao D.B. (1980) “*Interpretation of gravity anomalies over faults and dykes by Fourier transforms, employing end correction*” Geophysical Research Bulletin 18, 95–110.

Nabighian M. (1972), “*The analytic signal of two-dimensional magnetic bodies with polygonal cross-section: Its properties and use for automated anomaly interpretation*” Geophysics, 37 (3), 507- 517.

Nagy N. (1966) “*The gravitational attraction of a right rectangular prism*” Geophysics, V, 31, no 2.

Paul M. K., Datta S. and Banerjee B. (1966) “*Direct interpretation of two-dimensional structural faults from gravity data*” Geophysics, v, 31,940-948.

Reid A.B., Allsop J.M, Granser H., Millett A.J. and Somerton I.W. (1990) , “*Magnetic interpretation in three dimensions using Euler deconvolution*” Geophysics,V. 55, NO. 1, PP. 80-91.

Reynolds J. M. (1997) “*An introduction to applied and environmental geophysics*” John Wiley & Sons, 796.

Sprenke K. F. (1991) “*Gravity modeling with LOTUS 1-2-3*” *Computers & Geosciences*, **17**, 719-725.

Stavrev P.Y. (1997) “*Euler deconvolution using differential similarity transformations of gravity or magnetic anomalies*” *Geophysical Prospecting*, V. 45, PP. 207-246.

Sundararajan N., Brahmam G.R. (1998) “*Spectral analysis of gravity anomalies caused by slab-like structures: a Hartley transform technique*” *Journal of Applied Geophysics*, 39(1),53–61.

Sundararajan N., Mohan N.L., Rao S.V.S. (1983) “*Gravity interpretation of 2D fault structures using Hilbert transforms*” *Journal of Geophysics* 53, 34–4.

Telford W. M. Geldart L. P. and Sheriff R. E. (1990) “*Applied geophysics*” Second edition, Cambridge University Press, 726.

Thompson D. T. (1982) “*A new technique for making computer-assisted depth estimates from magnetic data*” *Geophysics*, 47, 31-37.

Verduzco B. J. D., Fairhead C. M., Green C. , and MacKenzie (2004) “*New insights into magnetic derivatives for structural mapping*” *The Leading Edge*, 23, 116–119.

Wanyin W., Yu P. and Zhiyun Q. (1995) “*A new edge recognition technology based on the normalized vertical derivative of the total horizontal derivative for potential field data*” *Applied Geophysics*, 6(3), 226-233.

Wijns C., Perez C., and Kowalczyk P. (2005) “*Theta map: Edge detection in magnetic data*” *Geophysics*, 70(4), L39–L43.

# پیوست‌های پایان‌نامه

پیوست الف: کدهای نوشته شده در محیط نرم افزار متلب  
پیوست ب: محاسبهی ضریب ساختاری برای ناهمجاريهای مغناطیسی  
دايك و كتاكت شبکه

## مدل مصنوعی کنتاکت قائم و شیبدار

```

clear all;clc;
%
% "thinrod" computes the vertical gravity attraction of a
thin rod

%
% Input parameters:
%
% L = length of thin rod (m)
% rho = density contrast (kg/m^3)
% s = cross section of thin rod (m^2)
% alpha = inclination frome horizon (degree)
%
% Output parameters:
%
% Vertical gravity attraction, g, in mGal.

G=6.67*10^-11; % (N.m^2/kg^2)

L=800;
rho = 5000;
s=1;
alpha1=90;
alpha2=60;
alpha3=45;
x=0:5:600;
z=100; % z is top of thin rod depth(m)
alpha=[alpha1 alpha2 alpha3];
nx = length(x);
g=zeros(3,nx);
for i=1:3
    for j=1:nx
        if j==(nx-1)/2+1 x(j)=x(j+1); end
        term1=(G*rho*s)./(x(j).*sin(alpha(i).*pi/180));

        term2=(x(j)+z*cot(alpha(i)*pi/180))./((z^2*(csc(alpha(i)*pi/180))^2+2*
z.*x(j)*cot(alpha(i)*pi/180)+x(j).^2).^0.5);

        term3=(x(j)+z*cot(alpha(i)*pi/180)+L*cos(alpha(i)*pi/180))./(((L+z*csc
(alpha(i)*pi/180))^2+x(j).^2+2.*x(j).* (L*cos(alpha(i)*pi/180)+z*cot(al
pha(i)*pi/180))).^0.5);
        g(i,j)=term1.* (term2-term3);
    end
end
g = g*10^-5; % transforming g into mGal

```

```
%=====
% =====
plot(x,g(1,:),'r',x,g(2,:),'g',x,g(3,:),'b');
Mg=max(max(g));mg=min(min(g));
axis([-100 100 0 1.3*Mg]);
xlabel('distance (meter)', 'fontsize',10,'fontweight','b');
ylabel('gravity (mGal)', 'fontsize',10,'fontweight','b');
for i=1:3
gg=g(i,:);Mg=max(gg);
for j=1:nx
if gg(j)==Mg
xx=x(j);
end
end
if i==1 text(xx,Mg,'alpha=30');end
if i==2 text(xx,Mg,'alpha=60');end
if i==3 text(xx,Mg,'alpha=90');end
end
g1=g';
x1=x';
save('output','g1')
%*****
```

\*\*\*\*\*

**فیلتر THDR**

```
function thdr=THDR(grid,xint,yint)

% Function THDR computes the magnitude of the horizontal gradient of a
% two-dimensional function. Function is specified on a rectangular grid.
% Inputs:
% grid is a matrix with nr rows and nc columns.
% xint,yint are the distance between gridded data in direction of x
% and y in units of km, respectively.
% Output:
% Magnitude of the horizontal gradient thdr, in mGal/km.

if yint==0
[zx]=gradient(grid,xint);
thdr=abs(zx);
```

```

elseif xint==0
    [zy]=gradient(grid,yint);
    thdr=abs(zy);
else
    [zx,zy]=gradient(grid,xint,yint);
    thdr=sqrt(zx.^2+zy.^2);
end

%*****
```

### سیگنال تحلیلی

```

function ASA=ASA2D(p,xint)

% Function ASA2D computes the amplitude of the analytic signal of a
function measured along x axis.
% Inputs:
% p is a matrix with one rows and nc columns.
% xint is the distance between measured data in direction of x in
units of km.
% Output:
% Magnitude of the analytic signal, ASA.

p=1:10;
xint=2
nc=length(p);
[zx]=gradient(p,xint);
Fzx=fft(zx);
Fzx=fftshift(Fzx);
F=zeros(1,nc);
F(1:floor(nc/2))=0*Fzx(1:floor(nc/2));
F(ceil(nc/2))=Fzx(ceil(nc/2));
F(ceil(nc/2)+1:nc)=2*Fzx(ceil(nc/2)+1:nc);
Fzx=fftshift(F);
fzx=ifft(Fzx);
ASA=abs(fzx);

%*****
```

### فیلتر تنا

```
function [thdr,asa,theta]=Theta(p,xint,yint)
```

```
% Function TA computes the amplitude of tilt angle and total
horizontal derivative of tilt angle.

% Inputs:
% p is a matrix with nr rows and nc columns.
% xint & yint are the distance between gridded data in direction of x
and y in units of km, respectively.

% Outputs:
% Amplitude of tilt angle and total horizontal derivative of tilt
angle, ta & thdrta.

if yint==0
    dz1=vertical2Dn(p,xint,1);
    dx1=gradient(p,xint);
    thdr=abs(dx1);
    asa=sqrt(dx1.^2+dz1.^2);
    theta=thdr./asa;
else
    [dx1,dy1]=gradient(p,xint,yint);
    thdr=sqrt(dx1.^2+dy1.^2);
    dz1=verticaln(p,xint,yint,1);
    asa=sqrt(dx1.^2+dy1.^2+dz1.^2);
    theta=thdr./asa;
end
```

### تعیین شاخص ساختاری یک دایک نازک با استفاده از بی‌نهجاري مغناطیسی

ناهنجاری مغناطیسی قائم ( $Z$ ) یک دایک نازک و نامحدود شکل (ب-۱) را می‌توان به این صورت نوشت:

$$Z(x, z) = As/r^2 \quad (\text{ب-}1)$$

در اینجا (ب-۲)،  $t < z_0$ ،  $M = 2Mt\cos\psi$  شدت مغناطیس شدگی،  $t$  ضخامت دایک (ب-۳)،  $\alpha \cos\psi = [\cos^2\alpha \cos^2 I + \sin^2 I]^{1/2}$  مختصات‌های نقطه‌ای بالای دایک (ب-۴)،  $I'$  زاویه‌ی میل میدان ژئومغناطیسی،  $I$  زاویه‌ی میل میدان تبدیل یافته،  $r^2 = (x - x_0)^2 + (z - z_0)^2$  می باشد.

بروفیل،  $I'$  زاویه‌ی میل میدان ژئومغناطیسی،  $I$  زاویه‌ی میل میدان تبدیل یافته،

$$[\tan I' = (\tan I)/(\cos \alpha)] \quad (\text{ب-}4)$$

$$s = [-(x - x_0)\sin\beta + (z - z_0)\cos\beta] \quad (\text{ب-}5)$$

$$r^2 = (x - x_0)^2 + (z - z_0)^2 \quad (\text{ب-}6)$$

مشتقات جزئی عبارتند از:

$$\frac{\partial Z}{\partial x} = -A[r^2 \sin\beta + 2S(x - x_0)]/r^4 \quad (\text{ب-}7)$$

$$\frac{\partial Z}{\partial z} = A[r^2 \cos\beta - 2S(z - z_0)]/r^4 \quad (\text{ب-}8)$$

جای‌گذاری این روابط در سمت چپ معادله‌ی اویلر، معادله‌ی زیر را حاصل می‌نماید:

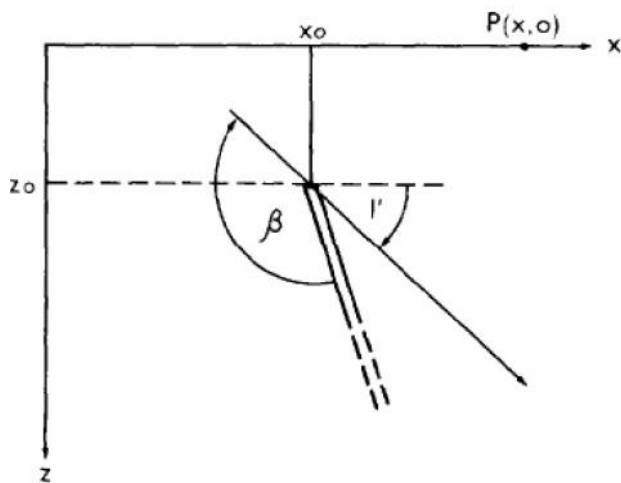
$$(x - x_0) \frac{\partial Z}{\partial x} + (z - z_0) \frac{\partial Z}{\partial z} = A\{-(x - x_0)\sin\beta \cdot r^2 + (z - z_0)\cos\beta \cdot r^2 - 2S[(z - z_0)^2 + (x - x_0)^2]\}/r^4 = A[Sr^2 - 2Sr^2]/r^4 = -AS/r^2 = -z(x, z) \quad (\text{ب-}9)$$

برای اینکه معادله (ب-۹) در معادله اویلر صادق باشد، باید  $N = I$  باشد. بنابراین شاخص ساختاری

ناهنجاری میدان قائم دایک نازک شیب دار، یک می‌باشد. چون این نتیجه به شیب دایک یا میدان

ژئومغناطیسی زمین وابسته نیست، برای همه‌ی اعضای خانواده‌ی دایک‌ها معتبر است. مثلاً سیل‌ها را می-

توان دایکی با شیب صفر در نظر گرفت و این نتیجه را برای آنها به کاربرد.



شکل(ب-۱) ناهنجاری مغناطیسی یک دایک نازک شیب دار [Reid et al,1990]

### ناهنجاری مغناطیسی یک کنتاکت شیب دار

ناهنجاری مغناطیسی (کل، قائم، افقی) یک کنتاکت مغناطیسی شکل(۵-۳) به صورت زیر قابل بیان است.

گسل، نمونه‌ای از کنتاکت مغناطیسی می‌باشد.

$$F(x, z) = C(\varphi \sin \theta - \cos \theta \ln R) + K \quad (b-10)$$

در اینجا  $C$  ضریب دامنه‌ی میدان کل ناهنجاری

$$C=2p(F'/F)\sin\delta \quad (b-11)$$

$$\varphi = \frac{\pi}{2} + \arctan\left[\frac{(x - x_0)}{(z - z_0)}\right] \quad (b-12)$$

$\theta$  زاویه‌ی مغناطیسی ترکیبی (ب-۱۳)،  $P, I'(p) + I'(F') - \delta$  بردار پلاریزاسیون،  $F$  بردار

اندازه‌گیری،  $P'$  و  $F'$  تصاویر  $P$  و  $F$  در صفحه‌ی  $XY$  (P) و  $I'(F)$  زوایای میل بردارهای تصویرسازی

شده‌ی  $F'$  و  $P'$ ،  $\delta$  شیب کنتاکت، (ب-۱۴)،  $R = [(x - x_0)^2 - (z - z_0)^2]^{1/2}$  می‌باشد.

$K$  یک متعادل کننده است که اثر دامنه، شیب و امتداد را در برمی‌گیرد. مشتقات جزئی  $F(x, z)$  به

این صورت نوشته می‌شود:

$$\frac{\partial F}{\partial x} = \frac{C \cos \theta (x - x_0)}{R^2} - \frac{C \sin \theta (z - z_0)}{R^2} \quad (b-15)$$

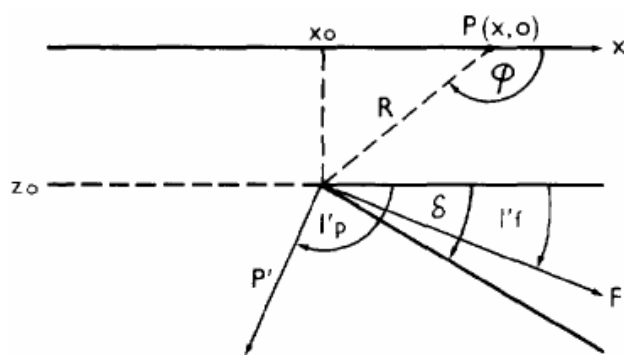
$$\frac{\partial F}{\partial z} = \frac{C \sin \theta (x - x_0)}{R^2} - \frac{C \cos \theta (z - z_0)}{R^2} \quad (b-16)$$

از جای گذاری این دو رابطه در معادله‌ی اویلر نتیجه‌ی زیر حاصل می‌شود:

$$(x - x_0) \frac{\partial g}{\partial x} + (z - z_0) \frac{\partial g}{\partial z} = C \cos \theta \quad (b-17)$$

رابطه‌ی به دست آمده، نشان می‌دهد که اگر زاویه‌ی مغناطیسی ترکیبی، ۹۰ درجه باشد، شاخص

ساختاری کنتاکت مغناطیسی شیب دار صفر است.



شکل(ب-۲) ناهنجاری مغناطیسی یک کنتاکت شیب دار [Reid et al, 1990]

## **Abstract**

Using geophysical methods and measurement of physical properties of subsurface rocks are suitable solution for exploration of underground reserves (oil, gas, water, minerals ...).

Gravity and magnetic survey (potential field methods) are applied geophysical methods for primary exploration, because of simplicity and low cost. There are several methods for automatic interpretation of potential field data.

In this study, has been gravity Method for detecting kalate khij Fault in north east of Shahrood. After the gravity data survey from kalate khij area was performed required corrections, such as drift correction, latitude correction, free air correction, and topography correction and then determined the relative gravity anomaly.

After a few corrections made on the observed data, the bouger anomaly map of the area were prepared. As the measured gravity data are due to the regional and local subsurface structures, it is essential that some methods be used to reduce the effects of the regional anomaly caused in large part by the variations of basement. To achieve this goal, some methods are available which upward continuation, first vertical derivative and trend surface filtering techniques are used in this research.

In this study, local phase filters used to detection gravity anomaly boundaries and results will compare with other filters such as analytic signal, total horizontal derivative. First, filters apply to synthetic models. Using these filters for gravity data of synthetic models shows that total horizontal derivative filter and theta map has the best results. Finally these filters apply to gravity data of kalate khij fault as a case study. Here, similar to synthetic data total horizontal derivative filter and theta map has better results than other filters and highlights kalate khij fault. Once the boundaries are delineated using this two filters, the Euler deconvolution is applied to the data to estimate the depths of such boundaries. Finally for estimating the dip of fault planes a two dimensional inverse modeling has been done on the gravity data by using software Modelvison Pro.



# **Application of Gravity Method to fault detection in Quaternary alluvium (sediments), A case study: kalate khij Fault in north east of Shahrood**

By:  
**Kamran Valadi**

Supervisors:  
**Dr. Hamid Aghajani**

**February 2013**